

Transport dynamique dans les conducteurs mésoscopiques : aspects expérimentaux

Bernard Plaçais

Groupe de physique mésoscopique (MESO)

Laboratoire Pierre Aigrain, Ecole Normale Supérieure, Paris

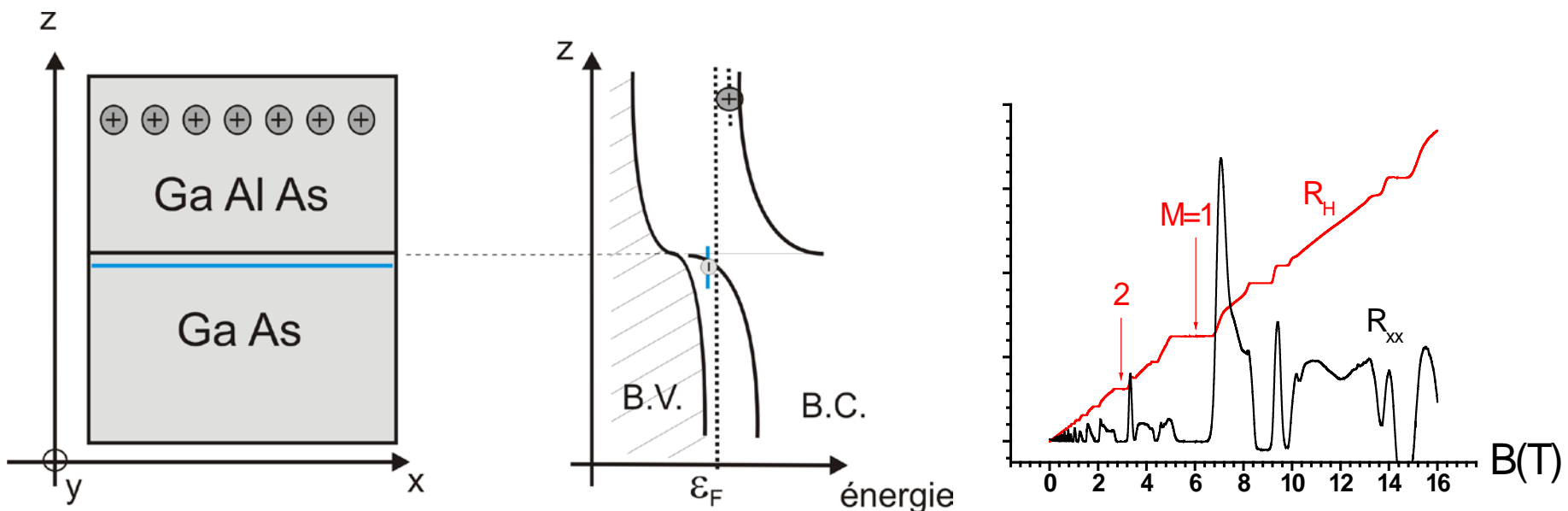
Domaine vaste et très dynamique

- Dynamique de charge dans conducteurs quantiques (ce cours)
- Conducteurs diffusifs (cours G. Montambaux)
- Electronique quantique et photons RF (cours M. Devoret, Saclay)
- Moments d'ordre supérieurs du bruit, susceptibilité de bruit (Reulet et al., Orsay)
- Photo-détection électronique (MESO, Saclay, Orsay)
- Photo-détection GHz--THz (IEMN-Lille, LPS-Orsay, ce cours)
- Transport moléculaire dynamique ? (MPQ-Paris7, Néel-Grenoble)
- Dynamique du transport cohérent de spin (séminaire T. Kontos)
- Dynamique électro-mécanique (Grenoble, Barcelone)
- /

Nos condcuterus quantiques

Gaz d'électrons bidimensionnels (LPN)

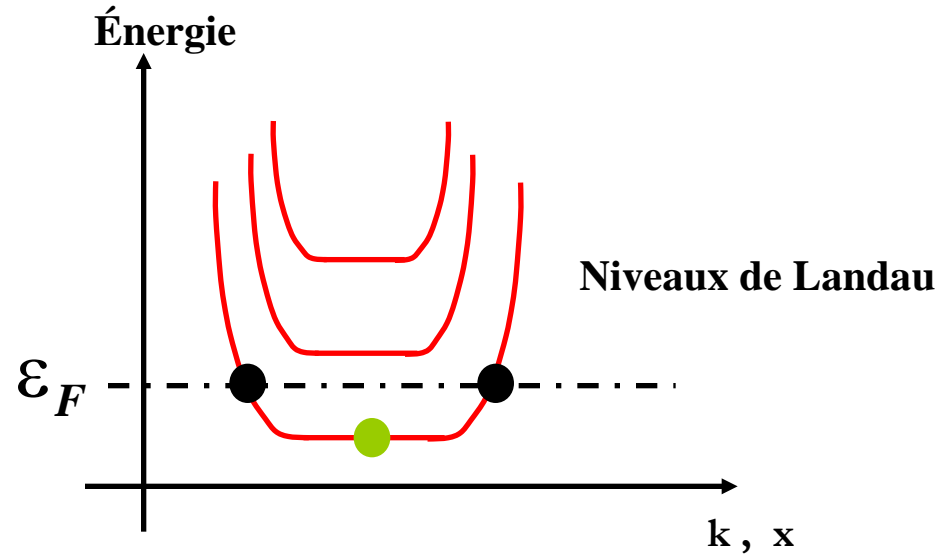
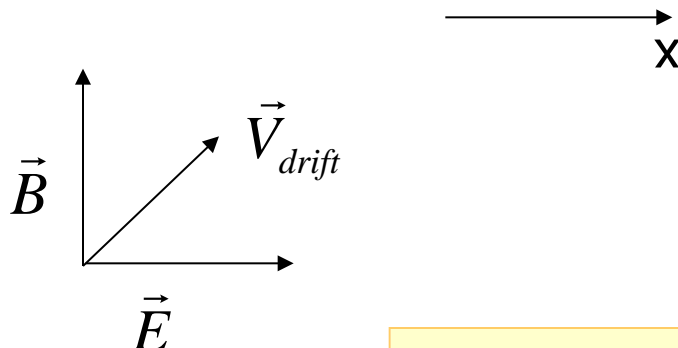
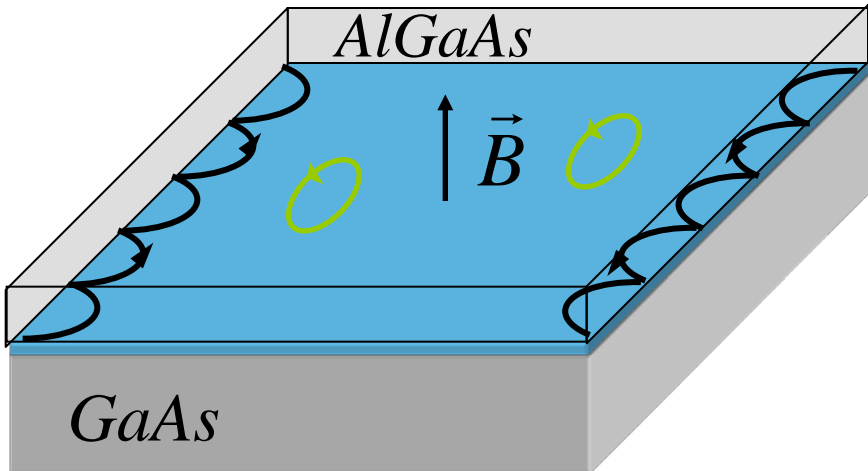
Hétérojonction de semiconducteurs à modulation de dopage



$$\mu = 240 \text{ m}^2 \text{V}^{-1} \text{s}^{-1} ; n_s = 10^{11} - 10^{13} \text{ cm}^{-2} ; \lambda_F \sim 30 \text{ nm} ; l_e > 10 \mu\text{m} ; l_\phi \approx 20 \mu\text{m}$$

Transport électronique balistique cohérent

Canaux de bord superballistiques



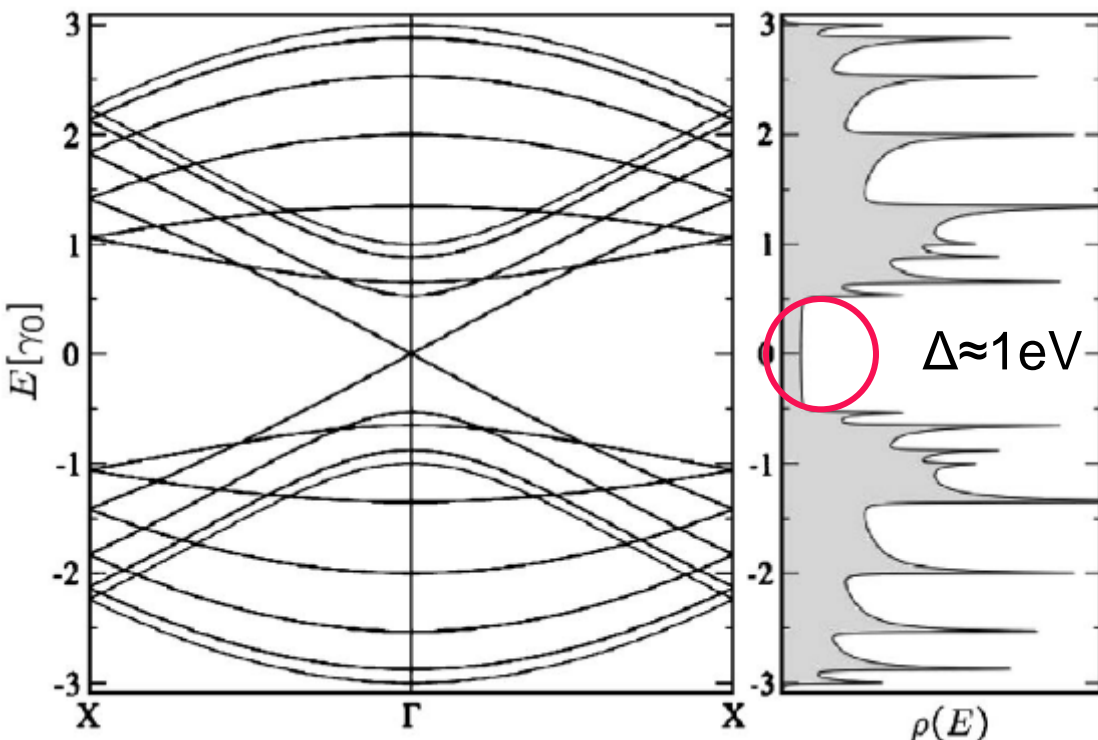
États de bord unidimensionnels
Dégénérescence de spin levée

$$V_{\text{drift}} = \frac{E}{B} \approx \frac{ne}{\epsilon B} \sim 10^5 \text{ m/s} ; \quad l_e \leq l_{\text{edge}} \sim qqs100\mu\text{m}$$

nanotubes de carbone monoparois (MESO)

Nanotube (9,0) zigzag

Conducteur balistique : 4 modes dégénérés spin et orbite



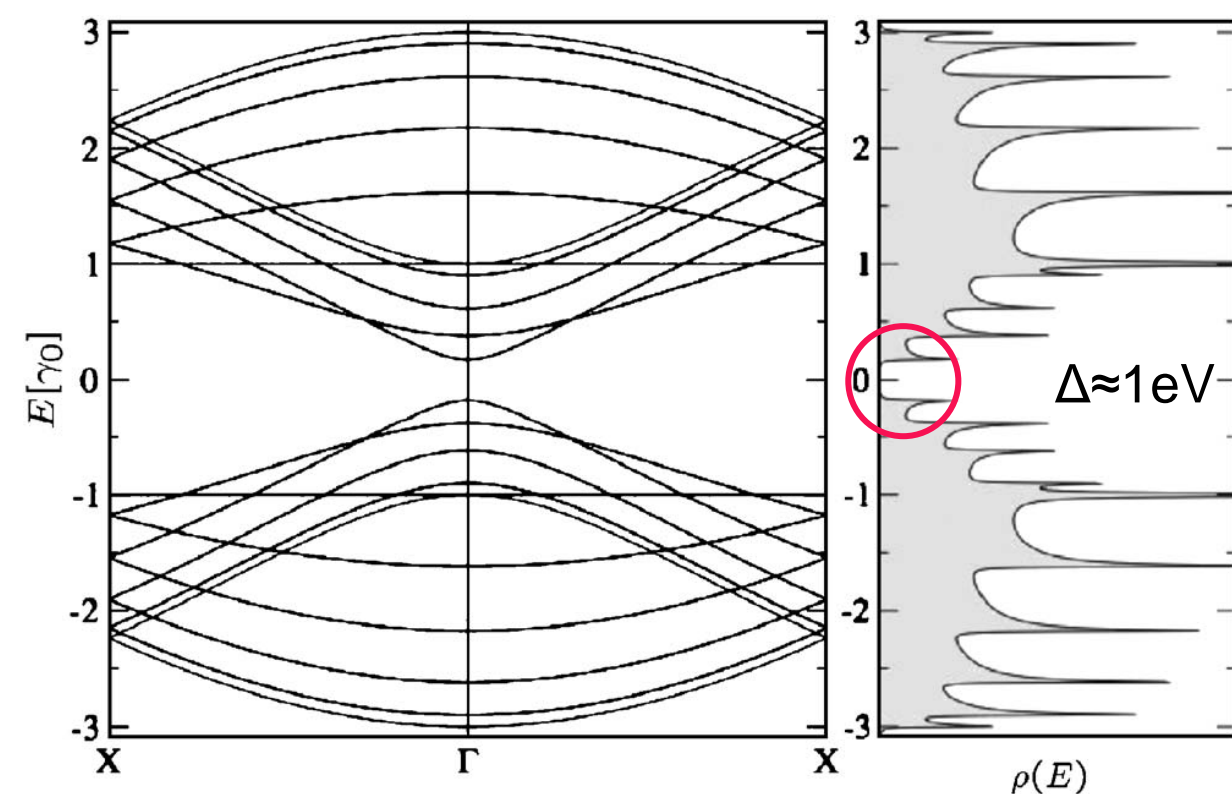
- $E = \pm \hbar k v_0$
- $v_0 = 8 \cdot 10^5 \text{ m/s}$
- $d_{(\text{nm})} = 0.076 \sqrt{m^2 + n^2}$
- $\gamma_0 = 2.9 \text{ eV}$

$$V_F \sim 10^6 \text{ m/s} ; \quad l_e > 1 \mu\text{m}$$

Electronic and transport properties of nanotubes, J.C. Charlier, X. Blase, S. Roche, RMP 79, 677 (2007)

Nanotube semiconducteur

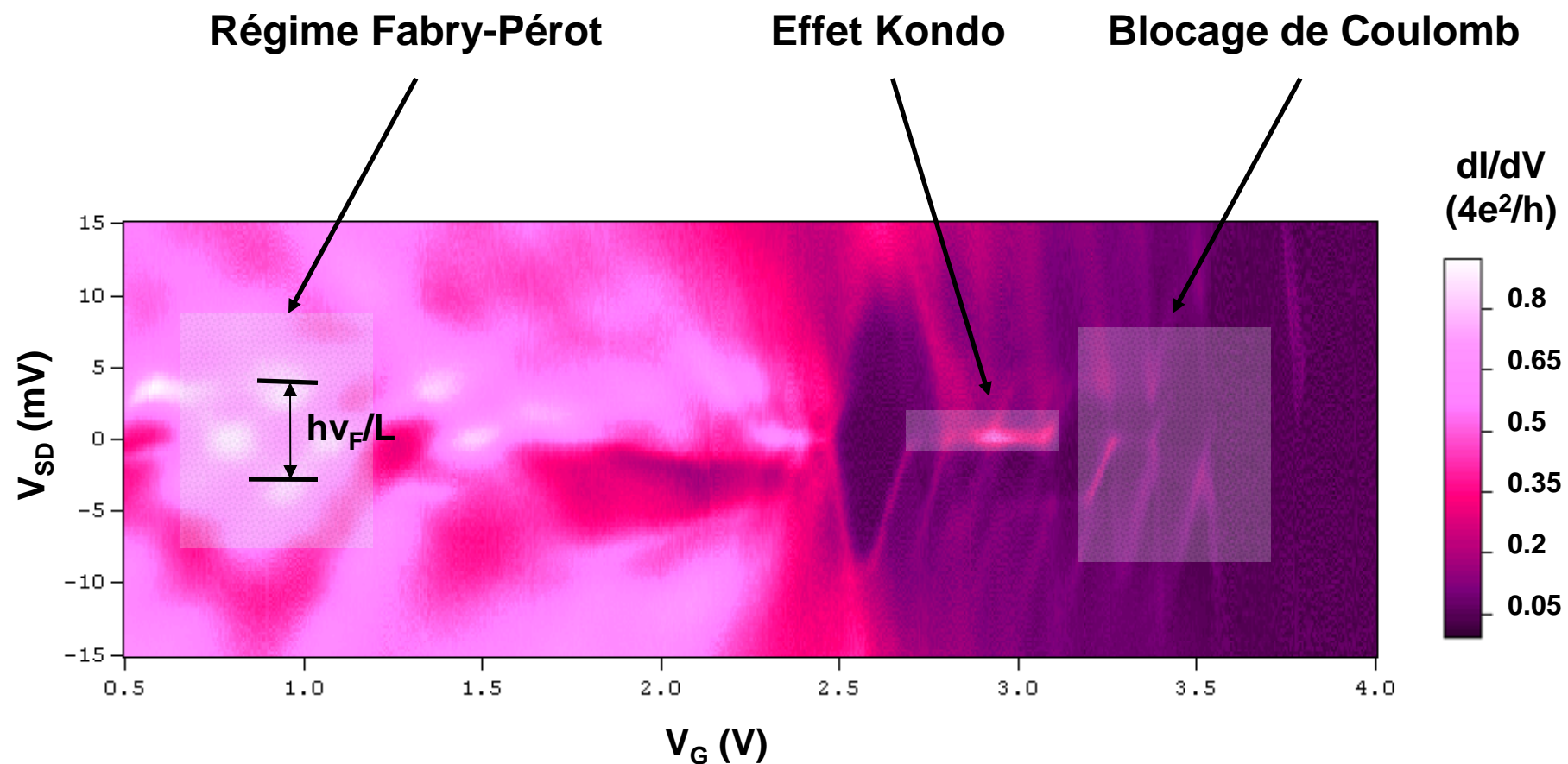
Nanotube (10,0) zigzag



- $E = \pm \sqrt{(m^* v_0)^2 + (\hbar k v_0)^2}$
- $v_0 = 8 \cdot 10^5 \text{ m/s}$
- $v_F = v_0 \frac{\mathcal{E}_F - \mathcal{E}_g}{\Delta}$
- $m^* \leq \frac{m_0}{13} \frac{1}{d_{(\text{nm})}}$
- $d_{(\text{nm})} = 0.076 \sqrt{m^2 + n^2}$
- $\gamma_0 = 2.9 \text{ eV}$

(Charlier, Blase, Roche, RMP 2007)

Spectroscopie d'un nanotube semi-conducteur (croissance CVD)



Plan du cours

A. Introduction à la dynamique mésoscopique

1. Introduction
2. Apport des hautes fréquences
3. Mesurables

B. Techniques expérimentales

1. Paramètres de diffusion
2. Montages de mesure de signaux rf faibles

C. Admittance de conducteurs quantiques

1. Relaxation de charge d'une capacité mésoscopiques
2. Inductance mésoscopique d'une barre de Hall
3. Dynamique de transistors à nanotube de carbone

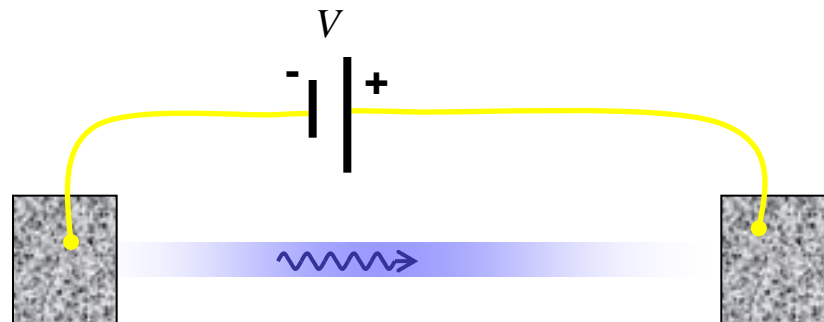
D. Manipuler des électrons uniques

1. Injection d'électrons uniques
2. Vers la détection d'électrons volants

Introduction

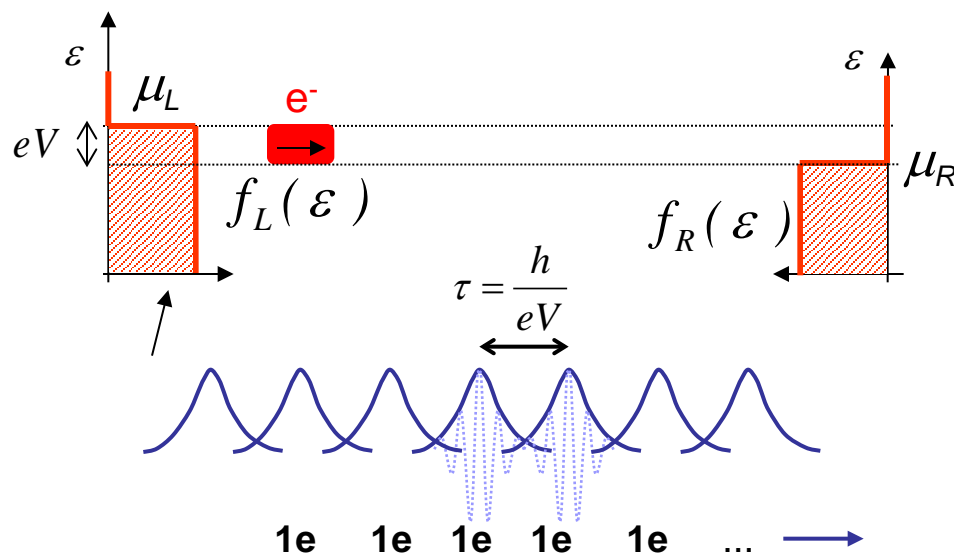
optique électronique cohérente

Wave-packet approach to noise in multichannel mesoscopic systems, T. Martin, R. Landauer, PRB 45, 1742 (1992)



$$G = \frac{e^2}{h}$$

quantum inside



$$R = \frac{h}{e^2}$$

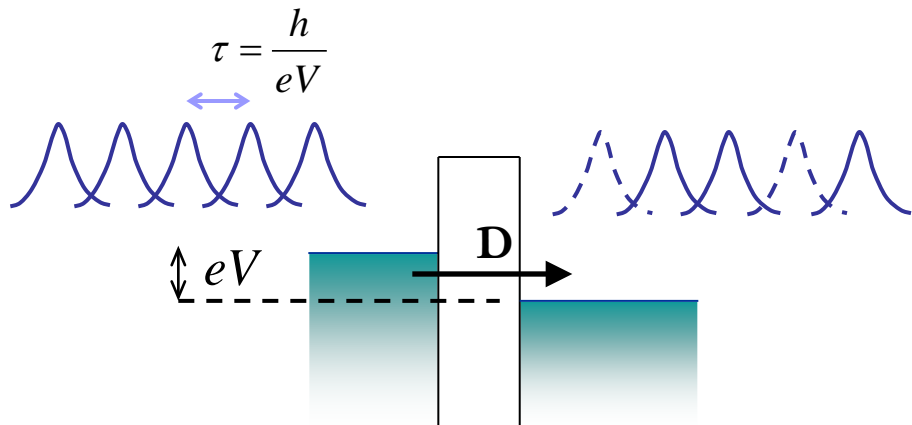
$25.8 \text{ k}\Omega \gg 50\Omega$

$$\langle \Delta I^2 \rangle = 0 !!$$

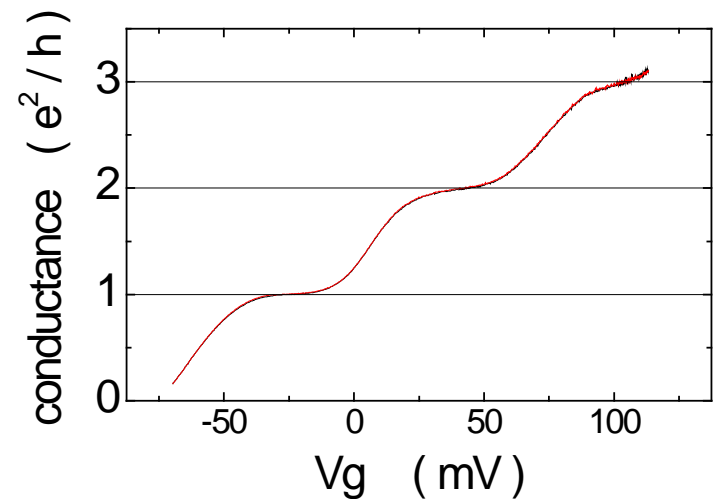
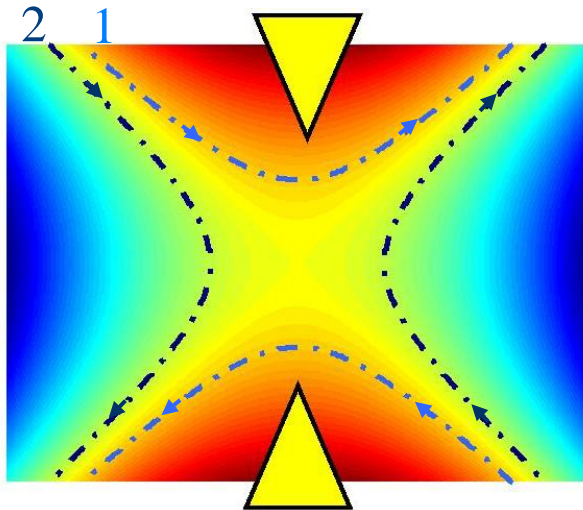
$$I = e \cdot \frac{eV}{h}$$

Pauli
Heisenberg : $eV \cdot \tau \sim h$

Contrôle de la transmission d'un mode unique

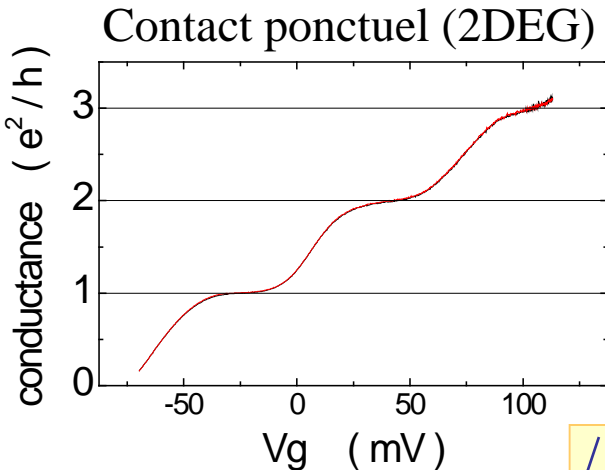


états de bord = équipotentielles

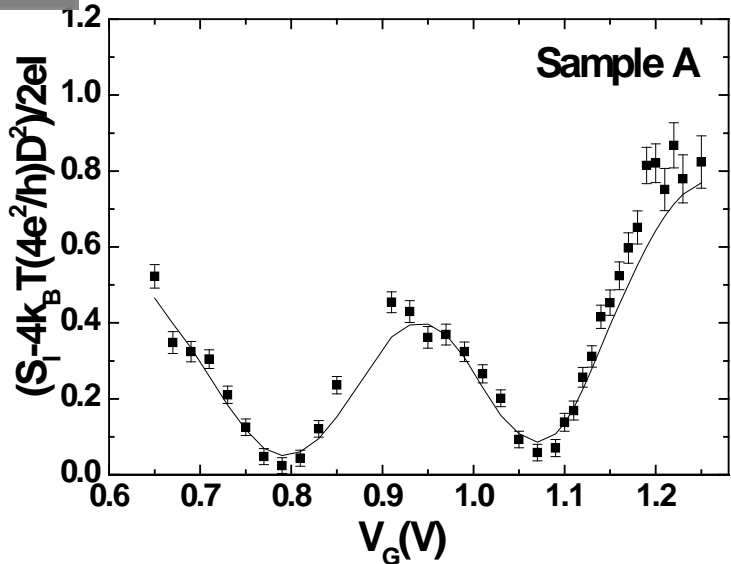
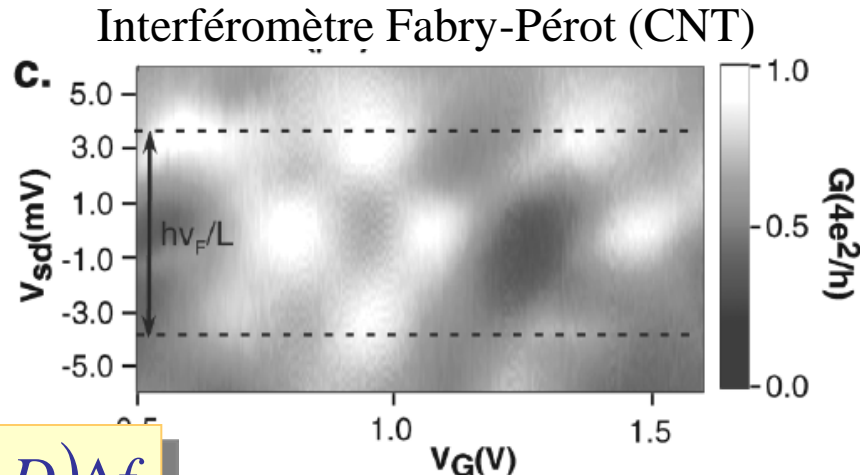
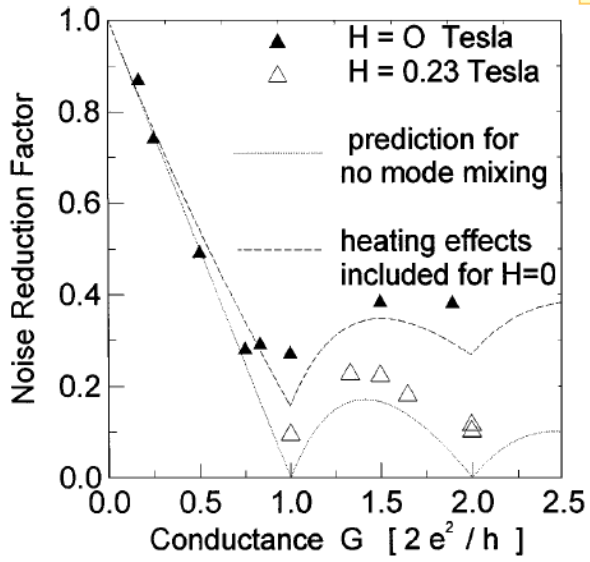


Quantized transmission of a saddle-point constriction, M. Büttiker, Phys. Rev. B 41, 7906 (1990).

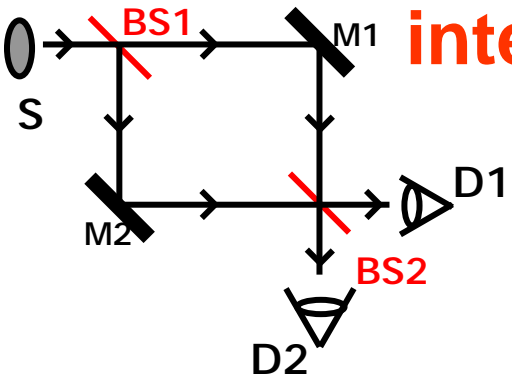
Bruit de partition quantique



$$\langle \Delta I^2 \rangle = 2eI(1-D)\Delta f$$

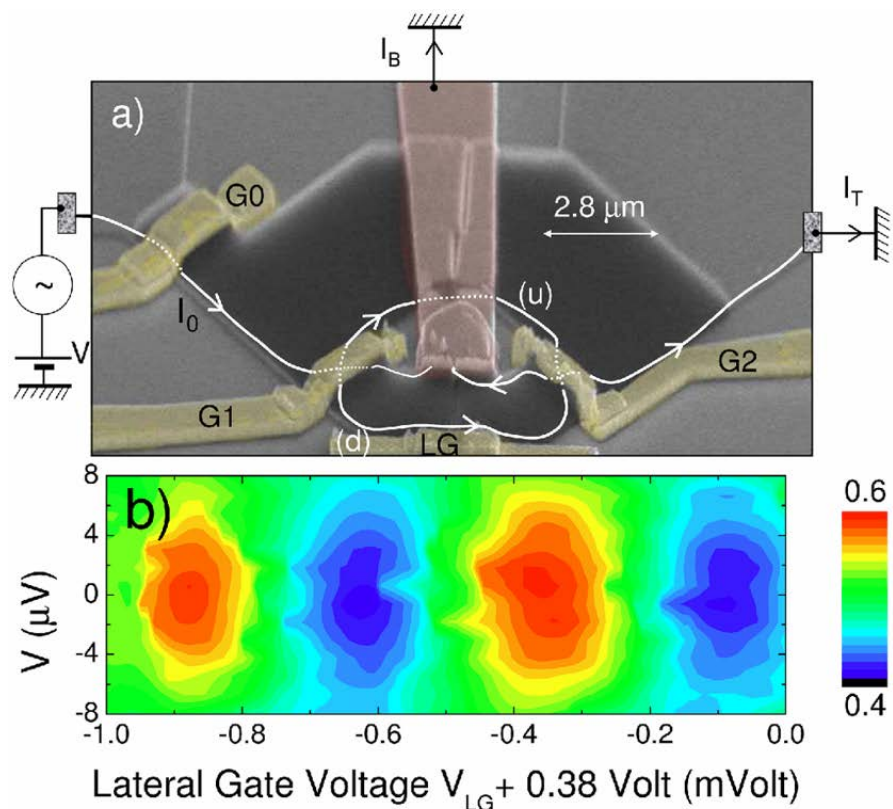
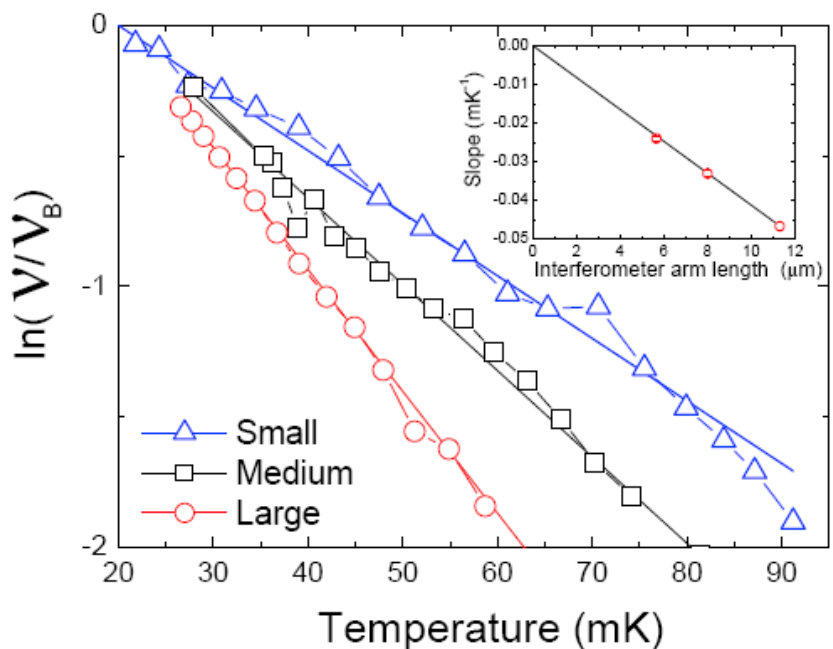


Shot noise suppression in QPC, Reznikov et al. PRL'95, Kumar et al. PRL '96, atomic contacts, van den Brom and Ruitenberg PRL '99
 Shot noise in Fabry-Pérot interferometers Based on carbon nanotubes, L. Hermann et MESO, PRL 99, 156804 (2007),



interférences électroniques (P. Roche)

visibilité des franges des Mach-Zehnder

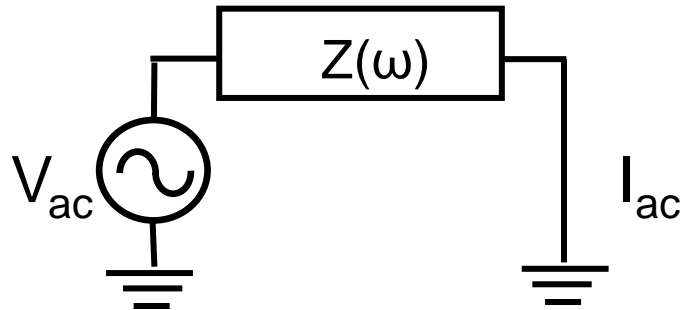


$$\nu = \nu_0 \exp - \frac{L}{L_\phi(T)}; \quad L_\phi > 20 \mu\text{m} \text{ à } 20 \text{ mK}$$

Direct measurement of the coherence , P. Rouleau, et al. PRL 100, 126802 (2008).

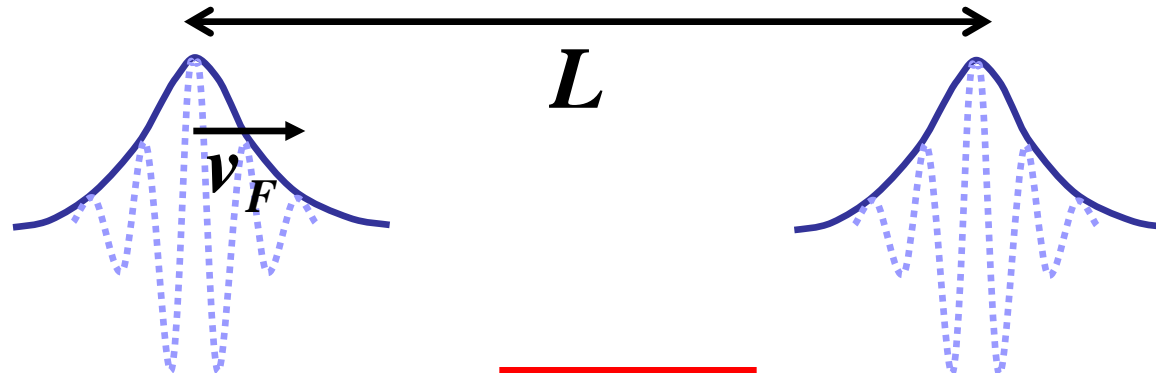
Apport des hautes fréquences (ou des temps courts)

Mesure du temps de résidence électronique



$$A = \frac{I_{ac}}{V_{ac}} = G + j\omega E + \omega^2 K + \dots$$

$$\tau \rightarrow \boxed{\tan \phi = \omega \tau}$$



Régime balistique:

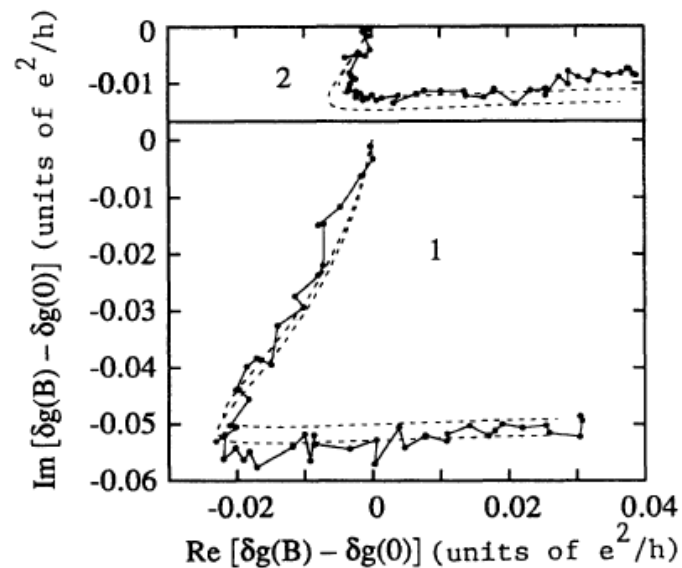
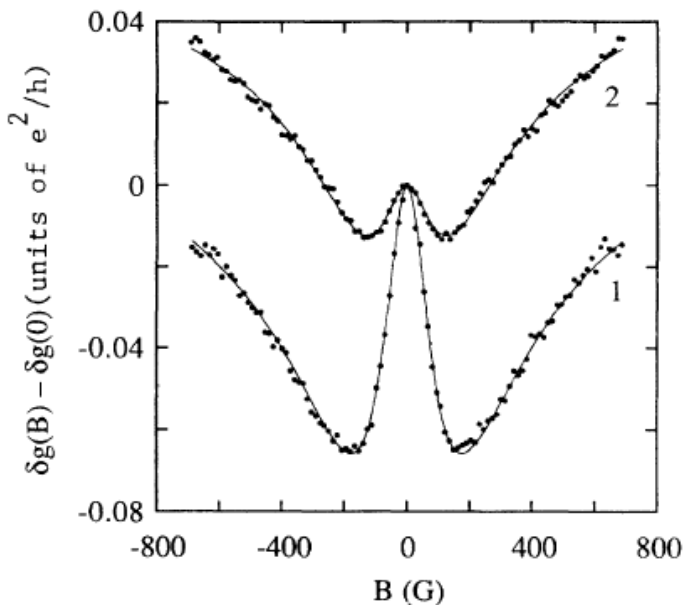


$$\boxed{\tau = \frac{L}{v_F}}$$

Temps de transit

$$L \leq L_\varphi \approx qqs 10\mu\text{m}, \quad v_F \approx qqs 10^5 \text{ m.s}^{-1} \quad \Rightarrow \quad \tau \approx qqs 0.1 \text{ ns}, \quad f = (2\pi\tau)^{-1} \approx qqs \text{ GHz}$$

Inductance d'un fil diffusif cohérent

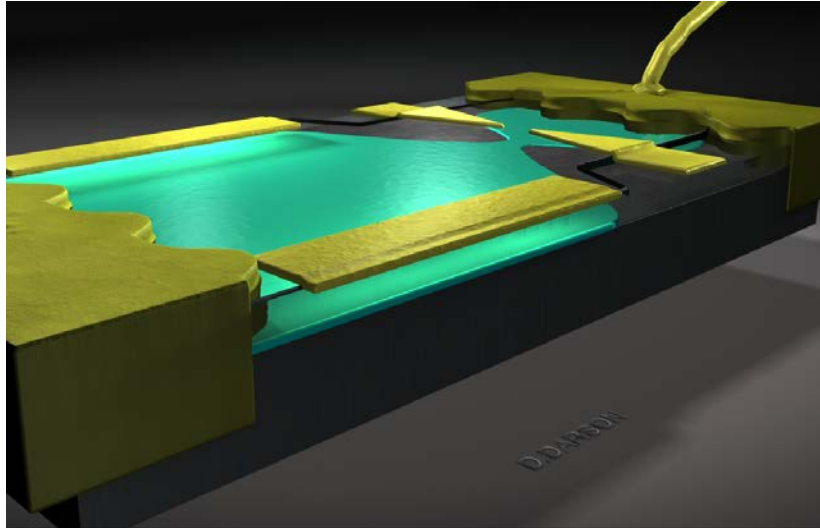


$$A(B) \approx G(B) - j\omega L(B)G^2 \quad ; \quad \delta A(B) = \frac{e^2}{h} \frac{1}{L} \left(L_0^{-2} + L_B^{-2} - \frac{i\omega}{D} \right)^{-1/2}$$

Temps de traversée d'un fil diffusif

Weak-localization complex conductivity at 1GHz in disordered in Ag wires, J.B. Pieper, J.C. Price, J.M. Martinis, PRB 45, 3857 (1992). High frequency conductivity of the high-mobility 2DEG, P. J. Burke et al., APL 76, 745 (2000).

2 terminaux - 2 contacts : inductance mésoscopique



(c.f. : section C.2)

$$A = G + j\omega E = G(1 + j\omega \tau)$$

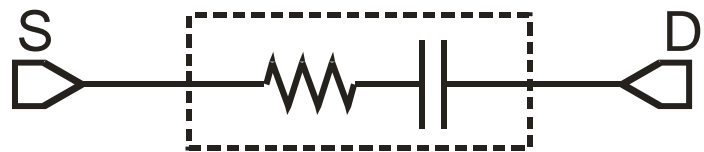
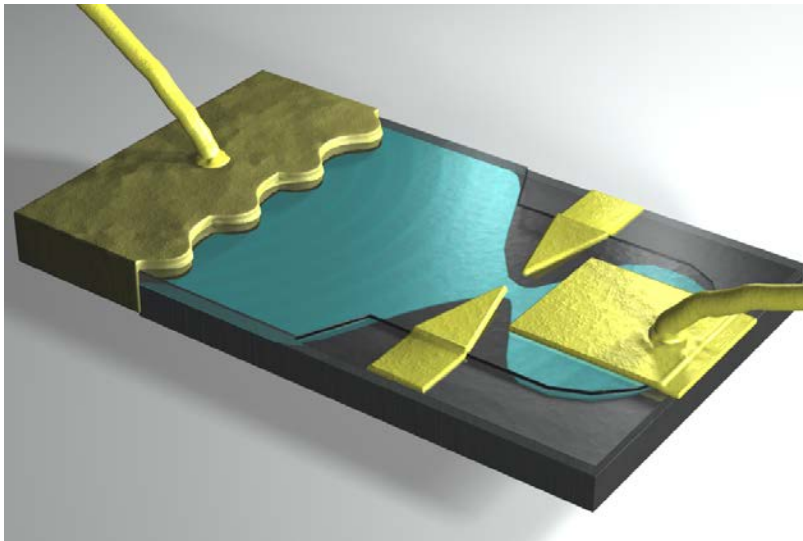
Temps de traversée d'une barre de Hall

Low frequency admittance of a quantized Hall conductor, T. Christen and M. Büttiker, PRB 53, 2064 (1996).

Low frequency admittance of a quantum point contact, T. Christen, M. Büttiker, PRL 77, 143 (1996)

Relaxation Time of a Chiral Quantum R-L Circuit, J. Gabelli, et al., PRL98, 166806 (2007)

1 contact - 1 grille : capacité mesoscopique



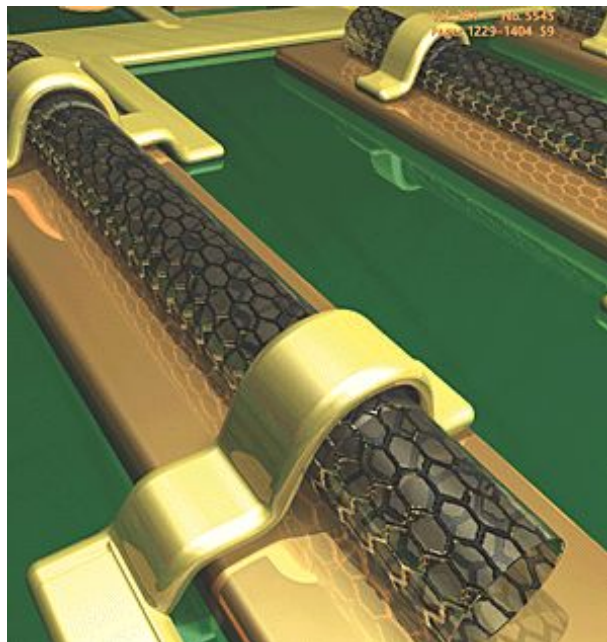
(c.f. : section C.1)

$$A = jC\omega - (C\omega)^2 R_q = jC\omega (1 + j\omega\tau)$$

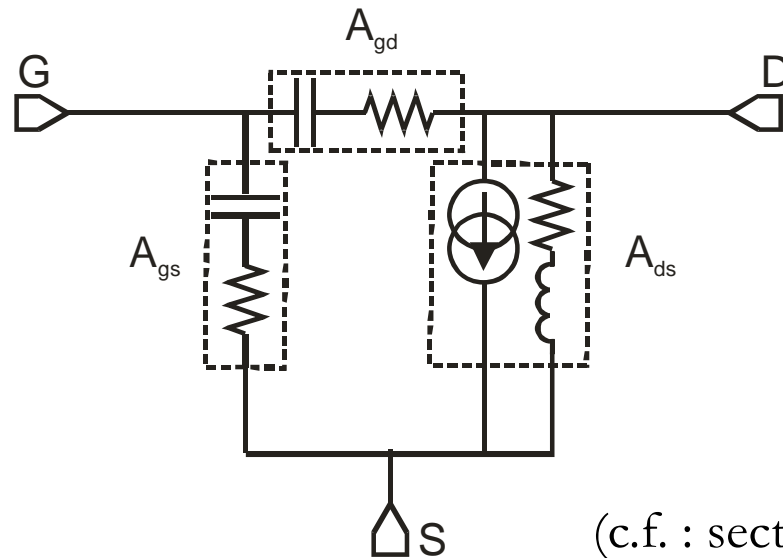
Temps de charge et
résistance de relaxation de charge
(cohérent et incohérent)

*Dynamic conductance and the scattering matrix of small conductors ,M. Büttiker, A. Prêtre, H. Thomas, PRL70, 4114 (1993).
Dynamic admittance of mesoscopic conductors: Discrete-potential model, A. Prêtre, H. Thomas, M. Büttiker, PRB54, 8130 (1996).
Violation of Kirchhoff's Laws for a Coherent RC Circuit, J. Gabelli, et al., Science 313, 499 (2006).*

2 contacts - 1 grille : le transistor mesoscopique



Matrices S , Z, Y ou ABCD

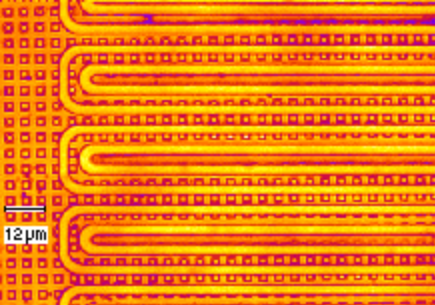


(c.f. : section C.3)

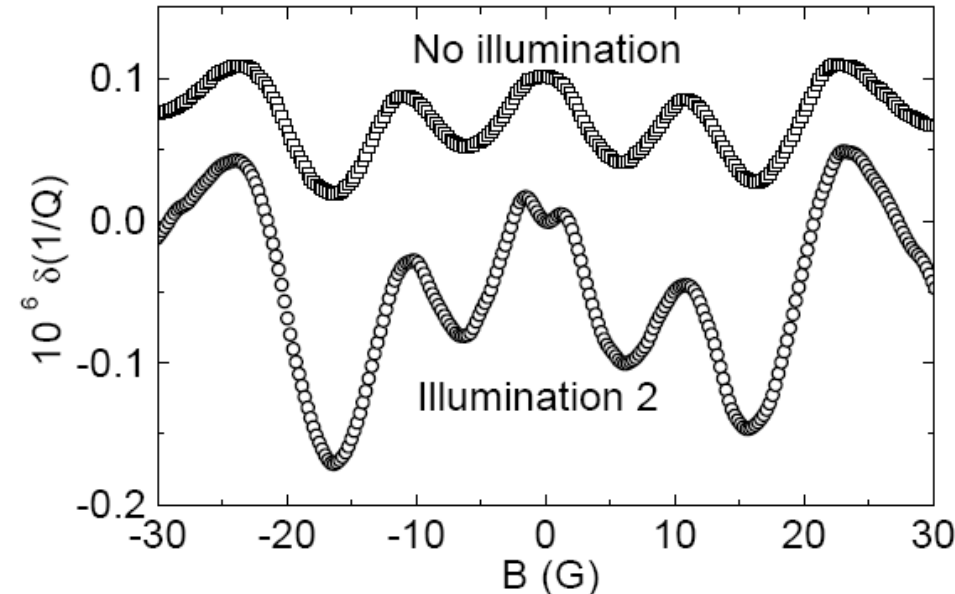
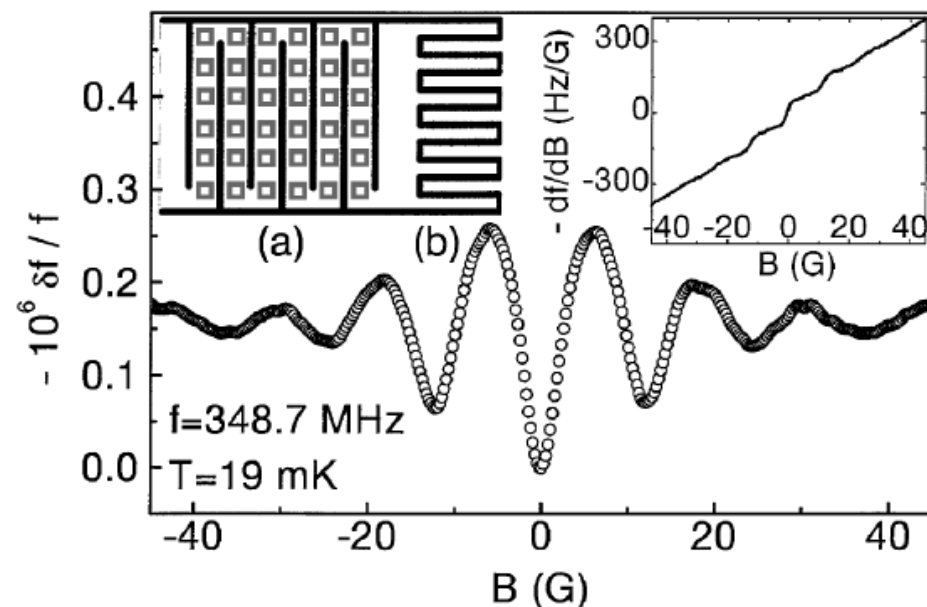
$$\begin{pmatrix} V_2 \\ I_2 \end{pmatrix} = \begin{bmatrix} A & B \\ C & D \end{bmatrix} \begin{pmatrix} V_1 \\ I_1 \end{pmatrix} ; \quad \frac{I_2}{I_1} \Big|_{V_2=0} = \frac{AD - BC}{A} = 1 + j \frac{\omega}{\omega_T}$$

Fréquence de transit

Single Carbon Nanotube Transistor at GHz, J. Chaste et al. MESO, Nanoletters 8, 525 (2008)



Polarisabilité d'anneaux mésoscopiques

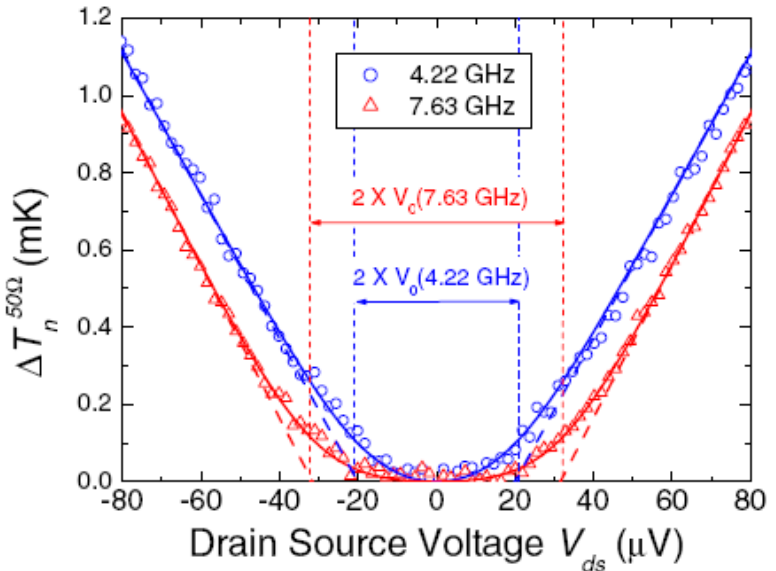
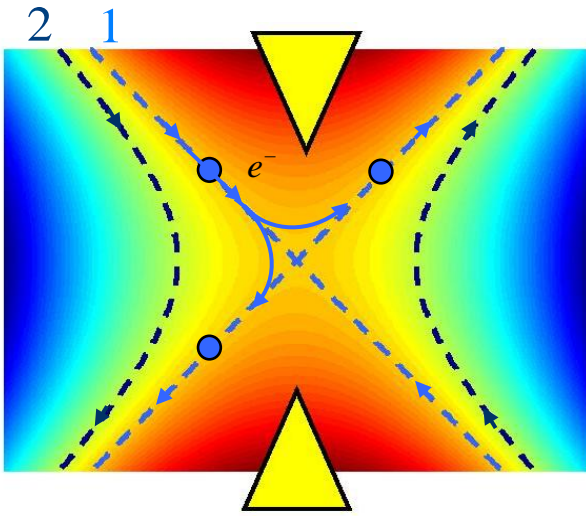


$$\delta\alpha(\varphi) = -\frac{\lambda_s}{L} + \frac{\varepsilon}{16\pi^2 \ln(R/W)} \frac{\Delta}{E_c} \frac{\lambda_s^2}{LW} (1 + j\omega\tau) \cos(\varphi/\varphi_0) \quad ; \quad \tau = \frac{2\pi}{\Delta}$$

Thèse B. Reulet, Flux-dependent screening in Aharonov-Bohm rings, R. Deblock et al., PRL 84, 5379 (2000)
 Théorie, K.B. Efetov, PRL 76, 1908 (1996)
 Modèle diffusif, Y. Noat, B. Reulet and H. Bouchiat, EPL 36, 701 (1996)

Du bruit rf
à
la manipulation d'électrons uniques

Singularité bruit à eV/h

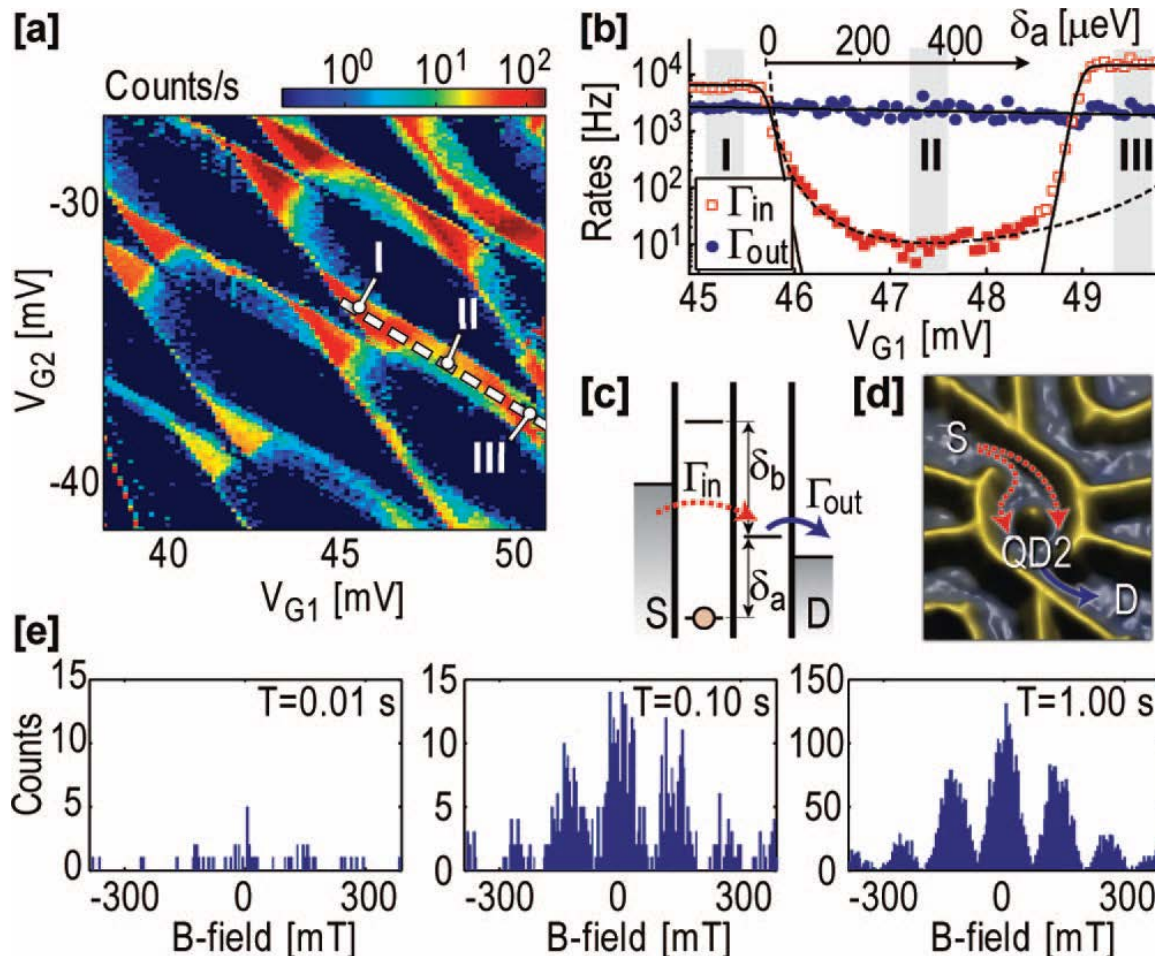


$$S_I(f, T, V) = 2G_0 \sum_i D_i (1 - D_i) \left(\frac{hf - eV}{e^{(hf - eV)/kT} - 1} + \frac{hf + eV}{e^{(hf + eV)/kT} - 1} - \frac{2hf}{e^{hf/kT} - 1} \right)$$

$$\xrightarrow{V \gg hf, kT} 2G_0 \sum_i D_i (1 - D_i) \left(eV - hf \coth\left(\frac{hf}{2kT}\right) \right)$$

Experimental Test of the High-Frequency Quantum Shot Noise Theory in a Quantum Point Contact
E. Zakka-Bajjani, J. Segala, F. Portier, P. Roche, and D. C. Glattli, A. Cavanna, Y. Jin, PRL 99, 236803 (2007).

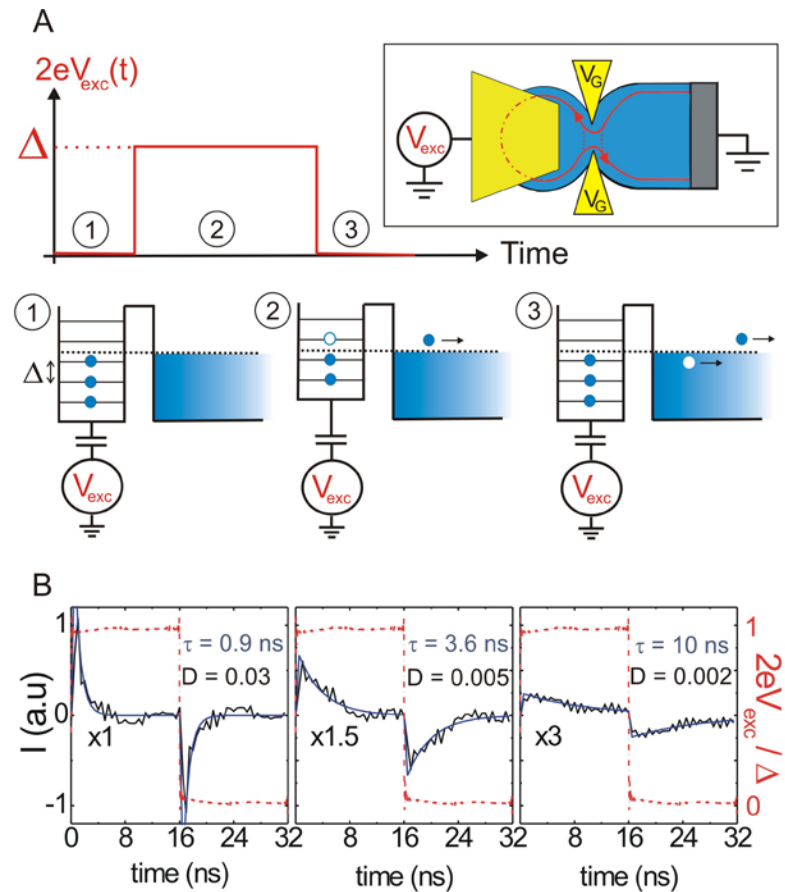
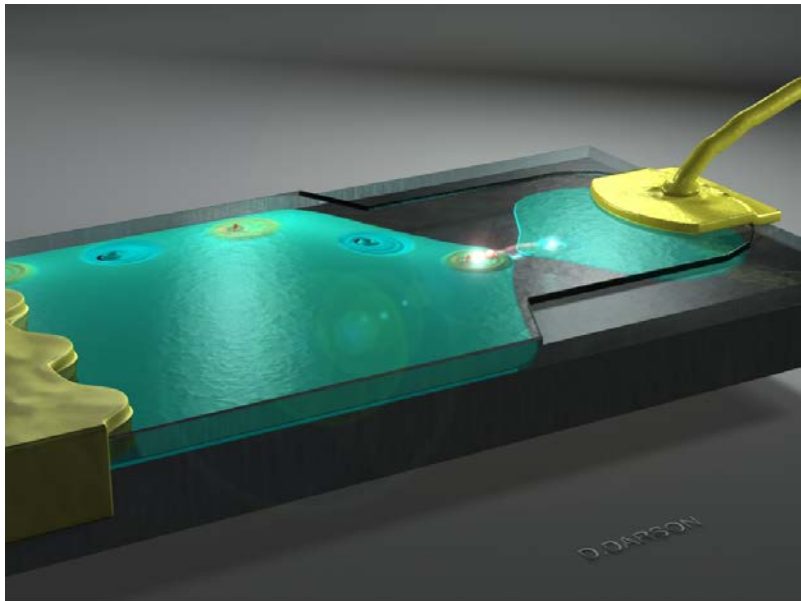
Comptage d'électrons (QPC-FET)



classique : $\tau \gg \tau_\varphi$

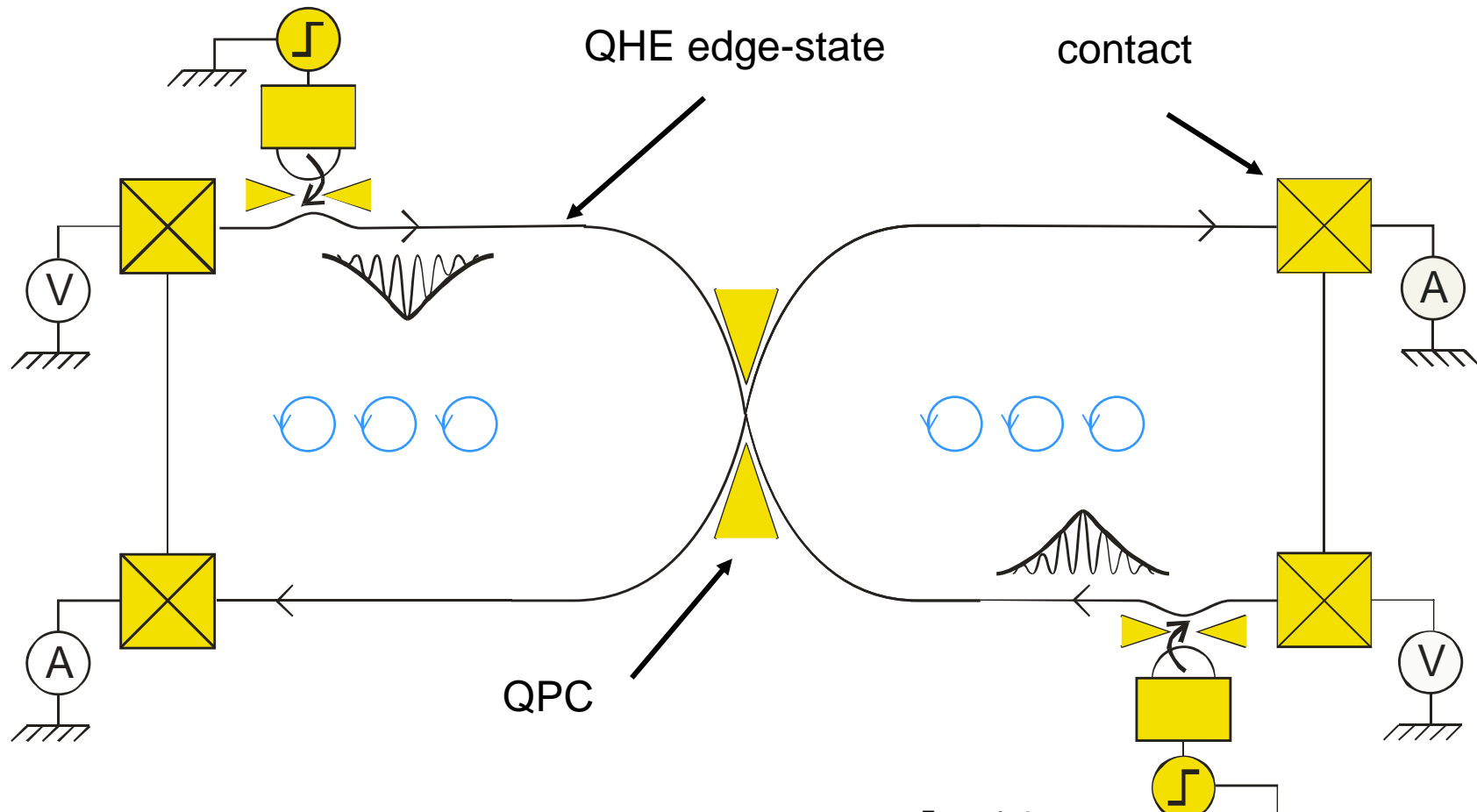
Time-Resolved Detection of Single-Electron Interference, S. Gustavsson, R. Leturcq, M. Studer, T. Ihn, and K. Ensslin, D. C. Driscoll and A. C. Gossard, Nanoletters 8, 2547 (2008)

injecter des électrons uniques cohérents



An on-demand single electron source, G. Fève et al. MESO, et al., Science 316, 1169 (2007).

Pour réaliser des collisions à deux électrons



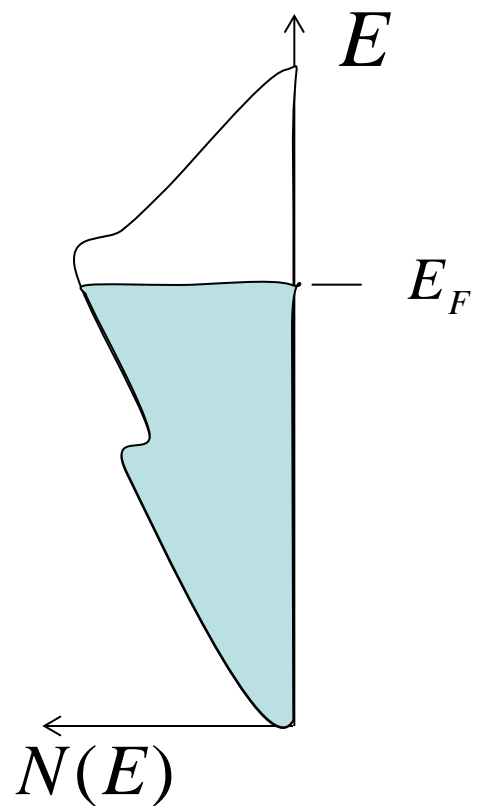
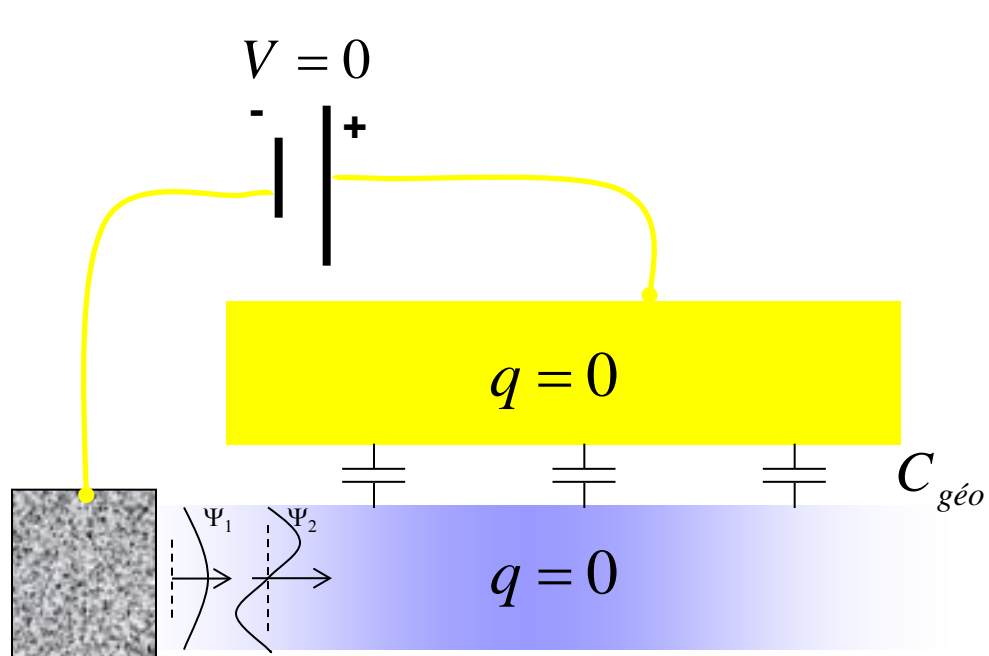
Time control ~ 0.1 ns ($L\phi \sim 10$ μm , $V_d \sim 10^5$ m/s)

Energy control

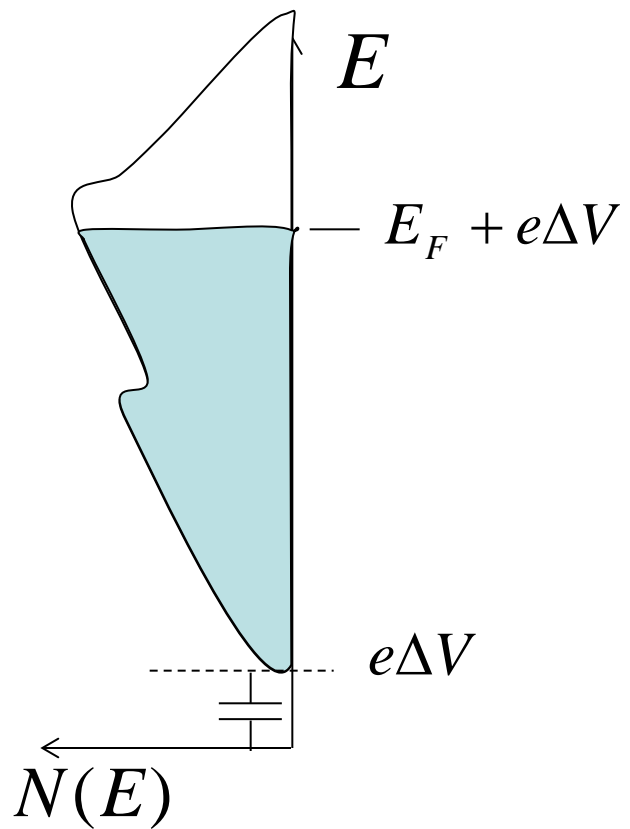
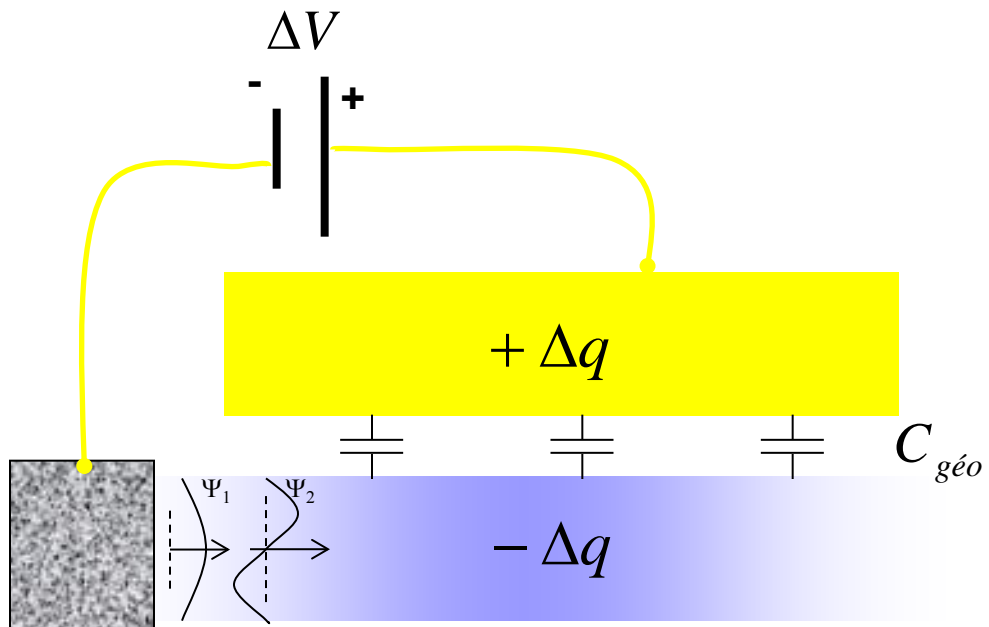
Posters Jeanine et François Parmentier

Mesurables rf

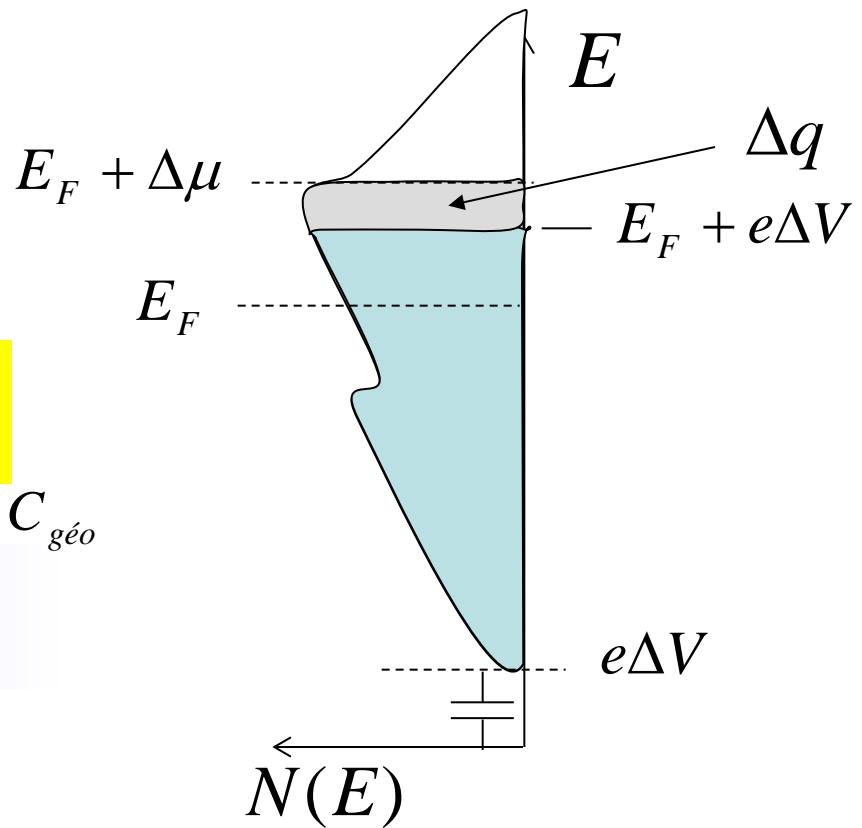
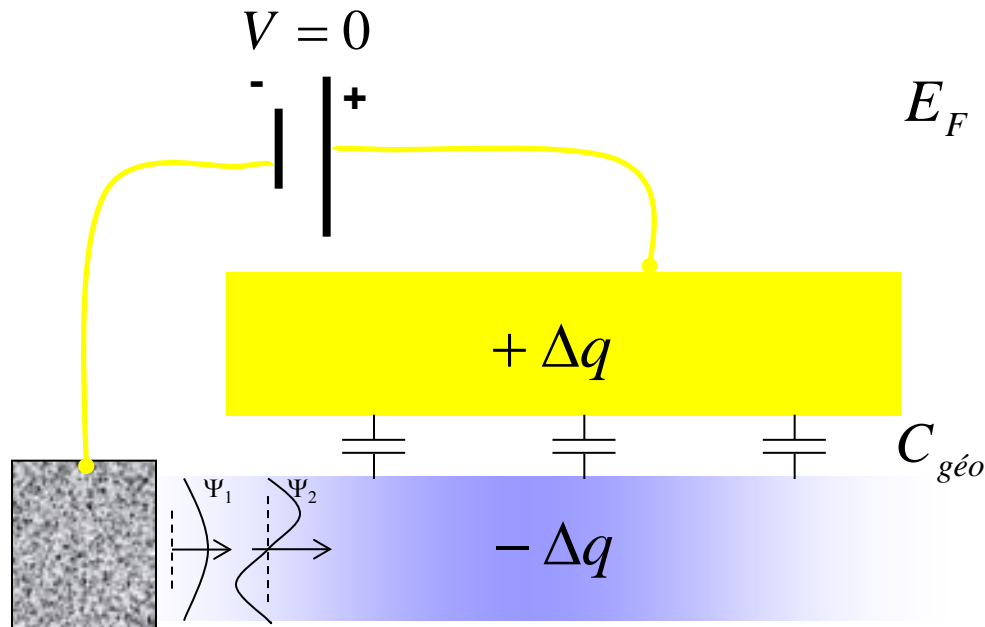
Capacité quantique



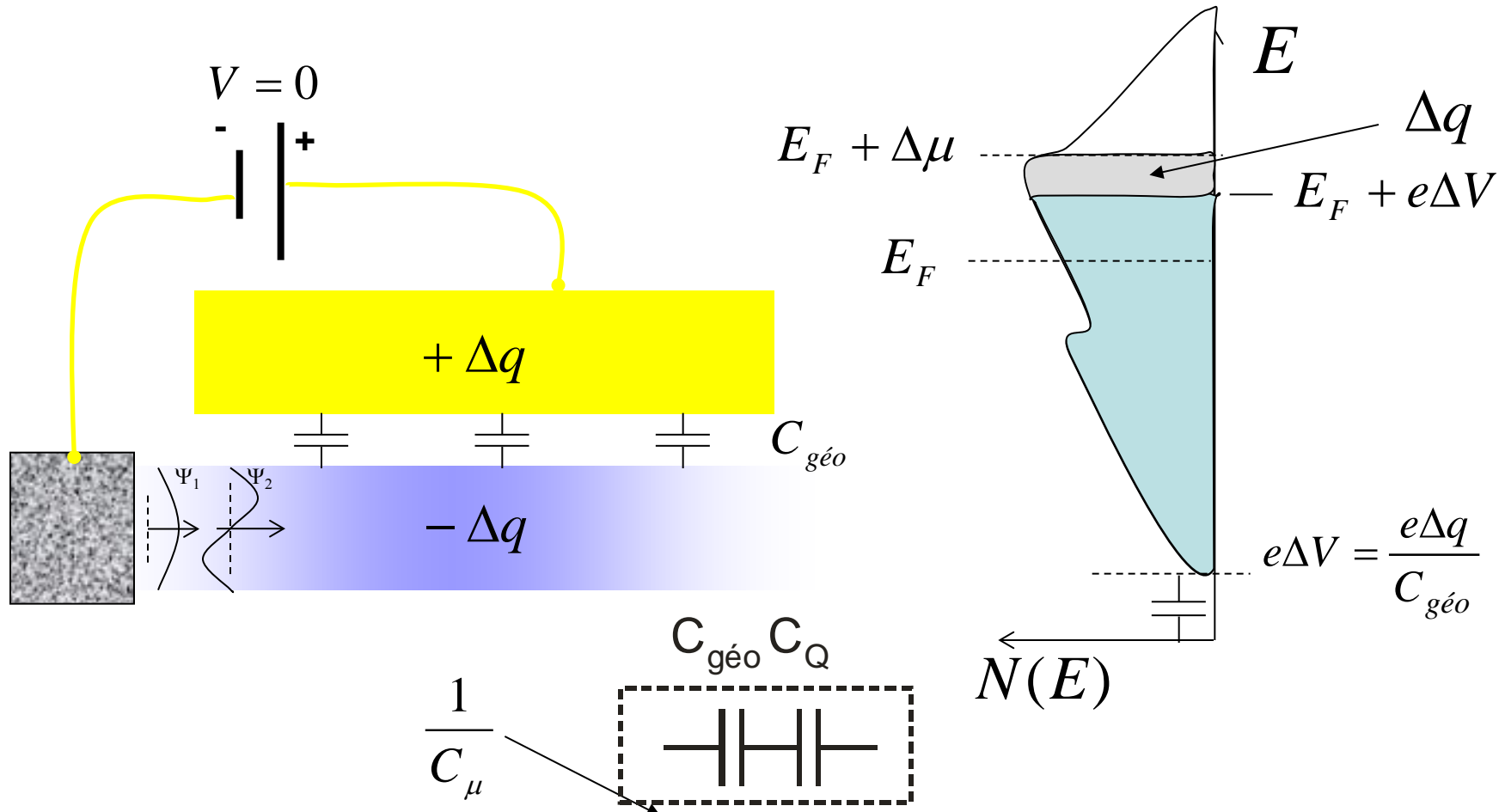
Capacité quantique



Capacité quantique



Capacité quantique



$$\Delta\mu_L = e\Delta V + \frac{\Delta q}{e} \frac{1}{N(E)} = e\Delta q \left(\frac{1}{C_{géo}} + \frac{1}{C_Q} \right) , \quad C_Q = e^2 N(E_F) \propto N_{\text{modes}}$$

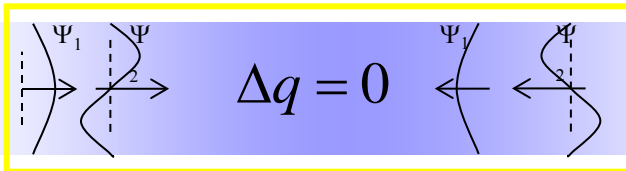
inductance cinétique

Inductance cinétique

μ_1

$V_{channel} = 0$

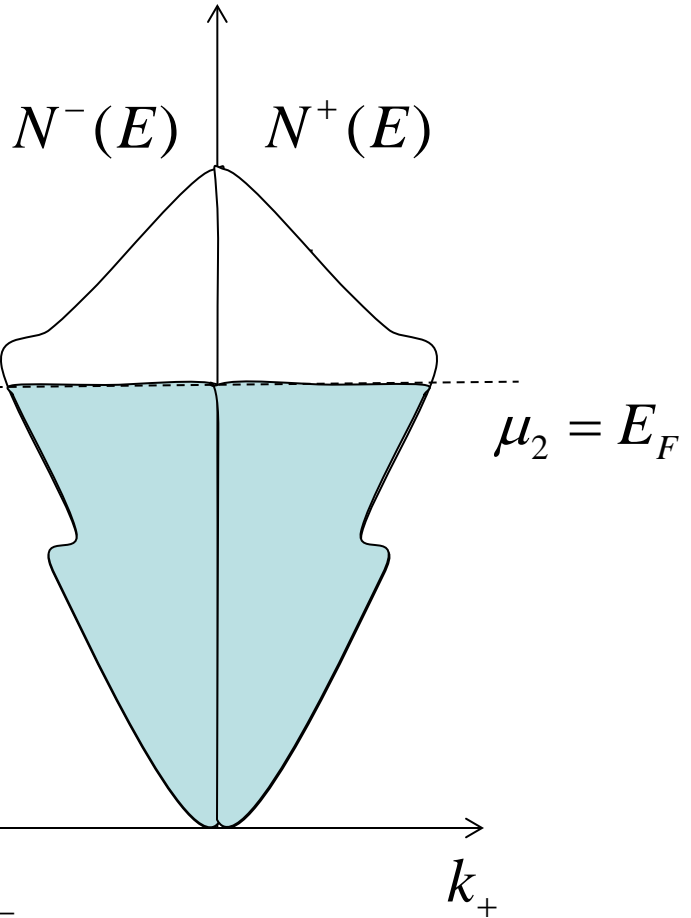
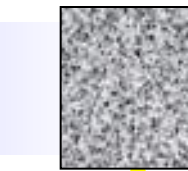
μ_2



$$\mp C_{geo} \approx 0$$

$$\Delta q = 0$$

$$- \quad + \quad V_{ds} = 0$$

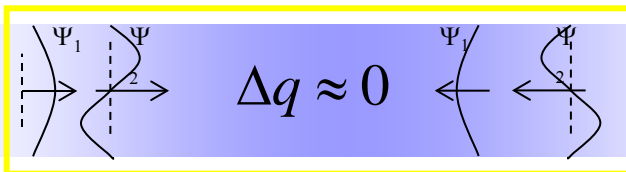


Inductance cinétique

μ_1

$$V_{channel} = V_{ds} / 2$$

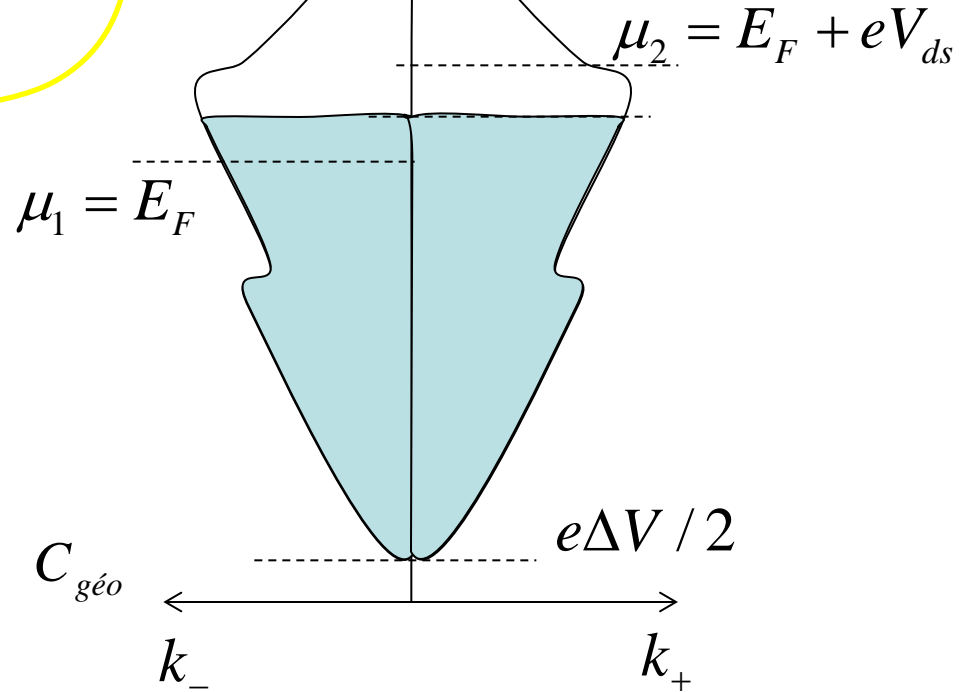
μ_2



$$\mp C_{geo} \approx 0$$

$$\Delta q \approx 0$$

$$-$$
 $+ V_{ds}$

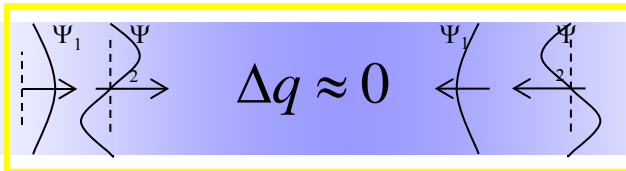


Inductance cinétique

μ_1

$$V_{channel} = V_{ds} / 2$$

μ_2

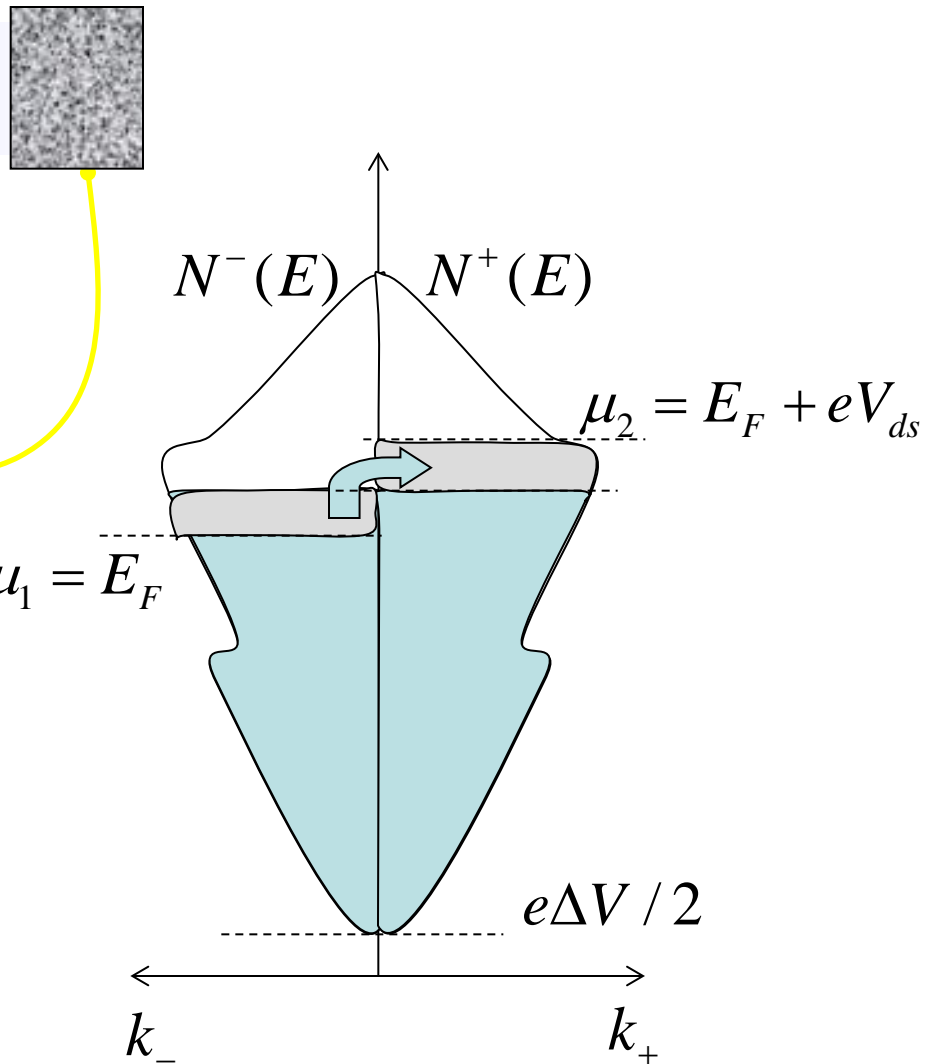


$$\frac{+}{-} C_{geo} \approx 0$$

$$\Delta q \approx 0$$

$$- \quad + \quad V_{ds}$$

$$\mu_1 = E_F$$

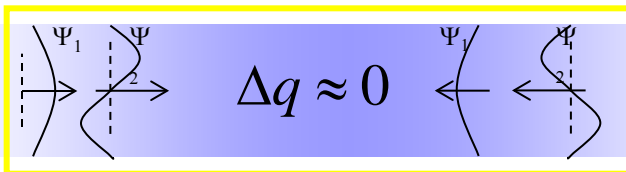


Inductance cinétique

μ_1

$$V_{channel} = V_{ds} / 2$$

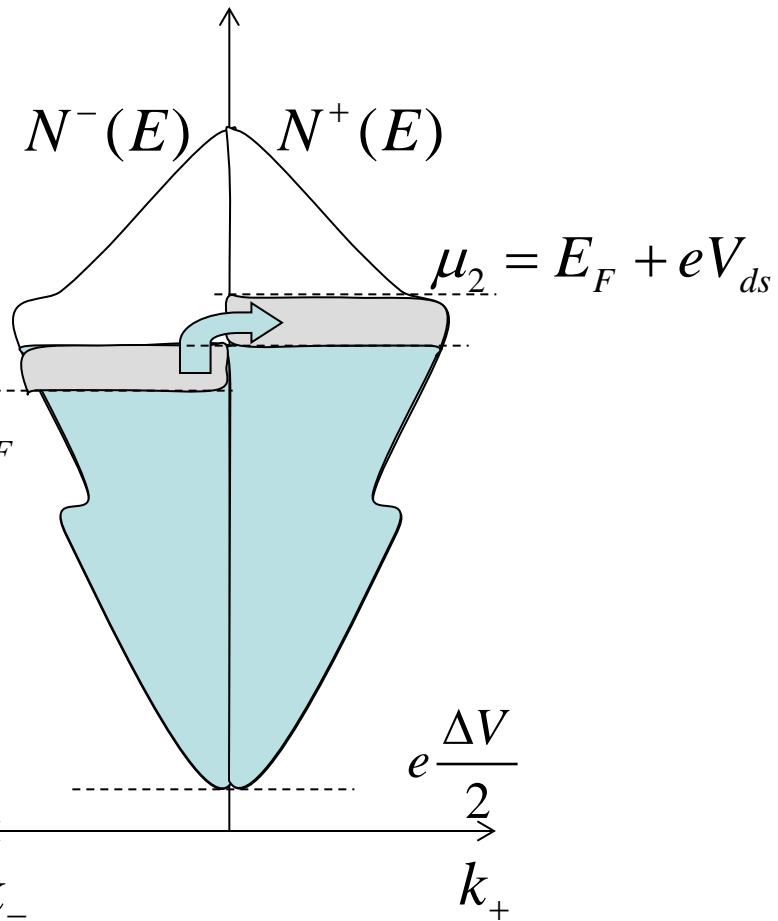
μ_2



$$\mp C_{geo} \approx 0$$

$$\Delta q \approx 0$$

$$-$$
 $+ V_{ds}$



$$\Delta E = \left(N^+(E_F) \times \frac{eV}{2} \right) \times \frac{eV}{2} = \frac{1}{2} L_K I^2$$

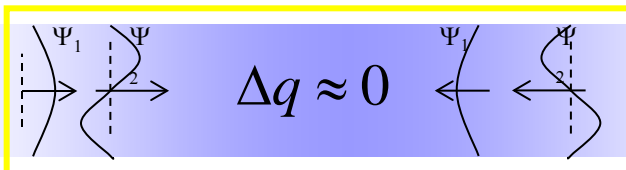
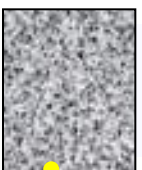
$$L_K = \frac{1}{e^2 N(E_F) v_F^2} \propto \frac{1}{N_{modes}}$$

Cas sans interactions

μ_1

$V_{channel} = 0$

μ_2

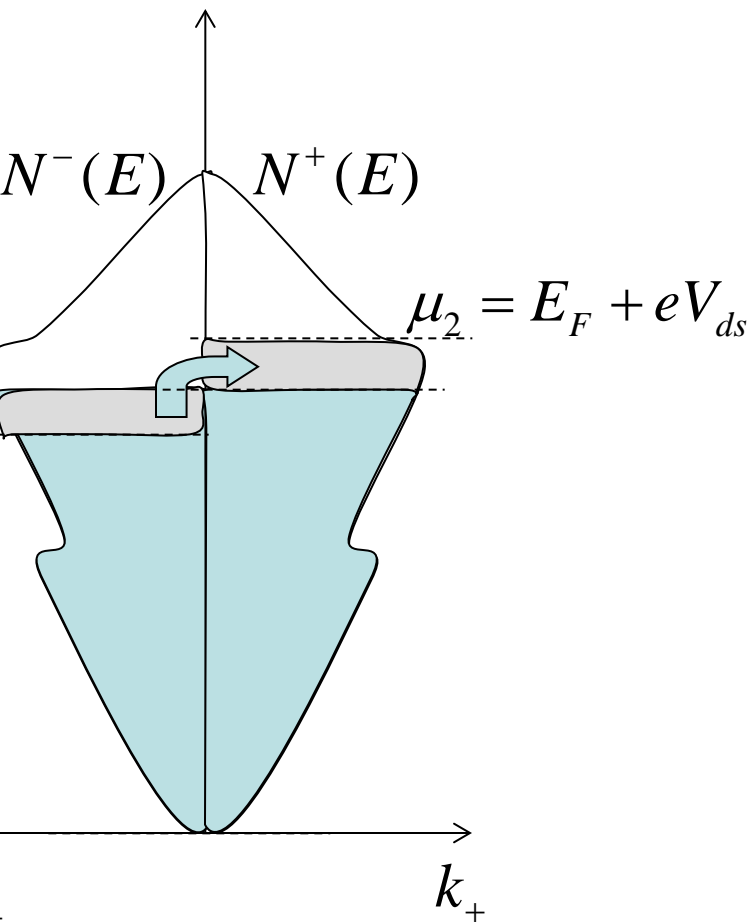


$$\mp C_{geo} \approx \infty$$

$$\Delta q \approx 0$$

$$- + V_{ds}$$

$$\mu_1 = E_F$$

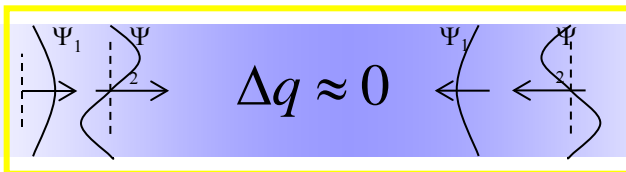
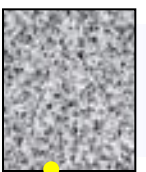


Cas chiral

μ_1

$$V_{channel} = V_{ds} / 2$$

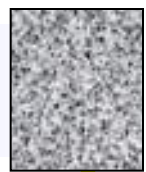
μ_2



$$\mp C_{geo} \approx 0$$

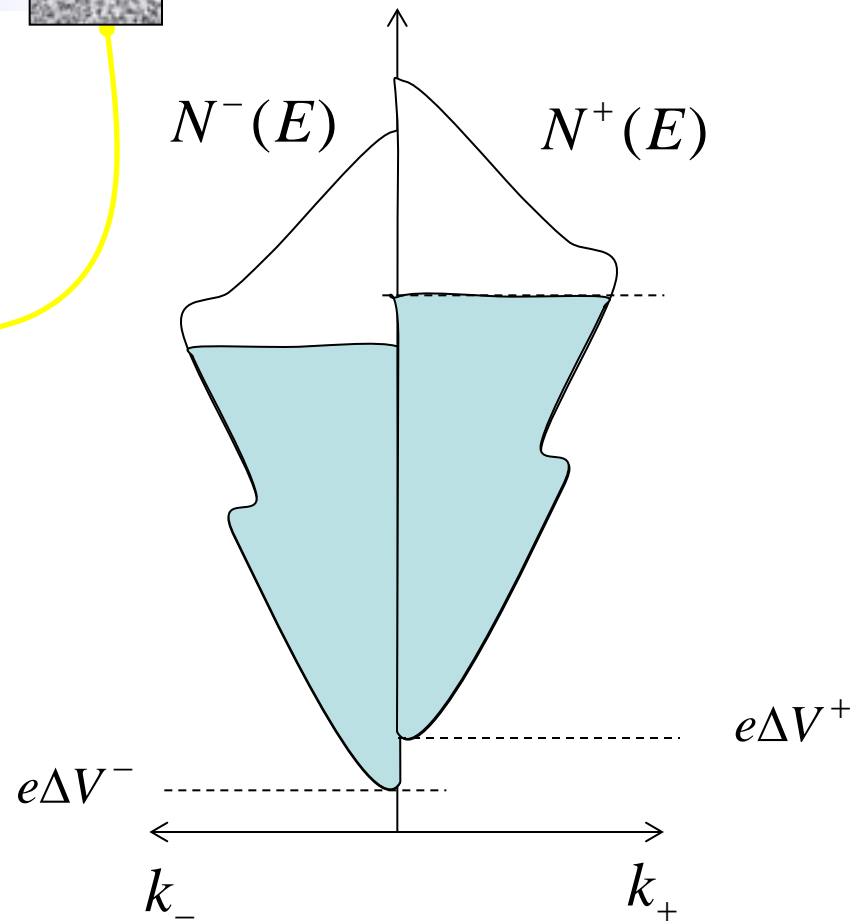
$$\Delta q \approx 0$$

$$\begin{array}{c} - \\ + \end{array} V_{ds}$$



$N^-(E)$

$N^+(E)$



$$e\Delta V^+$$

$$e\Delta V^-$$

k_-

k_+

Ordres de grandeur

$$C_Q = \frac{2Ne^2}{hv_F} \approx 400 \text{ pF/m} \approx C_{geo}$$

(nanoconducteurs, graphène, nanotubes $N = 4$, $v_F = 8 \cdot 10^5$)

$$L_K = \frac{1}{C_Q v_F^2} \approx 4 \text{ mH/m} \gg L_{geo}$$

(petit nombre de modes: canaux de bord, nanotubes)

Plan du cours

A. Introduction à la dynamique mésoscopique

1. Introduction
2. Apport des hautes fréquences
3. Mesurables

B. Techniques expérimentales

1. Paramètres de diffusion
2. Montages de mesure de signaux rf faibles

C. Admittance de conducteurs quantiques

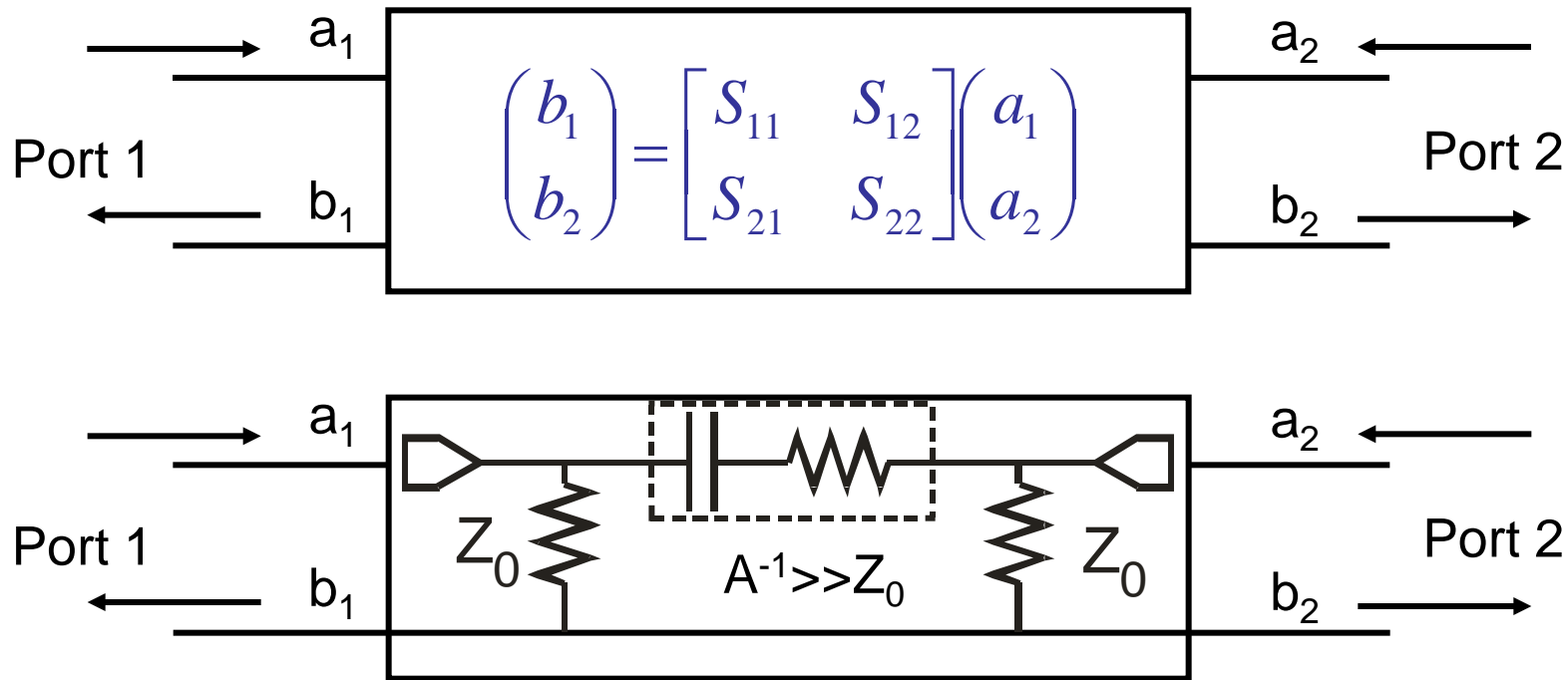
1. Relaxation de charge d'une capacité mésoscopiques
2. Inductance mésoscopique d'une barre de Hall
3. Dynamique de transistors à nanotube de carbone

D. Manipuler des électrons uniques

1. Injection d'électrons uniques
2. Vers la détection d'électrons volants

Paramètres de diffusion

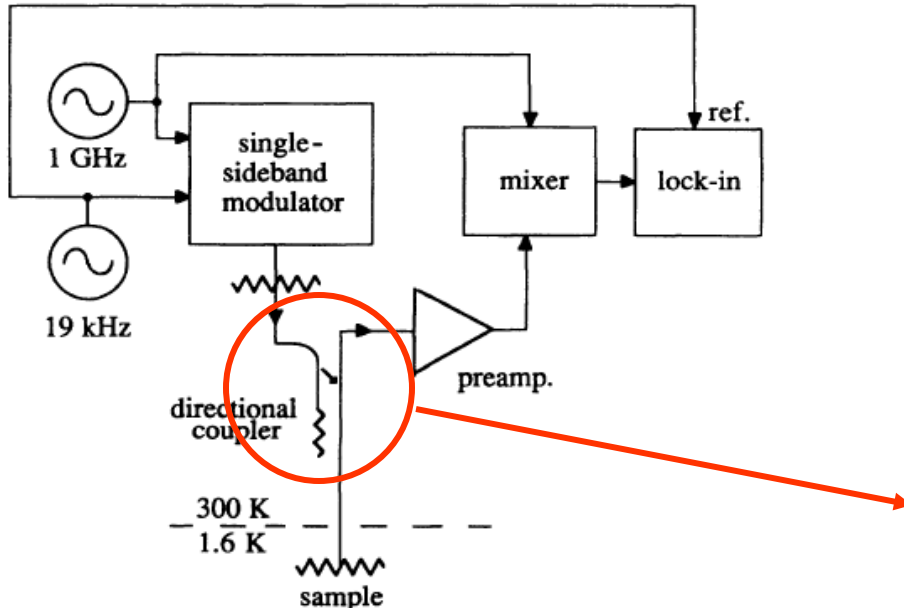
Mesures 1-4 ports de paramètres de diffusion



$$S_{11} = \frac{Z - Z_0}{Z + Z_0} \approx -Z_0 A(\omega)/2$$

$$S_{21} = \frac{Z_0}{Z + Z_0} \approx Z_0 A(\omega) \leq 10^{-3}$$

Mesures par réflectométrie

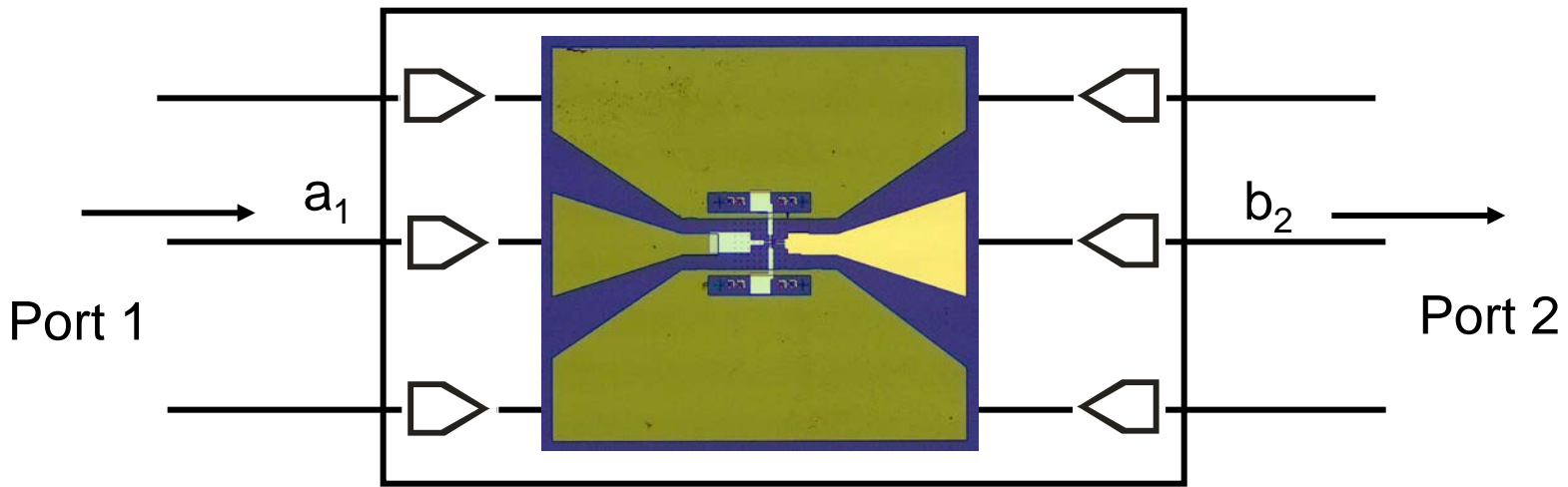


isolation ~ -20 dB
(fuite de 10% en amplitude)

FIG. 2. Schematic diagram of the reflection bridge used for the 1-GHz measurements.

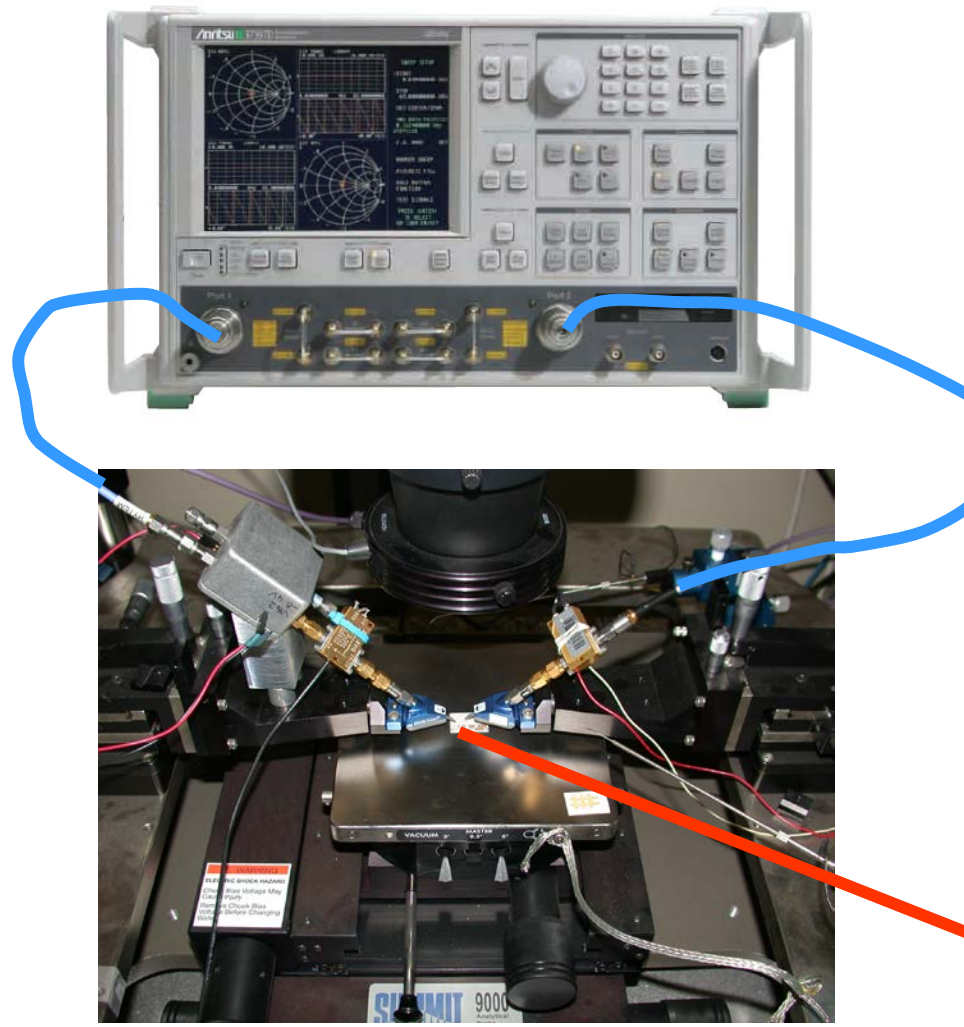
Measurement of the weak-localization complex conductivity in Ag wires, J.B. Pieper, J.C. Price, J.M. Martinis, PRB 45, 3857 (1992).

mesure de transmission en géométrie coplanaire

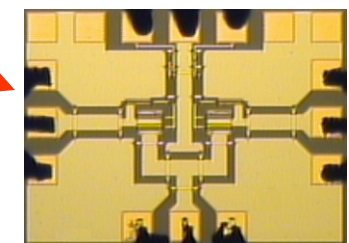


-60dB isolation in/out @1GHz et signal $S_{21} \approx Z_0 A(\omega) \sim 10^{-3}$ \geq parasite !

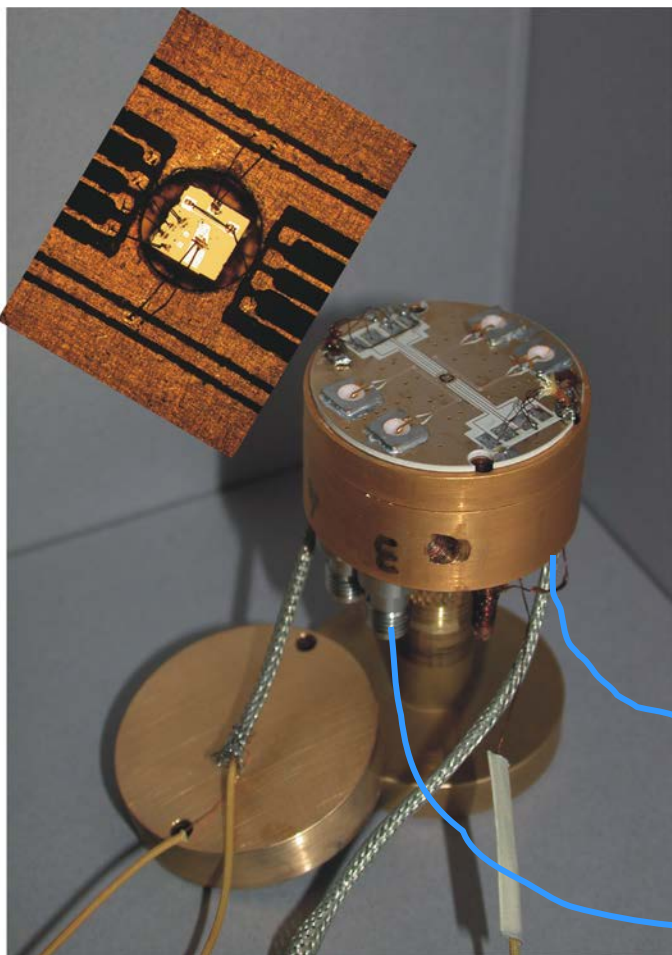
Appareils commerciaux (300K mais aussi 4K)



Microwave engineering, D.M. Pozar, ed.: J. Wiley and Sons, 3^{ème} édition,

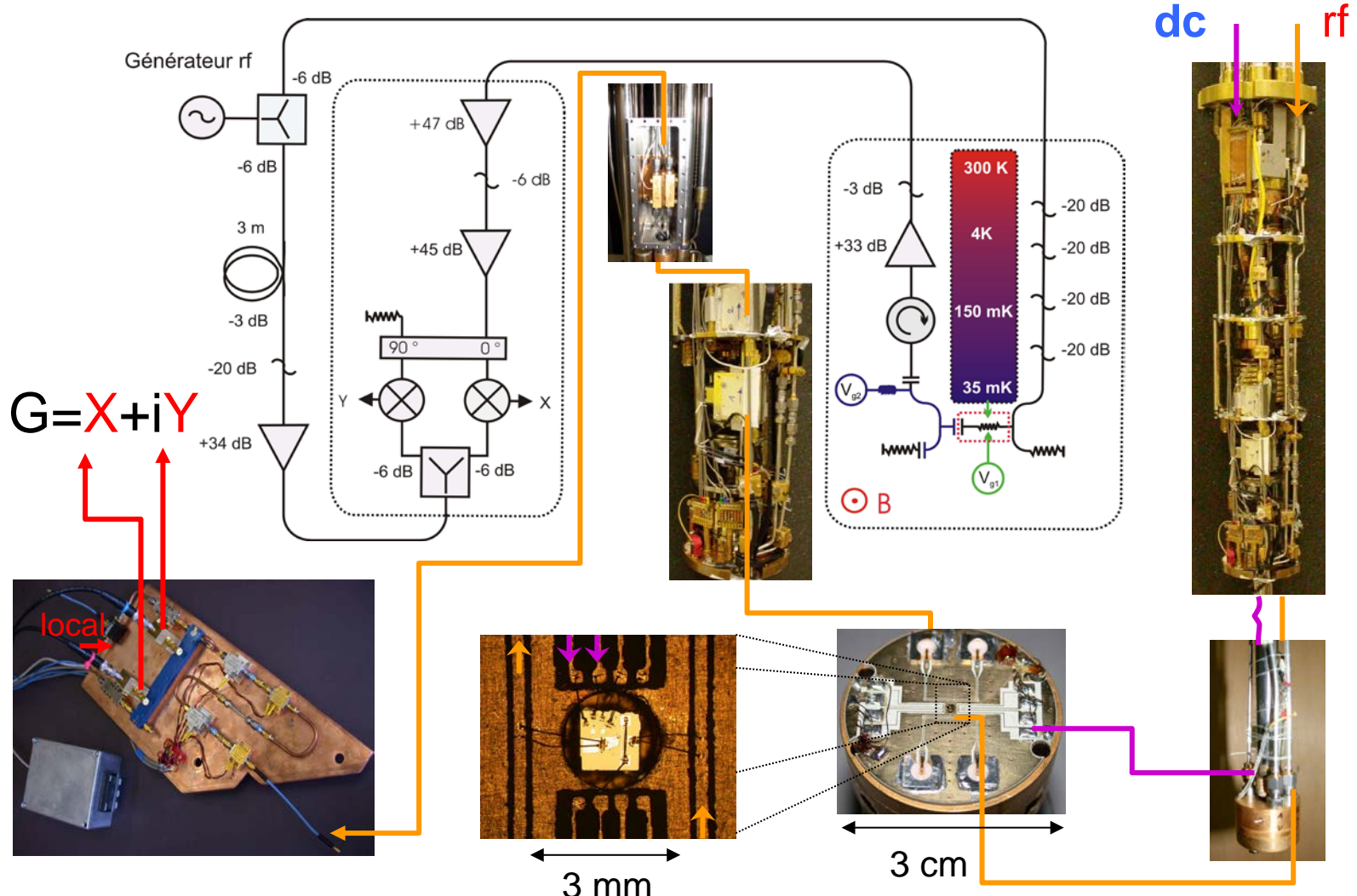


Mesures en boîtier

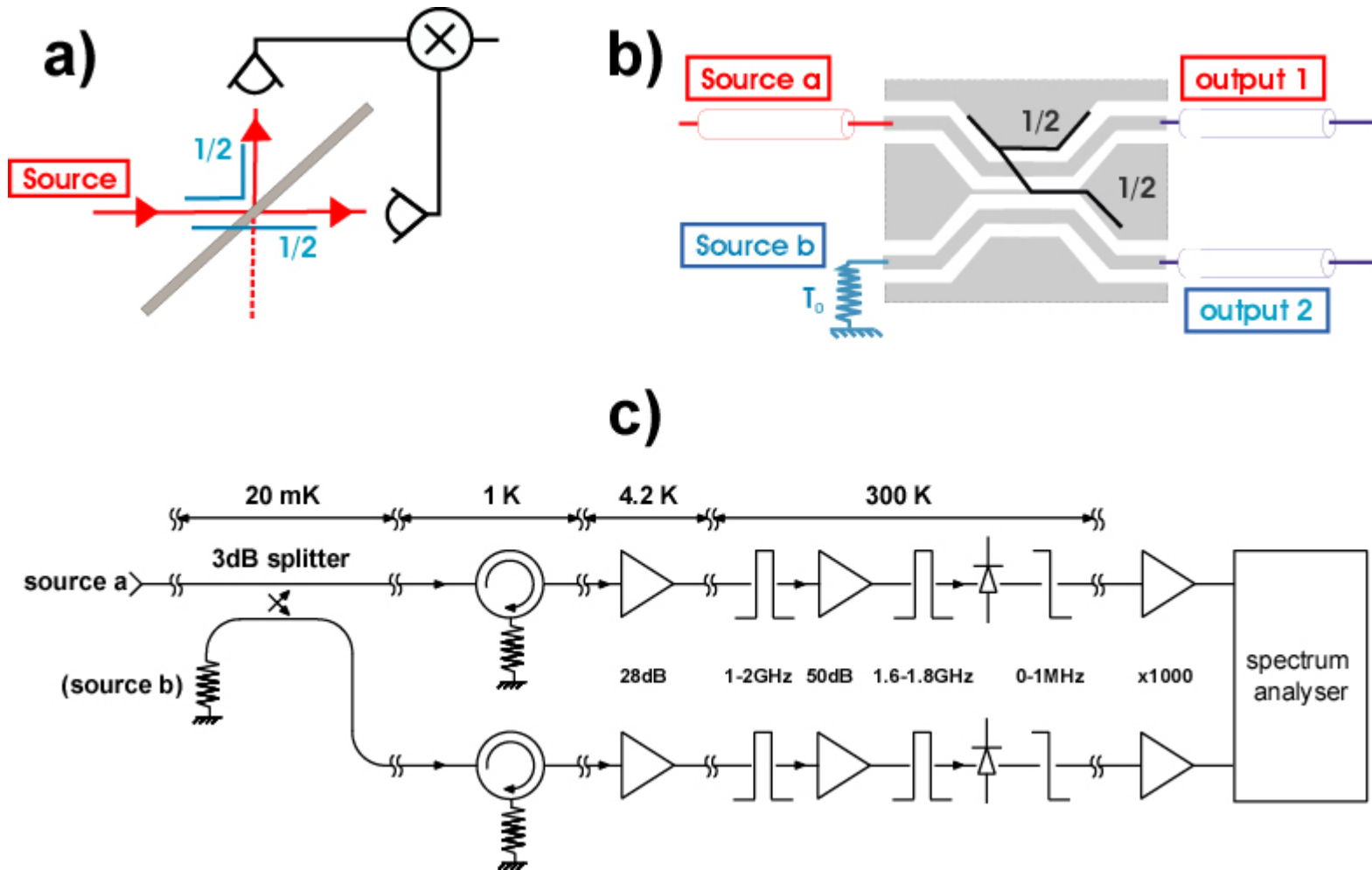


Microwave engineering, D.M. Pozar, ed.: J. Wiley and Sons, 3^{ième} édition,

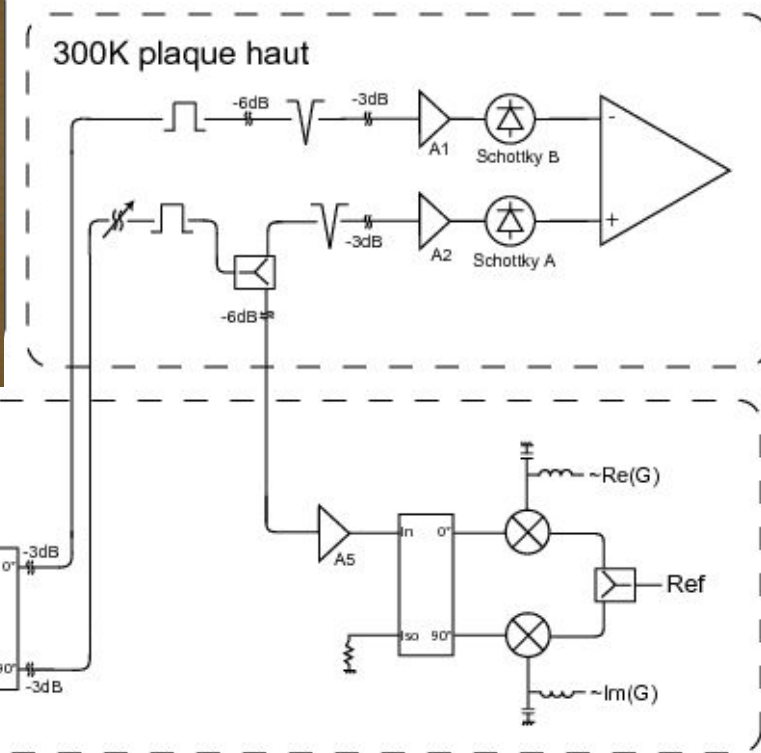
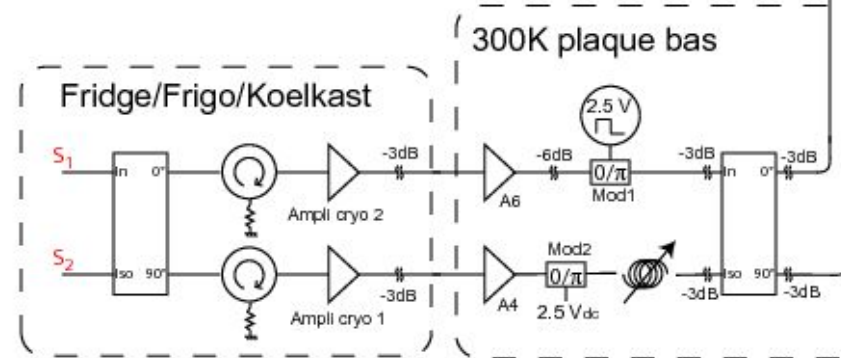
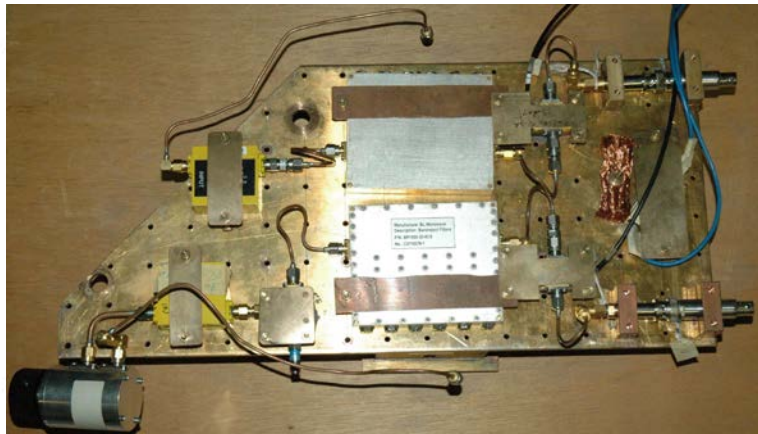
Montages de mesure admittance



Montages de mesure de bruit

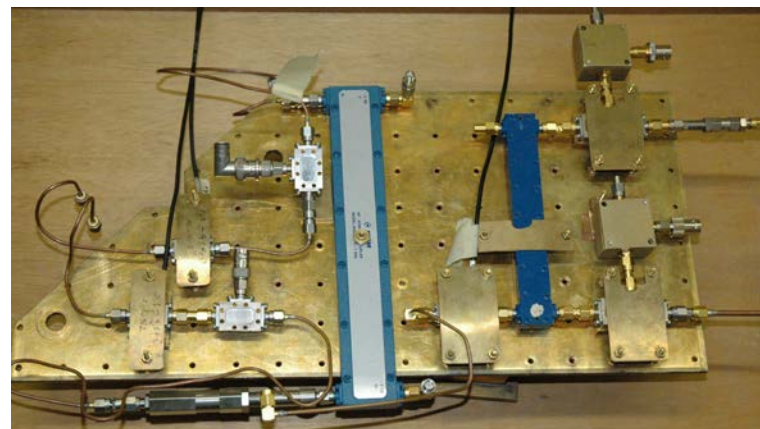


le problème de résolution



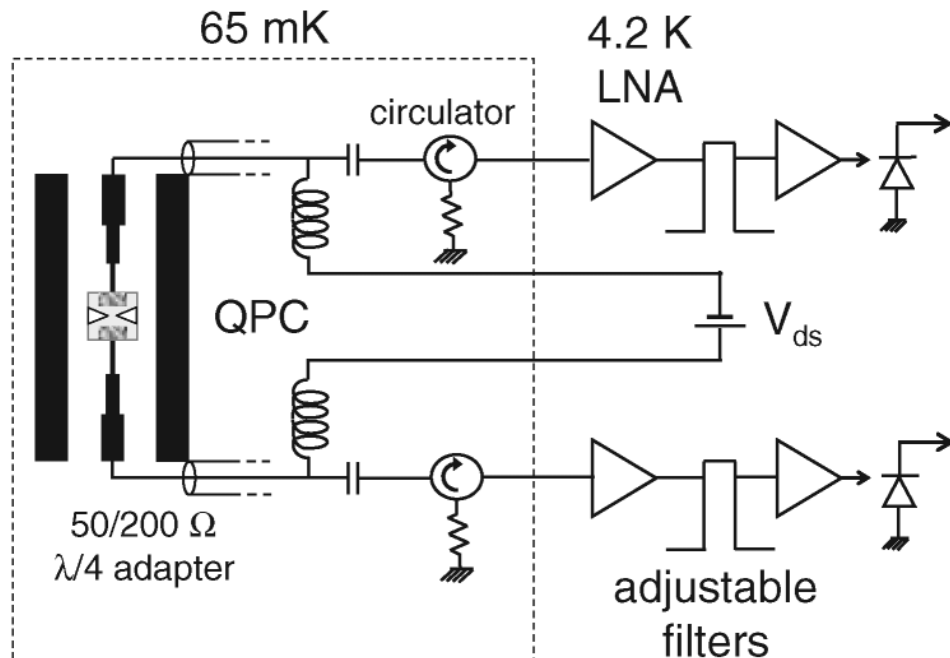
$$\delta T_N = \frac{T_N}{\sqrt[4]{\tau \Delta f}} \approx \frac{5 \text{ K}}{\sqrt[4]{10^3 \text{ s} \times q q_s l 10^8 \text{ Hz}}} = 10 \mu\text{K} !!!$$

$$\delta T_S \leq 2e(ef) \frac{Z_0}{4k} \approx \frac{5 \text{ K}}{\sqrt[4]{10^3 \times q q_s l 10^8}} = 45 \mu\text{K} !!$$



Adaptation impedance : ligne quart d'onde f>1GHz

$$\left(Z_{\text{sample}} \geq \frac{h}{e^2} \right) \ggg \left(Z_{\text{vide}} = \sqrt{\frac{L_{\text{vide}}}{C_{\text{vide}}}} = \sqrt{\frac{\mu_0}{\epsilon_0}} \approx 377\Omega \right) \geq Z_{\text{coax}} = 50\Omega$$

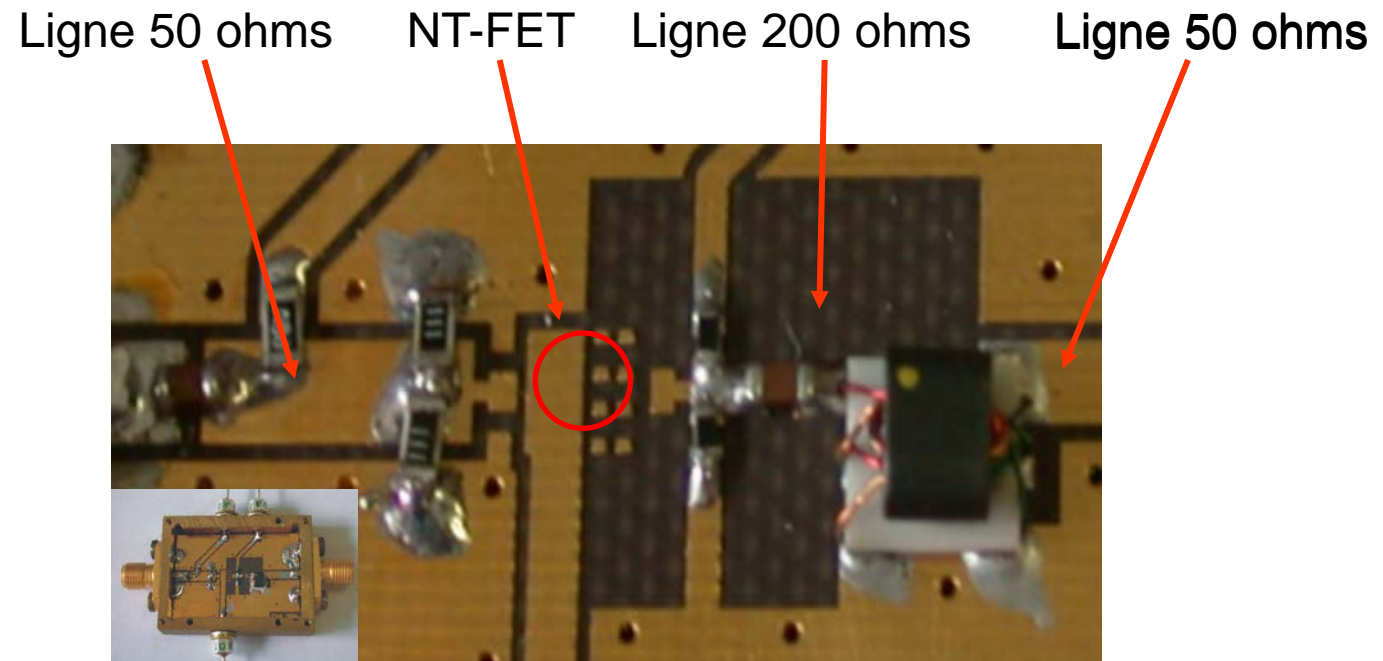


4-8 GHz (Saclay)

1-4 GHz (ENS)

Experimental Test of the High-Frequency Quantum Shot Noise Theory in a Quantum Point Contact
E. Zakka-Bajjani, J. Segala, F. Portier, P. Roche, and D. C. Glattli, A. Cavanna, Y. Jin, PRL 99, 236803 (2007).

Adaptation impedance : transformateur f<1 GHz



J. Chaste, Thèse UPMC, MESO

Plan du cours

A. Introduction à la dynamique mésoscopique

1. Introduction
2. Apport des hautes fréquences
3. Mesurables

B. Techniques expérimentales

1. Paramètres de diffusion
2. Montages de mesure de signaux rf faibles

C. Admittance de conducteurs quantiques

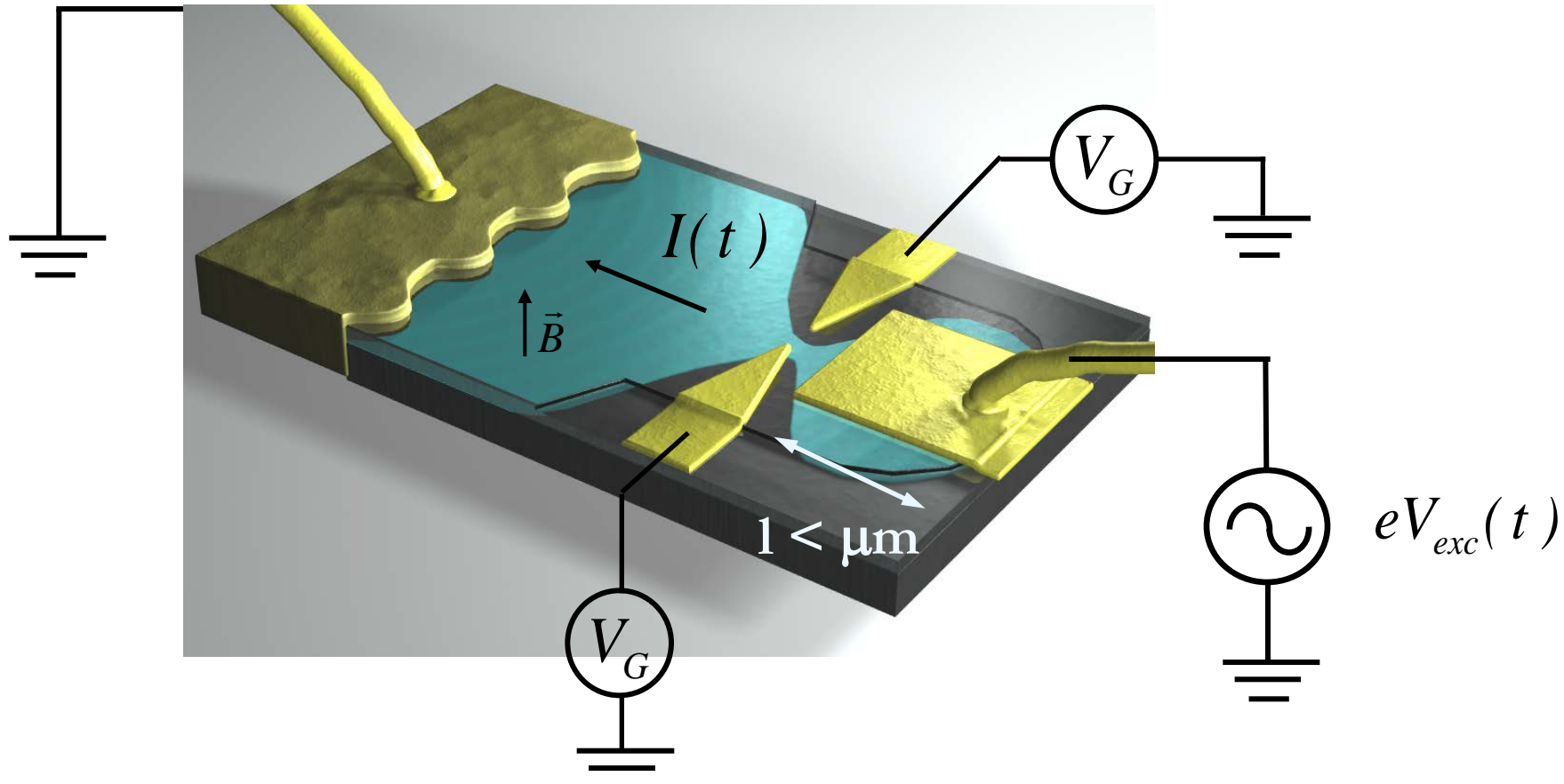
1. Relaxation de charge d'une capacité mésoscopiques
2. Inductance mésoscopique d'une barre de Hall
3. Dynamique de transistors à nanotube de carbone

D. Manipuler des électrons uniques

1. Injection d'électrons uniques
2. Vers la détection d'électrons volants

Relaxation de charge d'une capacité mésoscopique

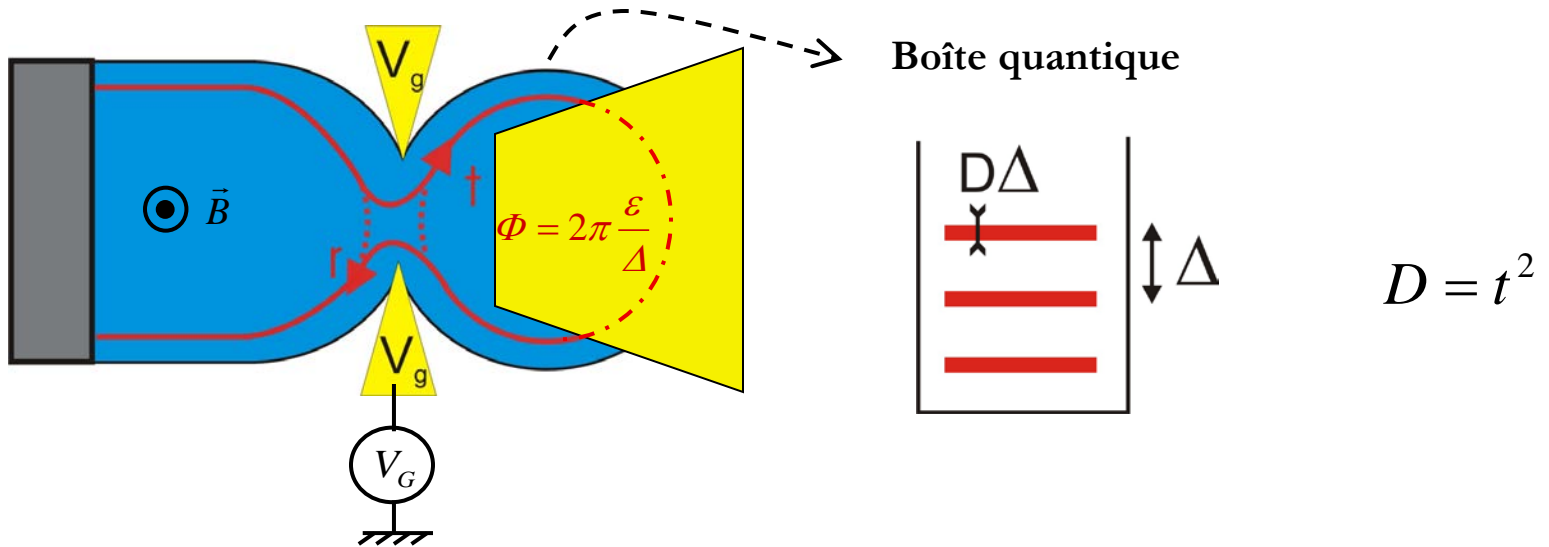
Relaxation de charge d'une capacité mésoscopique



Thèse J. Gabelli

Violation of Kirchhoff's Laws for a Coherent RC Circuit, J. Gabelli, et al. MESO, Science 313, 499 (2006), ibid (Physica B 2006).

modèle scattering : 1 mode à 1D



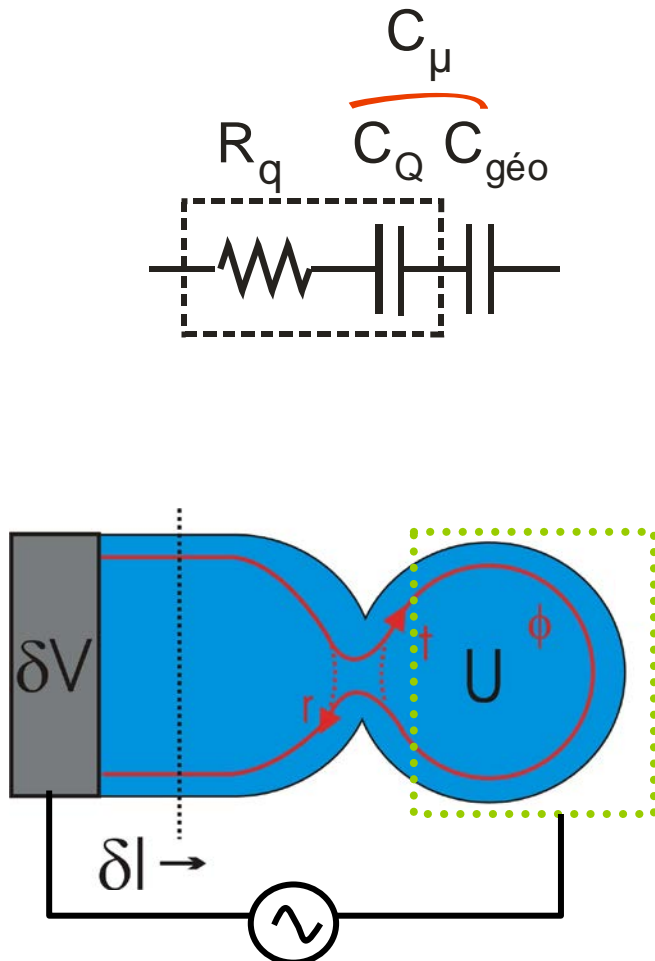
$$\begin{pmatrix} s(\varepsilon)a_1 \\ b_0 \end{pmatrix} = \begin{bmatrix} r & -t \\ t & r \end{bmatrix} \begin{pmatrix} a_1 \\ e^{i\varphi}b_0 \end{pmatrix} \Rightarrow s(\varepsilon) = \frac{r - e^{i\varphi}}{1 - re^{i\varphi}} \quad \text{avec} \quad (\varphi = 2\pi \frac{\varepsilon}{\Delta})$$

Admittance au deuxième ordre en fréquence

$$g(\omega) = \frac{\delta I}{\delta V - \delta U} = \frac{e^2}{h} \int d\varepsilon \left(1 - s^+(\varepsilon) s(\varepsilon + \hbar\omega) \right) \frac{f(\varepsilon) - f(\varepsilon + \hbar\omega)}{\hbar\omega}$$
$$g(\omega) = \frac{e^2}{h} \int d\varepsilon \left[s^+ \frac{ds}{d\varepsilon} \hbar\omega + \left(s^+ \frac{ds}{d\varepsilon} \right)^2 \frac{(\hbar\omega)^2}{2} \right] \frac{df}{d\varepsilon}$$
$$g(\omega) = -i\omega \int d\varepsilon \left[e^2 N(\varepsilon) \right] \frac{df}{d\varepsilon} + \int d\varepsilon \left[\frac{h}{2e^2} \left(e^2 N(\varepsilon) \right)^2 \omega^2 \right] \frac{df}{d\varepsilon}$$
$$g(\omega) = -iC_Q\omega + (C_Q\omega)^2 R_q$$

Dynamic conductance and the scattering matrix of small conductors , M. Büttiker, A. Prêtre, H. Thomas, PRL70, 4114 (1993).
Dynamic admittance of mesoscopic conductors: Discrete-potential model, A. Prêtre, H. Thomas, M. Büttiker, PRB54, 8130 (1996).

Modèle unidimensionnel



$$g(\omega) = \frac{\delta I}{\delta V - \delta U} = \frac{\delta I}{\delta V - \delta I / jC_\Sigma \omega}$$

$$\frac{1}{G(\omega)} = \frac{1}{g(\omega)} + \frac{1}{jC_\Sigma \omega}$$

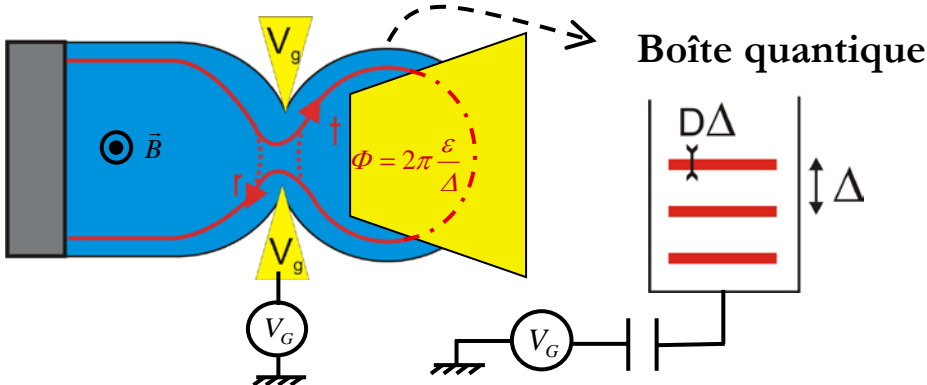
$$= \frac{h}{2e^2} + \frac{1}{jC_Q \omega} + \frac{1}{jC_\Sigma \omega} = \frac{h}{2e^2} + \frac{1}{jC_\mu \omega}$$

$$C_Q = \int d\varepsilon \left[e^2 N(\varepsilon) \right] \frac{df}{d\varepsilon} \xrightarrow{T \rightarrow 0} e^2 N(\varepsilon)$$

$$R_q = \frac{\int d\varepsilon \left[\frac{h}{2e^2} (e^2 N(\varepsilon))^2 \right] \frac{df}{d\varepsilon}}{\left[\int d\varepsilon \left[e^2 N(\varepsilon) \right] \frac{df}{d\varepsilon} \right]^2} \xrightarrow{T \rightarrow 0} \frac{h}{2e^2}$$

C_q

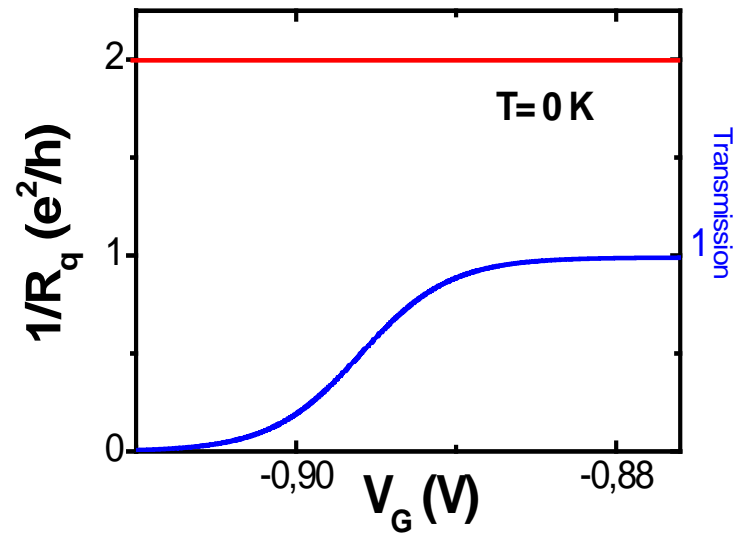
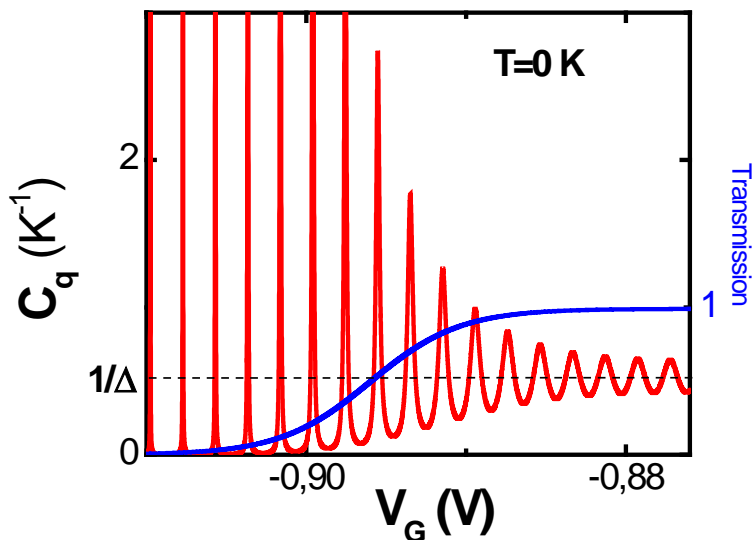
Régime cotuneling ($kT \ll D\Delta$)



$$D = \left(1 + \exp - \frac{V_g - V_1}{\Delta V_0} \right)^{-1}$$

$$N(\varepsilon) = \frac{1}{\Delta} \frac{1 - r^2}{1 - 2r \cos(2\pi\varepsilon/\Delta) + r^2}$$

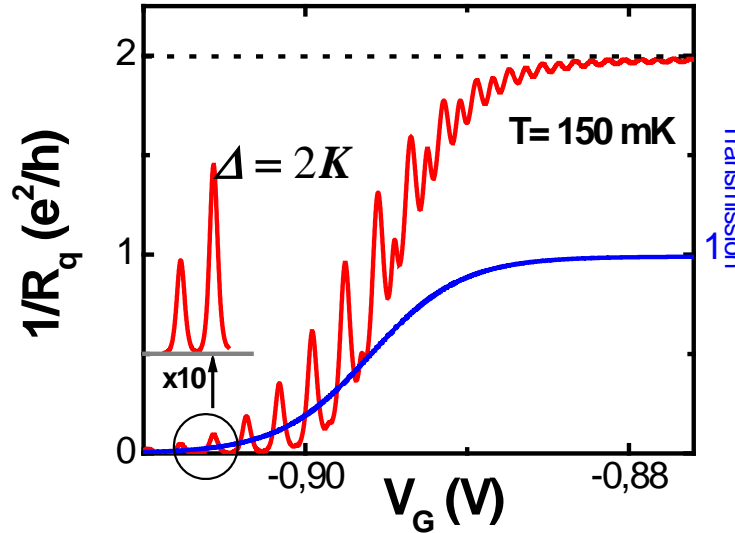
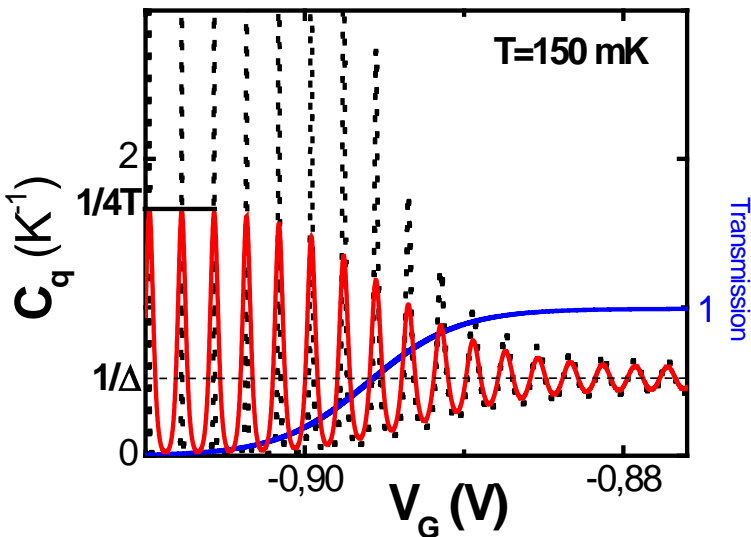
$$C_Q = e^2 N(\varepsilon) \quad ; \quad R_q = \frac{h}{2e^2} = \text{cte} \quad ; \quad \tau_q = R_q C_Q = \frac{h N(\varepsilon)}{2}$$



Régime séquentiel ($kT \gg D\Delta$)

$$\tilde{C}_Q = \int d\varepsilon \frac{e^2}{\Delta} \frac{1-r^2}{1-2r\cos(2\pi\varepsilon/\Delta)+r^2} \frac{df}{d\varepsilon} = \frac{e^2}{4kT \cosh^2(\delta\varepsilon/2kT)}$$

$$\frac{1}{\tilde{R}_q} = \left(\frac{D\Delta}{h} \right) \times \frac{e^2}{4kT \cosh^2(\delta\varepsilon/2kT)} \quad ; \quad \tau = \tilde{R}_q \tilde{C}_Q = \frac{h}{D\Delta}$$



résumé

régime cohérent ($kT \ll D\Delta$)

$$C_Q = e^2 N(\varepsilon) \quad ; \quad R_q = \frac{h}{2e^2} = \text{cte} \quad \left(< R_{Landauer} = \frac{h}{De^2} \right)$$

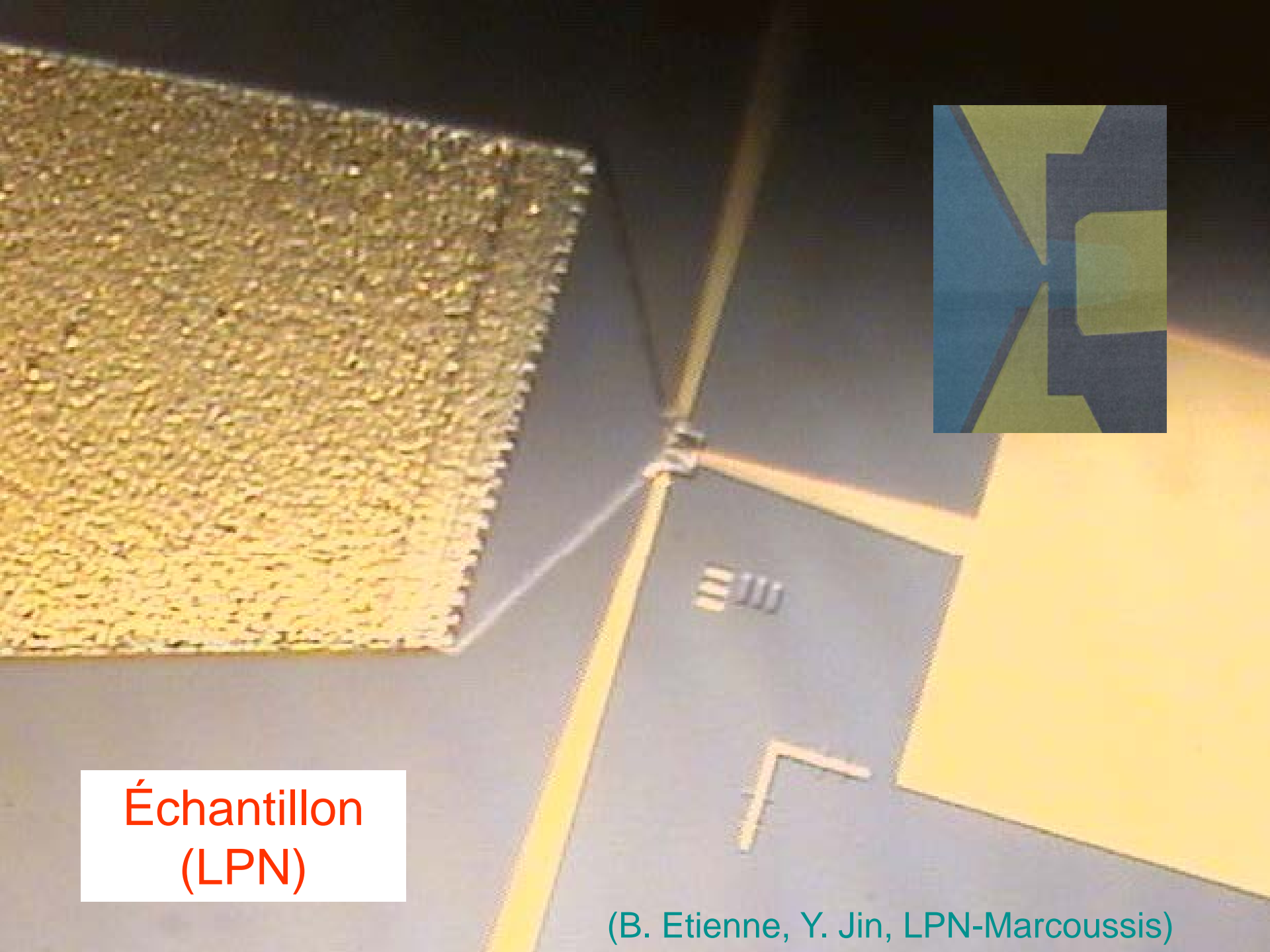
$\tau_Q = R_q C_Q = \frac{hN(\varepsilon)}{2}$ est donné par le temps de résidence de l'électron dans le point quantique

régime brouillage thermique ($kT \geq D\Delta$)

$$\tilde{C}_Q = \frac{e^2}{4kT \cosh^2(\delta\varepsilon/2kT)} \quad ; \quad \frac{1}{\tilde{R}_q} = \frac{D\Delta}{h} \frac{e^2}{4kT \cosh^2(\delta\varepsilon/2kT)} \quad ;$$

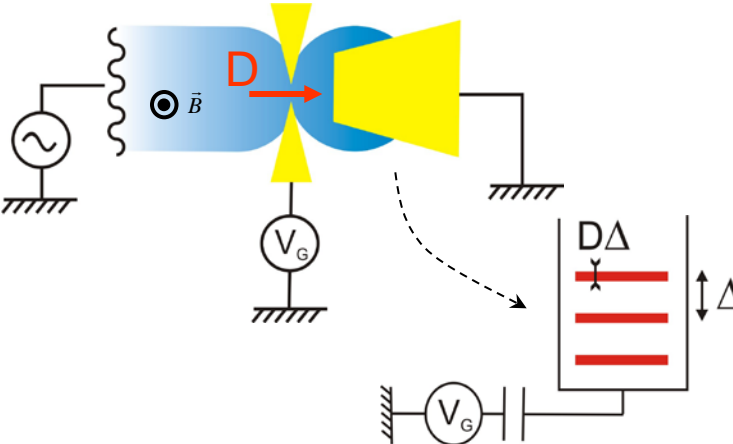
$\tau = \tilde{R}_q \tilde{C}_Q = \frac{h}{D\Delta}$ est donné par la durée de vie de l'électron dans le point quantique

Mesoscopic charge relaxation, S.E. Nigg, R. Lopez, M. Büttiker, PRL 97, 206804 (2006) ; Quantum to classical transition of the charge relaxation resistance of a mesoscopic capacitor, S.E. Nigg, M. Büttiker, PRB 77, 085312 (2008)



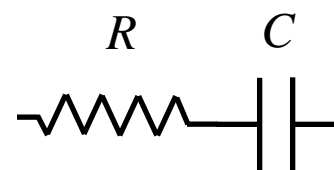
Échantillon
(LPN)

(B. Etienne, Y. Jin, LPN-Marcoussis)



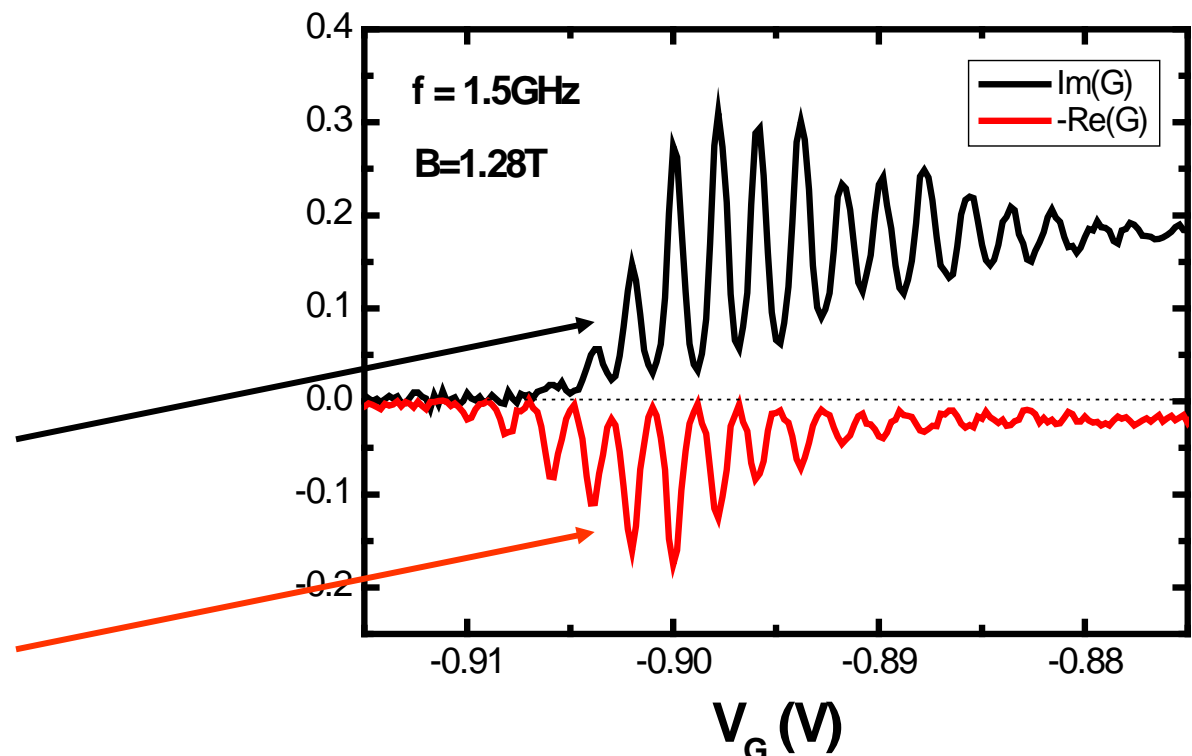
conductance

$f = 1.5 \text{ GHz}$, $T = 30 \text{ mK}$

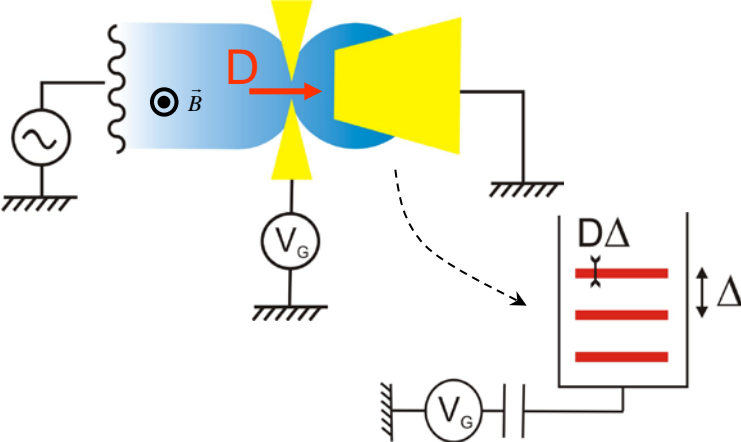


$$\text{Im}(G) = \frac{C\omega}{1 + (RC\omega)^2}$$

$$\text{Re}(G) = \frac{R(C\omega)^2}{1 + (RC\omega)^2}$$

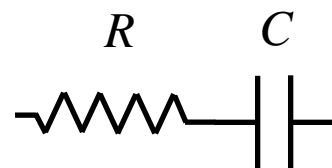


0 1
D (transmission)



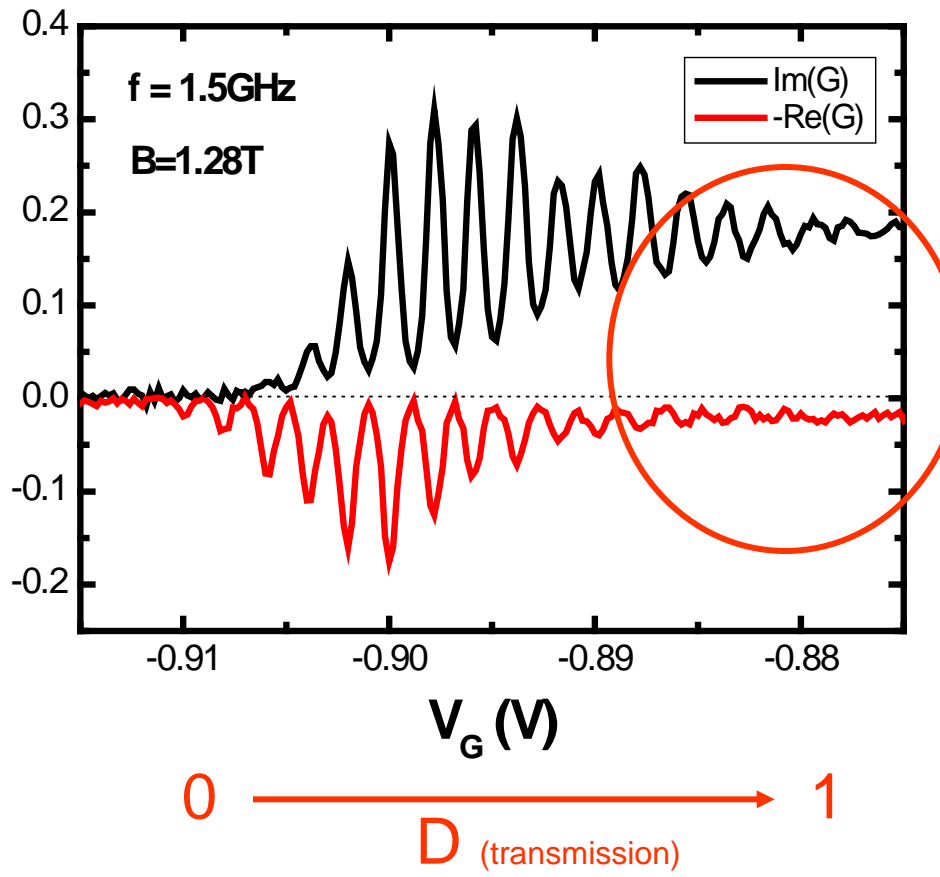
Capacitif cohérent à forte transmission

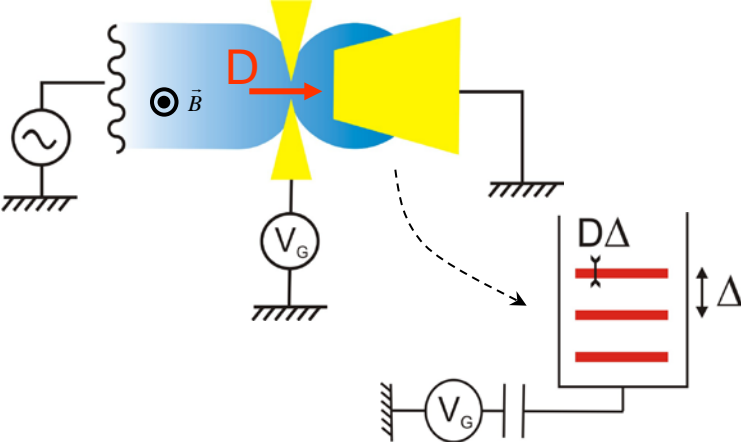
$f=1.5 \text{ GHz}$, $T = 30 \text{ mK}$



$$\text{Im}(G) = \frac{C\omega}{1 + (RC\omega)^2}$$

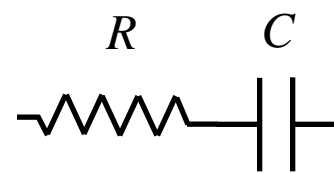
$$\text{Re}(G) = \frac{R(C\omega)^2}{1 + (RC\omega)^2}$$





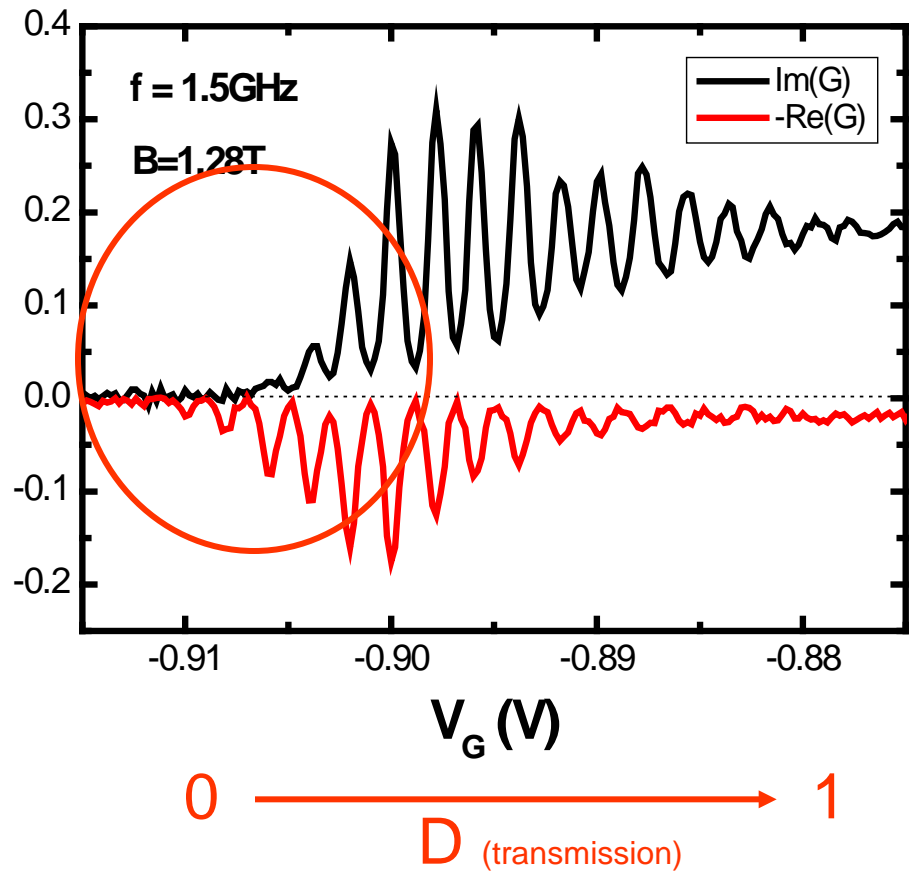
résistif séquentiel à faible transmission

$f = 1.5 \text{ GHz}$, $T = 30 \text{ mK}$

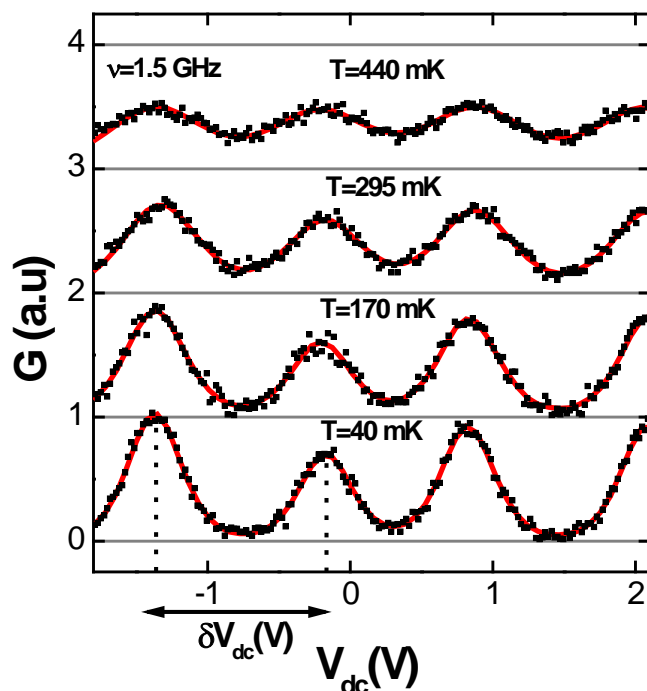
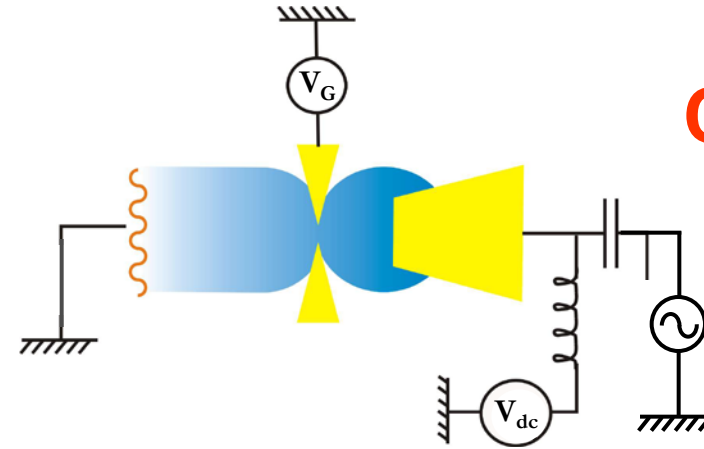


$$\text{Im}(G) = \frac{C\omega}{1 + (RC\omega)^2}$$

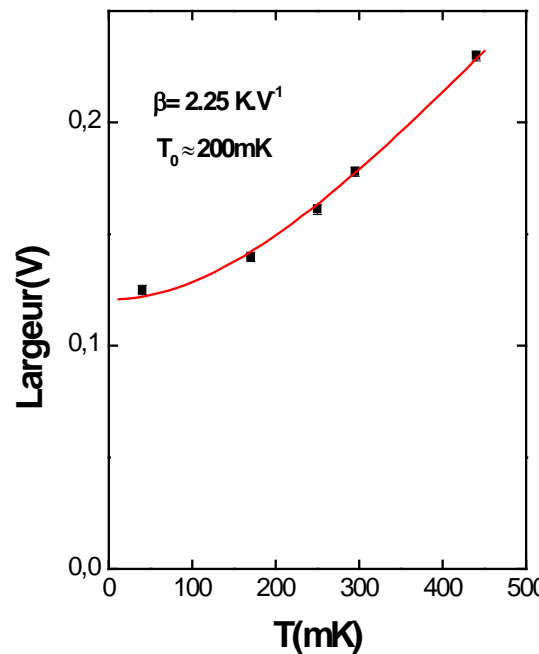
$$\text{Re}(G) = \frac{R(C\omega)^2}{1 + (RC\omega)^2}$$



Calibration du couplage à la grille



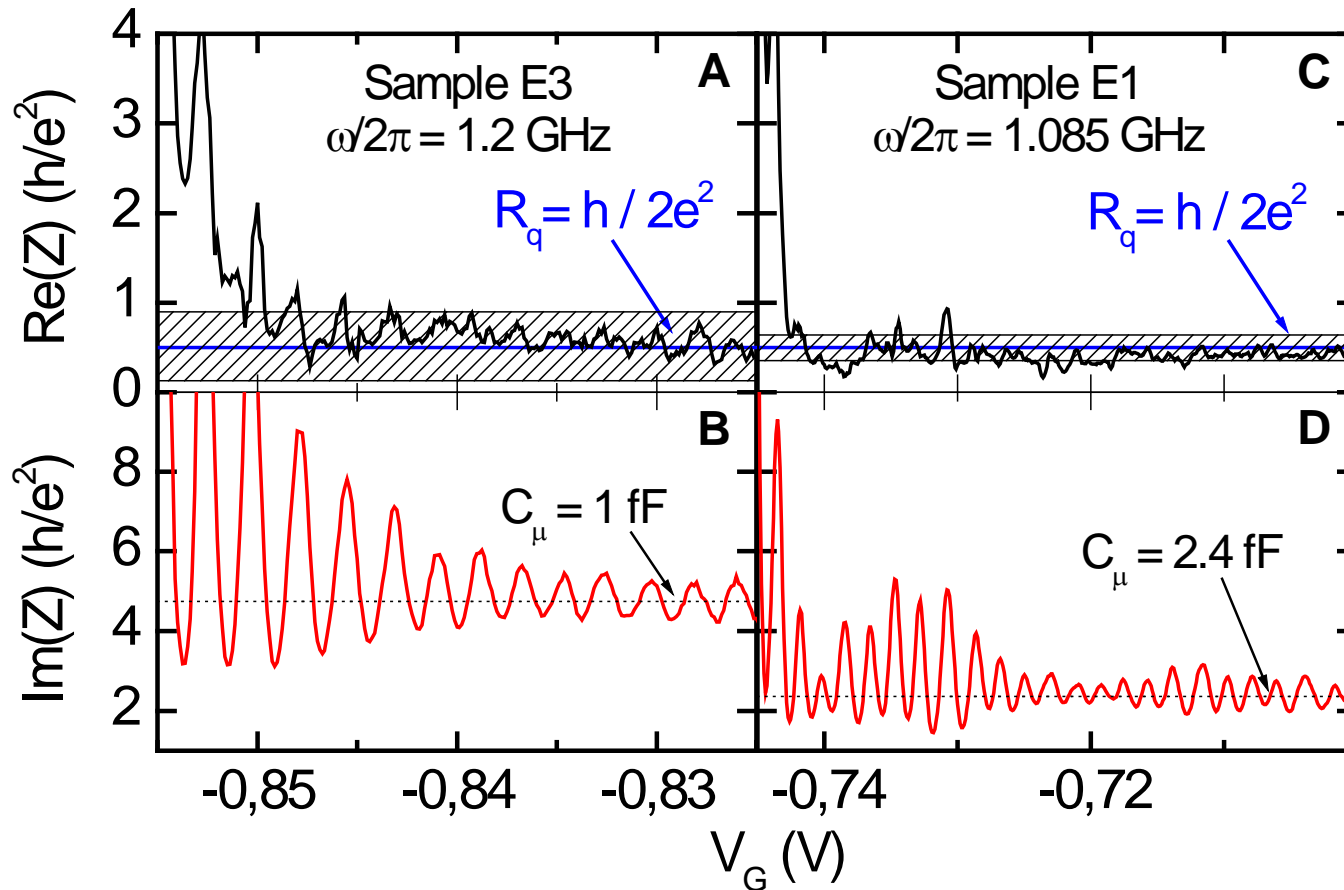
Régime de basse transmission	
Largeur des pics	$k_B T$
Distance entre pics	$\delta V_{dc} \equiv e^2/C_\mu$



$$\frac{e^2}{C_\mu} = 2.5 K$$

$$C_\mu = 0.75 \text{ fF}$$

Capacité mésoscopique et résistance de relaxation de charge



Violation of Kirchhoff's Laws for a Coherent RC Circuit, J. Gabelli et MESO, Science. 313, 499 (2006)
A Quantum Mesoscopic RC Circuit Realized in a 2D Electron Gas, J Gabelli, et MESO, Physica E, 34, 576 (2006)

Comparaison avec le modèle 1D

$$\frac{e^2}{C_\mu} = 2.5K$$

$$\Delta = 2K$$

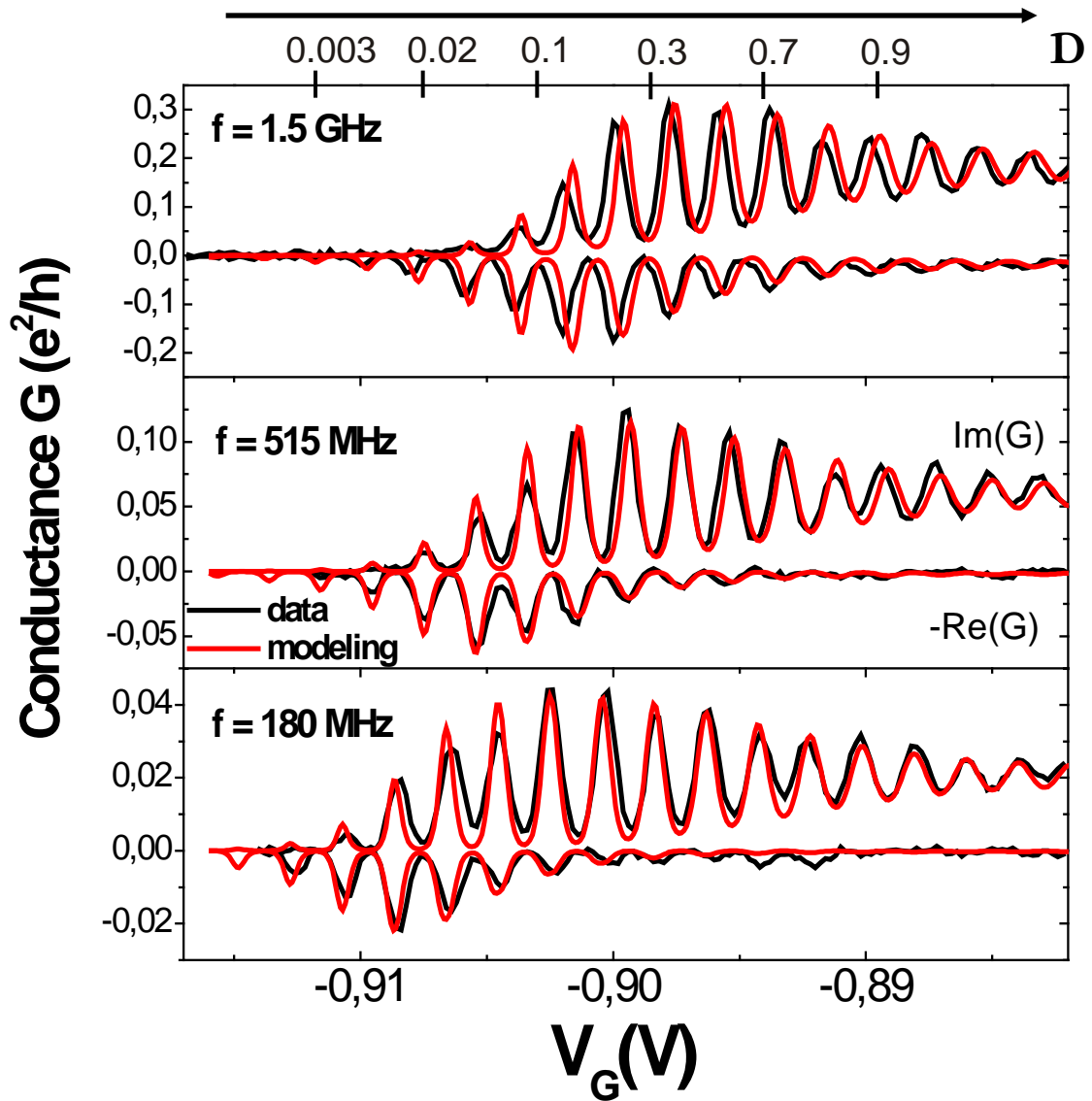
$$\frac{e^2}{C} = 0.5K$$

fit using: $D(V_G)$

$$D(V_G) = \frac{1}{1 + e^{-\frac{V_G - V_0}{\Delta V_0}}}$$

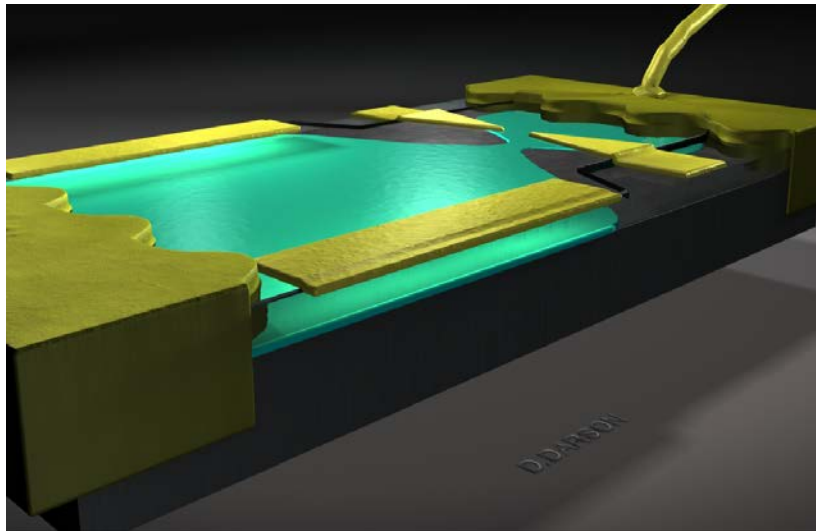
$$V_0 = -896mV$$

$$\Delta V_0 = 2.9mV$$



Inductance mésoscopique d'une barre de Hall

inductance mésoscopique : cas de la barre de Hall



(c.f. : section C.2)

$$A = G + j\omega E = G(1 + j\omega \tau)$$

Thèse J. Gabelli,

Low frequency admittance of a quantized Hall conductor, T. Christen and M. Büttiker, PRB 53, 2064 (1996).

Low frequency admittance of a quantum point contact, T. Christen, M. Büttiker, PRL 77, 143 (1996)

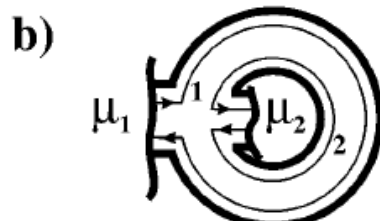
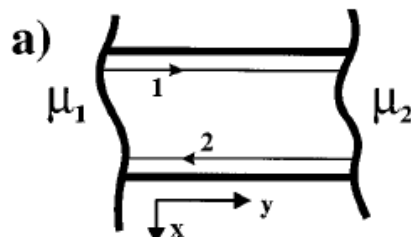
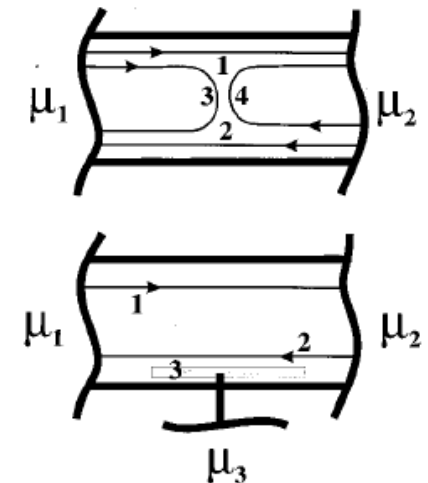
Relaxation Time of a Chiral Quantum R-L Circuit, J. Gabelli, et al., PRL98, 166806 (2007)

Admittance des conducteurs de Hall quantiques

$$A_{\alpha,\beta}(\omega) = G_{\alpha,\beta} + i\omega E_{\alpha,\beta} + o(\omega^2)$$

$$E_{\alpha,\beta} = e^2 \sum_{k=+,-} \left[\frac{dN_{\alpha k \beta}}{d\varepsilon} - \frac{dN_{\alpha k}}{d\varepsilon} u_{k,\beta} \right] ;$$

$$\delta U_k = \sum_{\beta} u_{k,\beta} \delta V_{\beta} ; \quad \frac{dN_{\alpha k}}{d\varepsilon} = \sum_{\beta} \frac{dN_{\alpha k \beta}}{d\varepsilon}$$



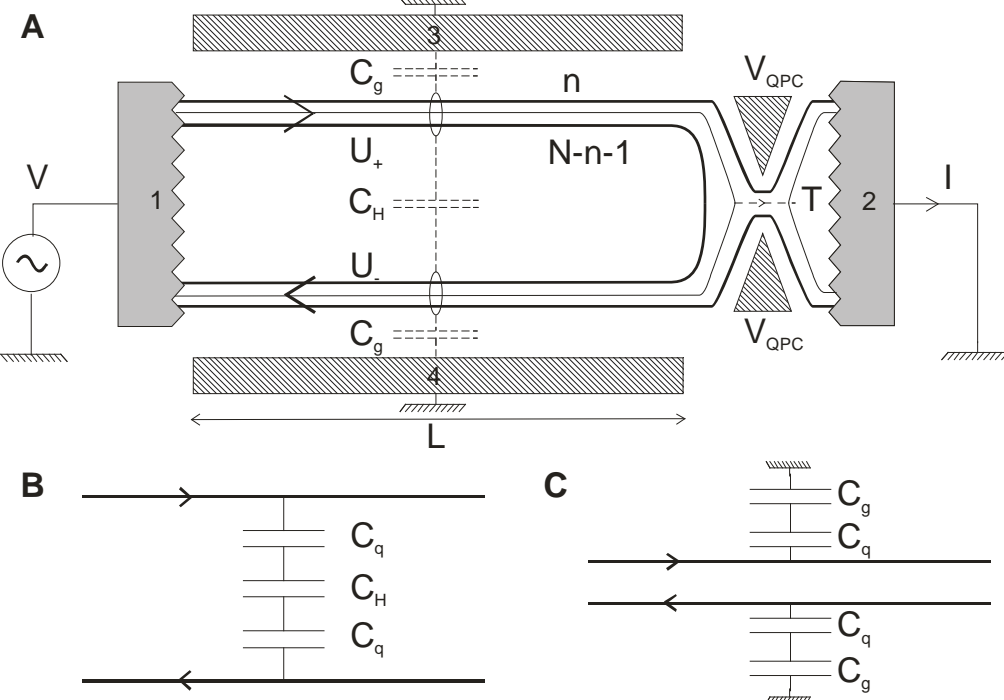
$$(a) \quad A_{1,2} = \frac{e^2}{h} - i\omega C_{\mu}$$

$$\left(C_{\mu}^{-1} = C_{geo}^{-1} + C_{Q+}^{-1} + C_{Q-}^{-1} \right)$$

$$(b) \quad A_{1,2} = 0 + i\omega C_{\mu}$$

Low-frequency admittance of quantized Hall conductors, T. Christen, M. Büttiker,, PRB53, 2064 (1996).

Barre de Hall + point quantiques (QHB+QPC)



$$\frac{dN_{1,\pm,1}}{d\varepsilon} = [(1-T) + N - (n-1)] \frac{C_Q}{e^2}$$

$$\frac{dN_{2,+1}}{d\varepsilon} = \frac{dN_{1,-2}}{d\varepsilon} = (T+n) \frac{C_Q}{e^2};$$

$$E_{21} = E_{12} = -C_{\mu g} \frac{(T+n)}{N} - \eta C_{\mu H} \frac{(T+n)^2}{N^2}$$

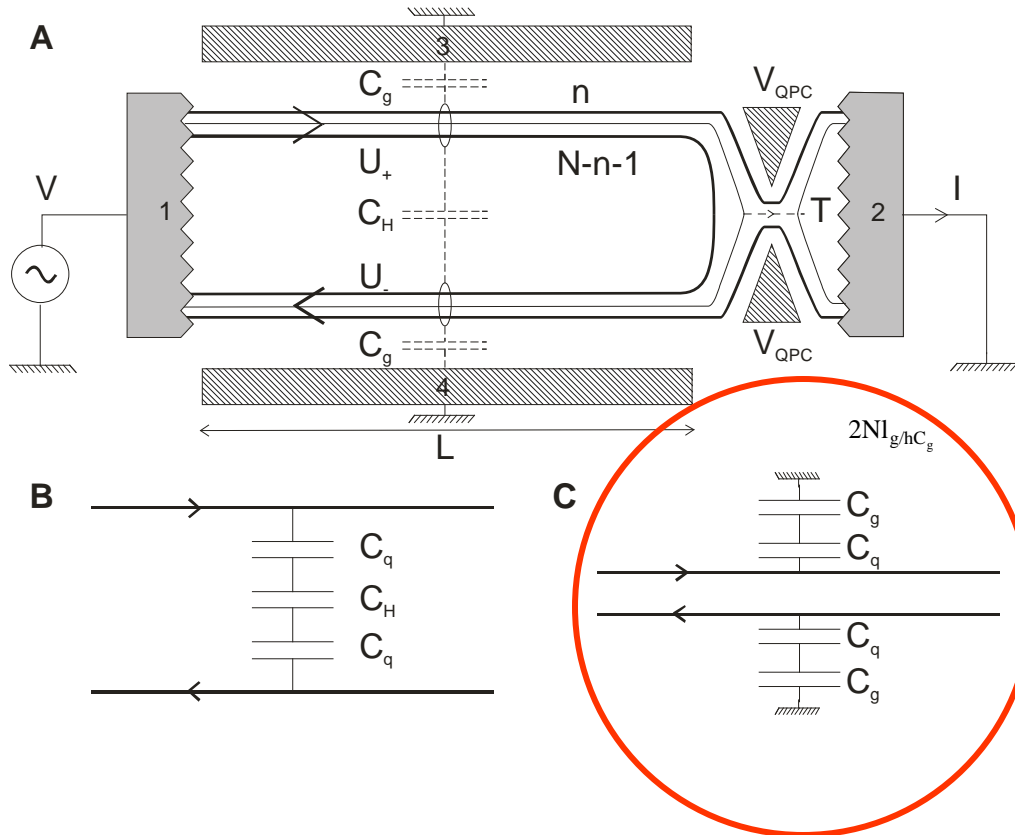
$$C_{\mu g} = \frac{NC_Q C_g}{C_g + NC_Q} ; \quad C_{\mu H} = \frac{NC_Q C_H}{2C_H + NC_Q}$$

$$\eta = \frac{1}{1 + C_g / NC_Q} \quad \frac{1}{1 + C_g / (2C_H + NC_Q)}$$

Relaxation Time of a Chiral Quantum R-L Circuit, J. Gabelli, et MESO, PRL98, 166806 (2007)

Cas chiral ($C_H \ll C_g \leq C_Q$)

Relaxation Time of a Chiral Quantum R-L Circuit, J. Gabelli, et al MESO, PRL98, 166806 (2007)

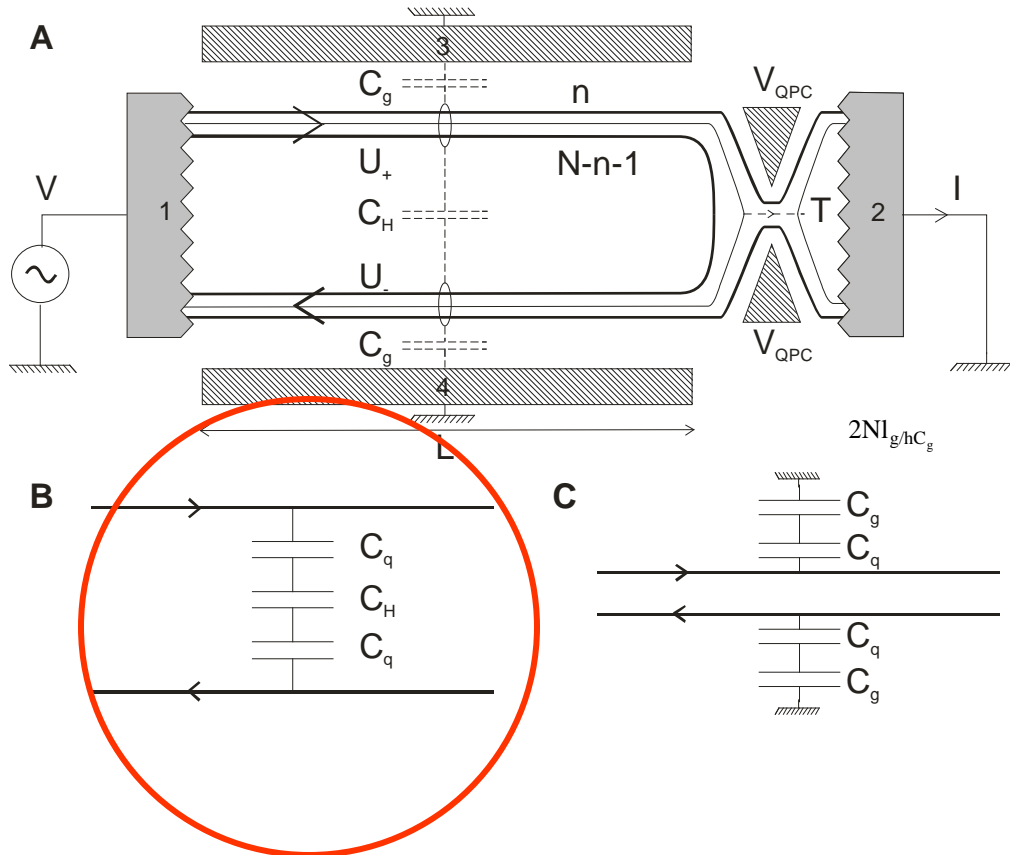


$$\begin{aligned}
 E &\approx -C_{\mu g} \frac{(T+n)}{N} \propto G \\
 A &\approx G(1-i\omega\tau) \\
 &= (n+T) \frac{e^2}{h} \left(1 - i\omega \frac{h}{e^2} \frac{C_{\mu g}}{N} \right) \\
 \tau &= \frac{l_g}{v_D + 2Nl_g/hC_g} = Cte
 \end{aligned}$$

Chiral : temps de relaxation indépendant de la résistance !!!

Cas non chiral ($C_g \ll C_g \leq C_H$) : fil quantique

Relaxation Time of a Chiral Quantum R-L Circuit, J. Gabelli, et al MESO, PRL98, 166806 (2007)



$$E \approx -C_{\mu H} \left(\frac{(T+n)}{N} \right)^2$$

$$G = (n+T) \frac{e^2}{h}$$

$$A \approx G(1 - i\omega\tau)$$

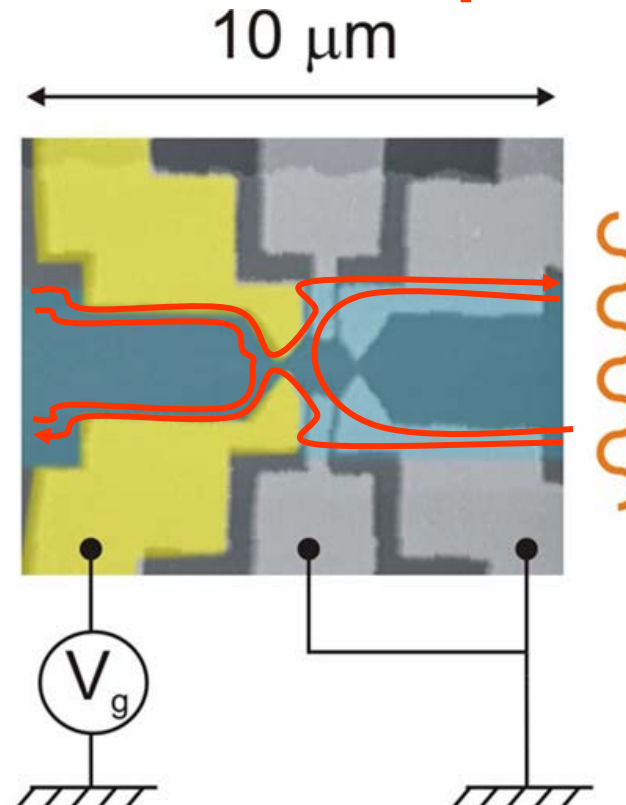
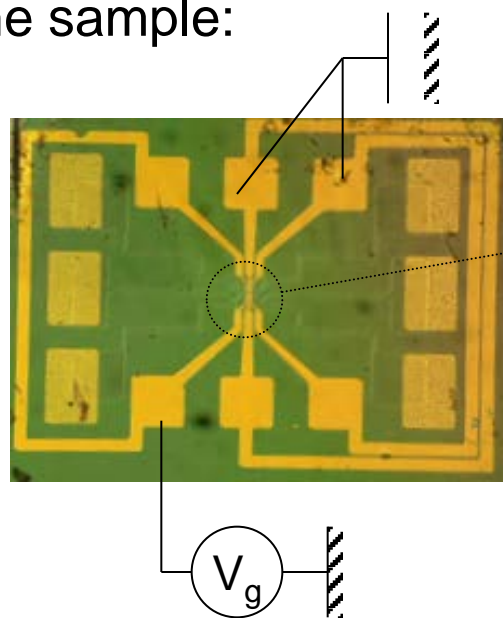
$$\tau = G \frac{h^2}{e^4} C_{\mu H} = GL_{\mu}$$

$$L_{\mu} = \frac{h^2}{e^4} \frac{C_{\mu H}}{N^2}$$

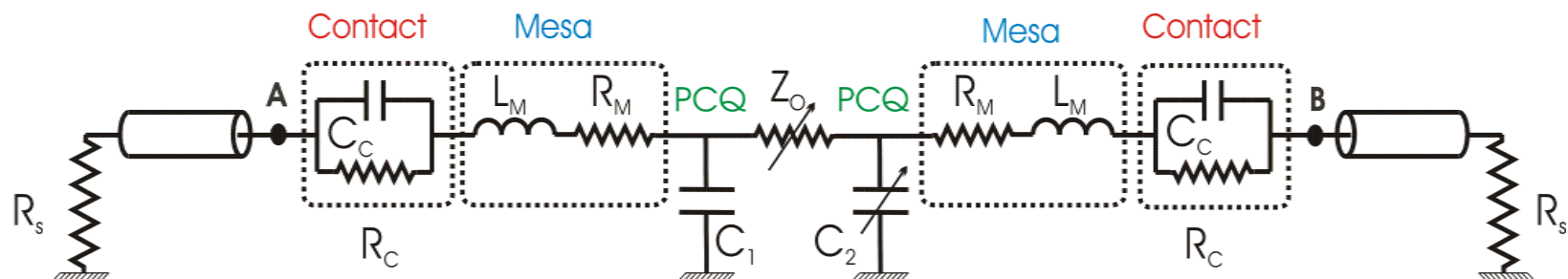
Classique : Inductance électrochimique série avec la résistance

Admittance au premier ordre en fréquence

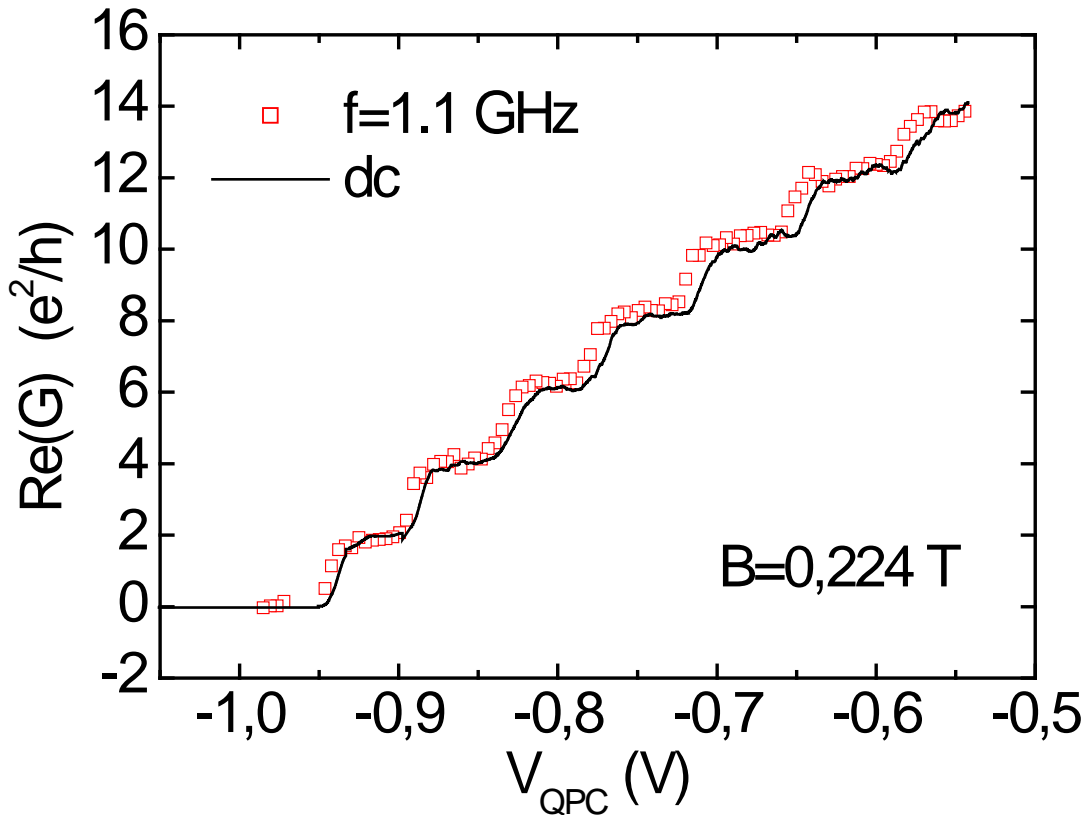
- The sample:



- The r.f. circuit:



Conductance haute fréquence du point quantique



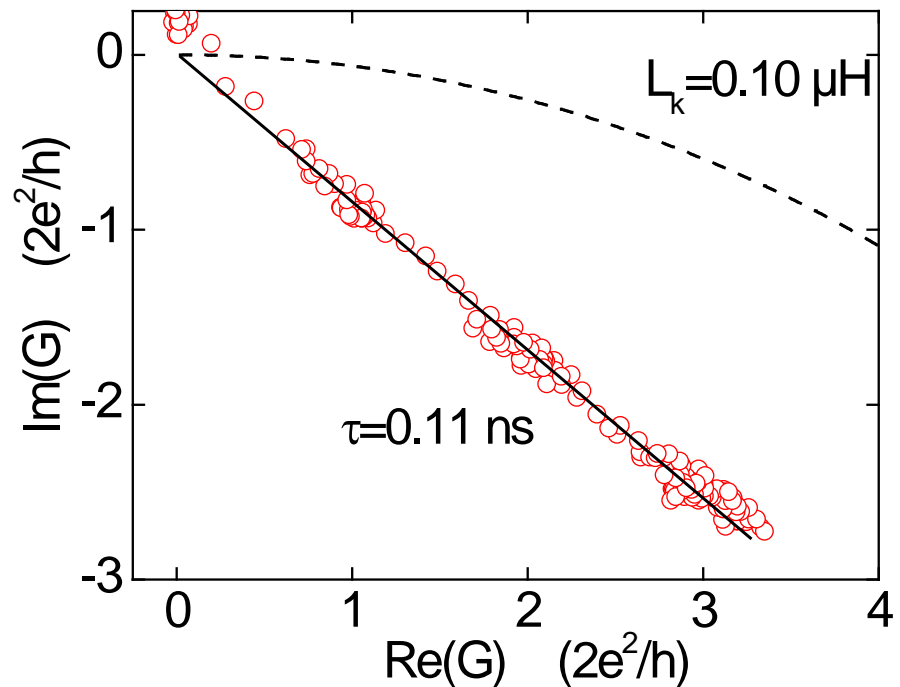
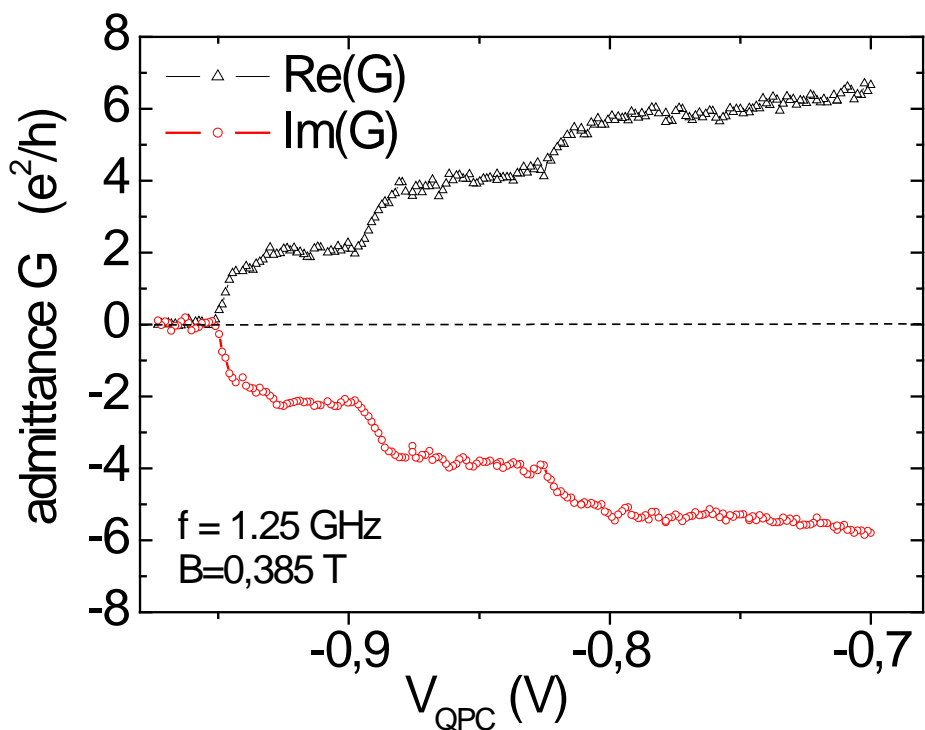
$$\text{Re}(A) = G(\omega) \approx G(0)$$



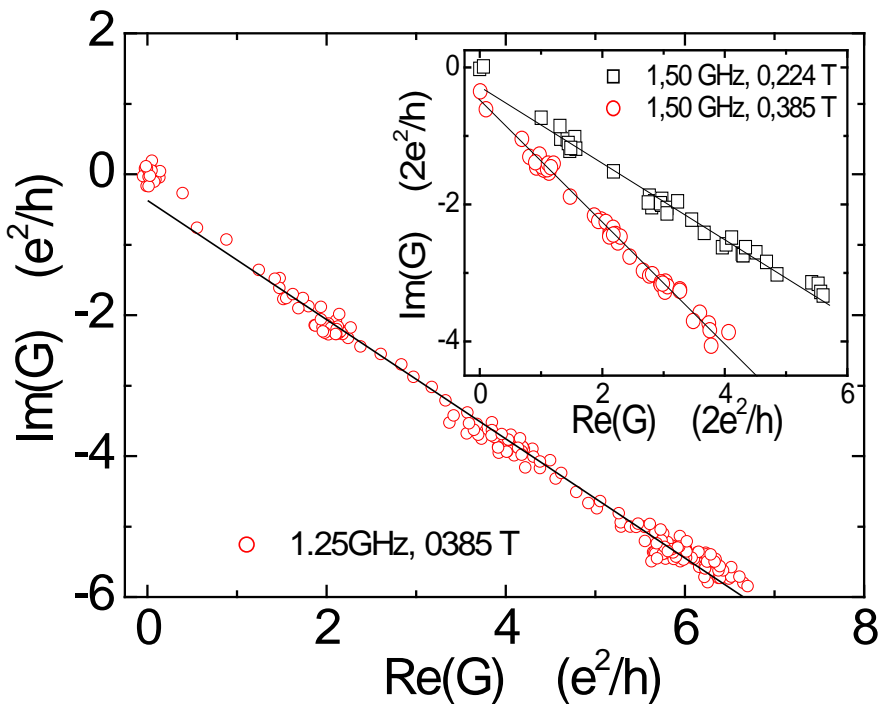
Régime basse fréquence : transmission indépendante de f

Partie imaginaire de l'admittance : l'émittance d'une barre de Hall

$$A = G + j\omega E = G(1 + j\omega\tau)$$



Une mesure indirecte de la vitesse de dérive



$$\tau = \frac{L_g}{v_D} \propto B$$

$$v_D = \frac{E_{\text{bord}}}{B} = \frac{n_s e}{\epsilon B} \approx 10^5 \text{ m/s}$$

L'admittance mesure des temps monoélectroniques !!!

capacité d'un contact ponctuel ?

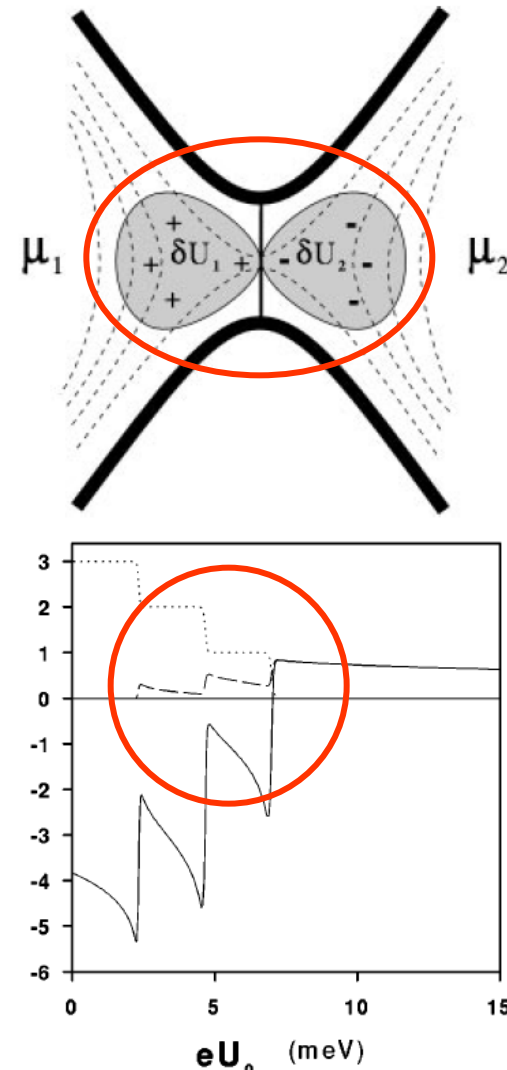
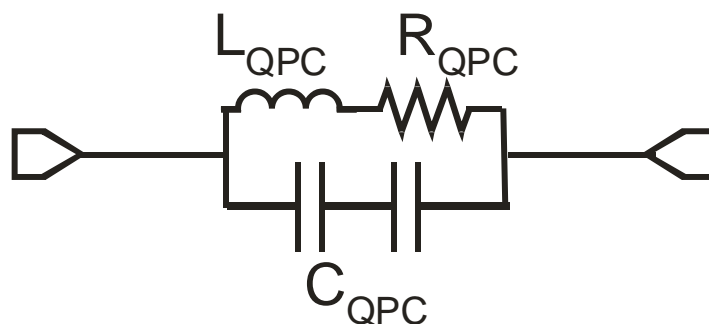
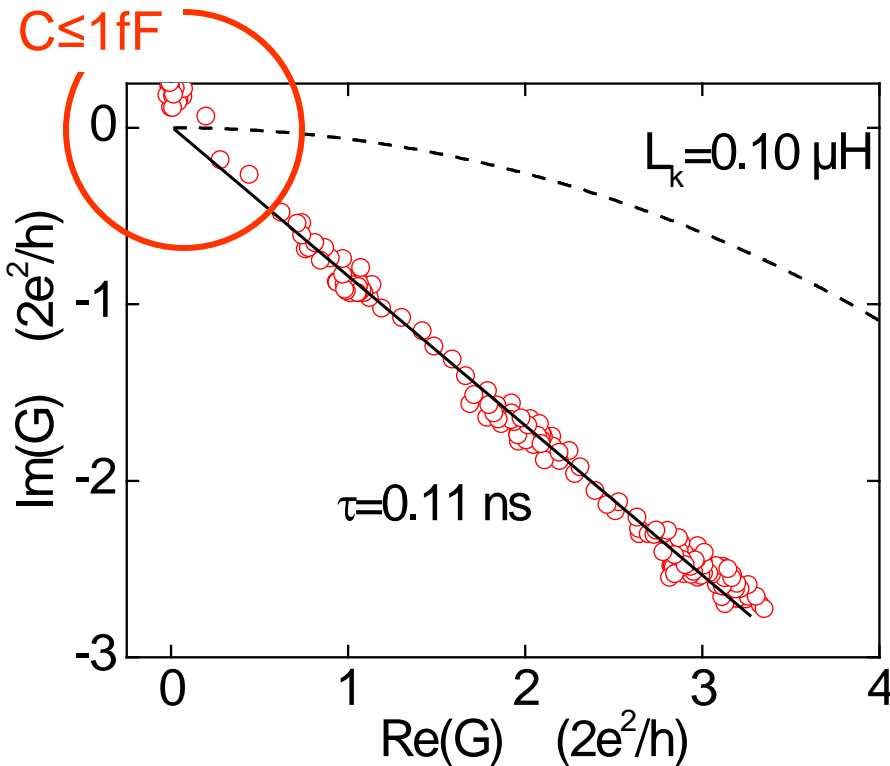
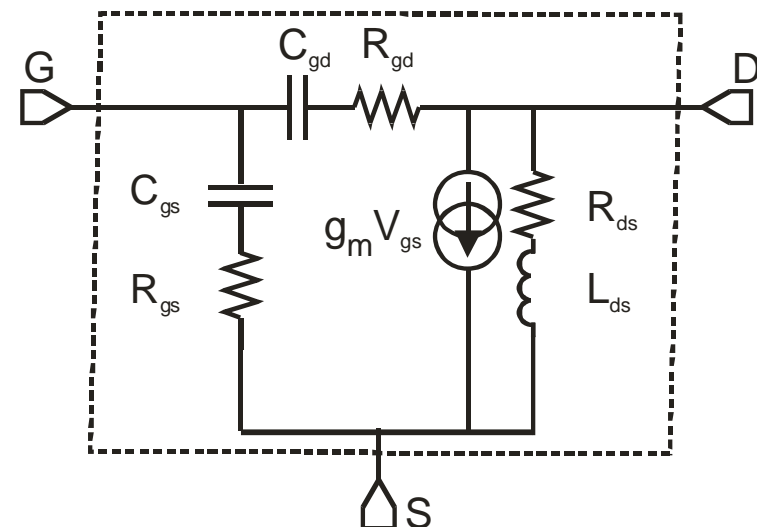
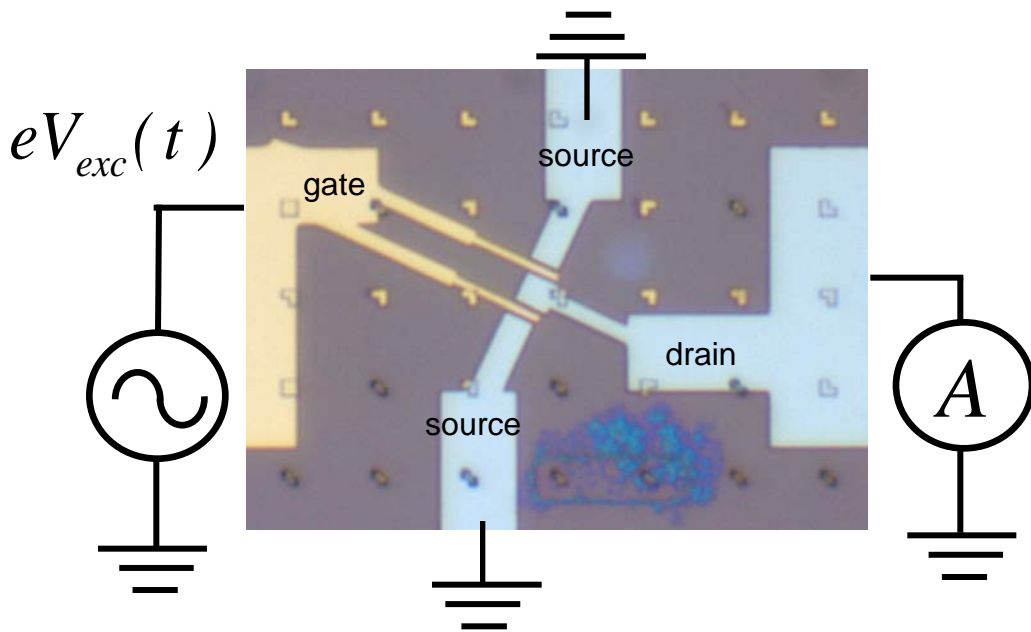
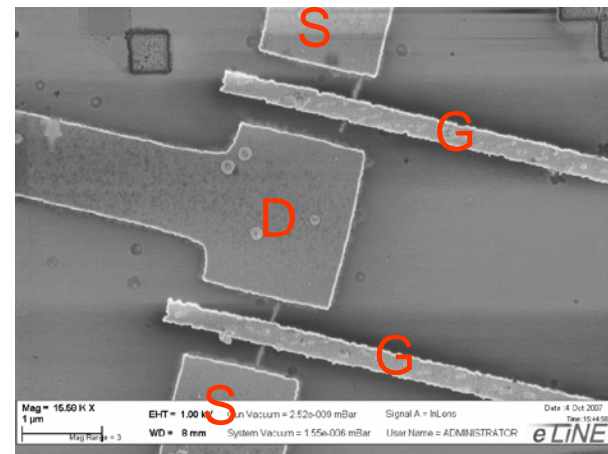
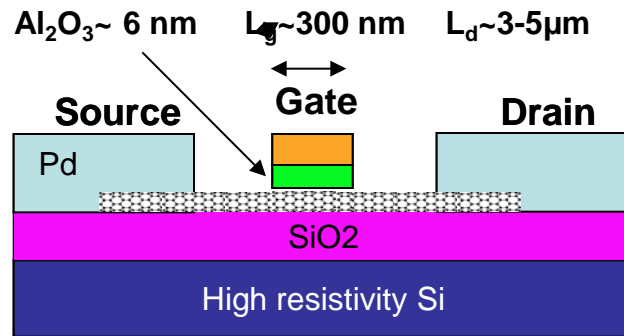


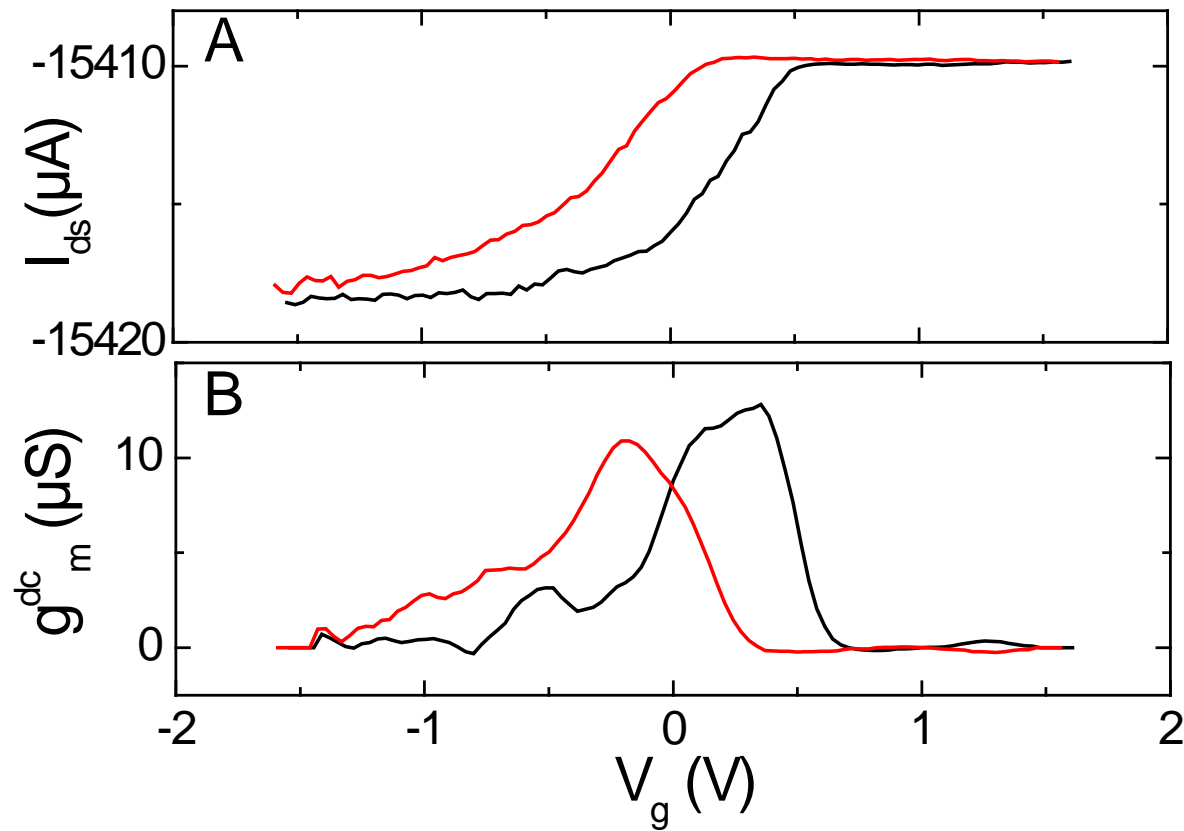
FIG. 2. Dependence of the conductance (in units $2e^2/h$; dotted curve), capacitance, and emittance (in units of fF; dashed and full curves, respectively) on the barrier height eU_0 for a quantum point contact with three relevant channels (see Fig. 1).

Fréquence de transit d'un nano-transistor mésoscopique

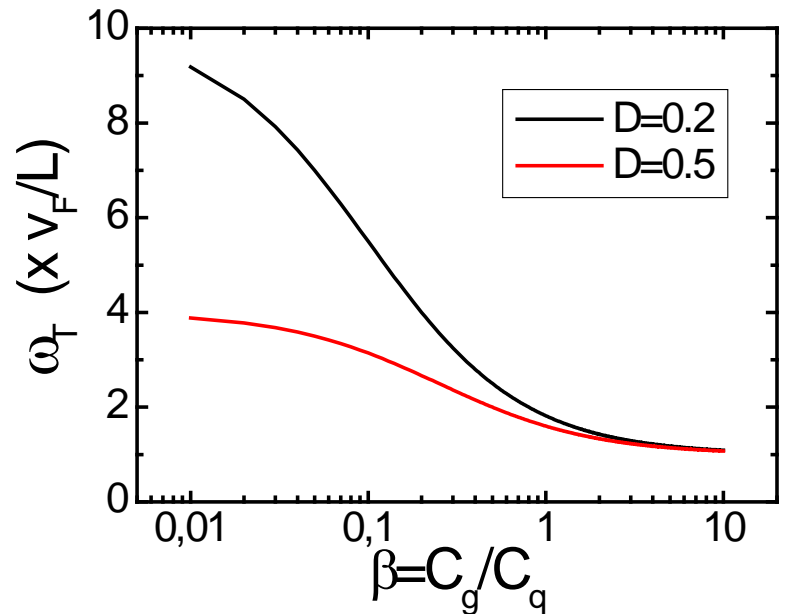
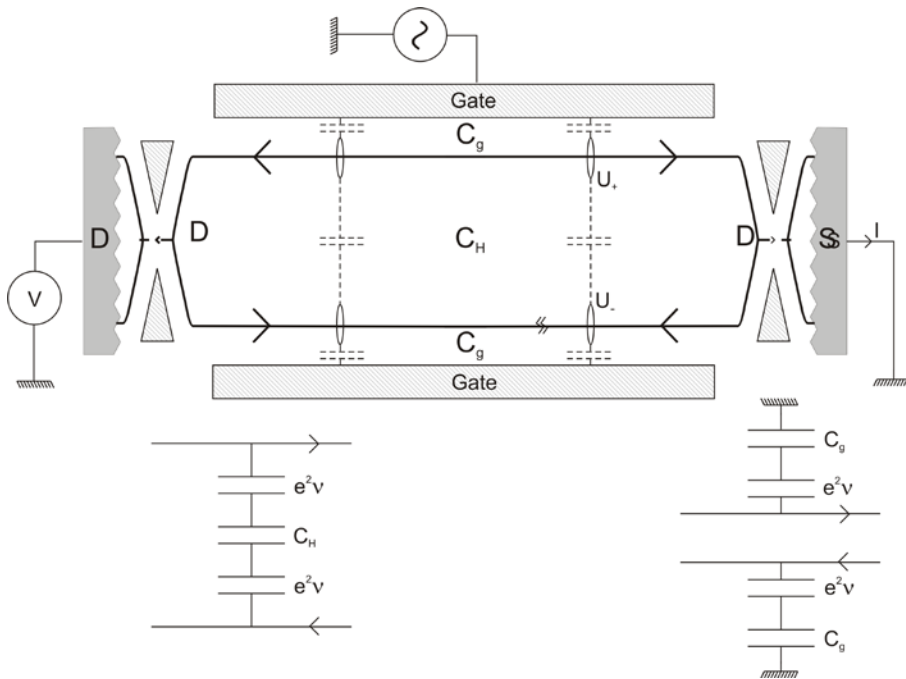
transistor mésoscopique à nanotube unique



Caractéristiques dc des transistors



Dynamique du nanotransistor (basse énergie)

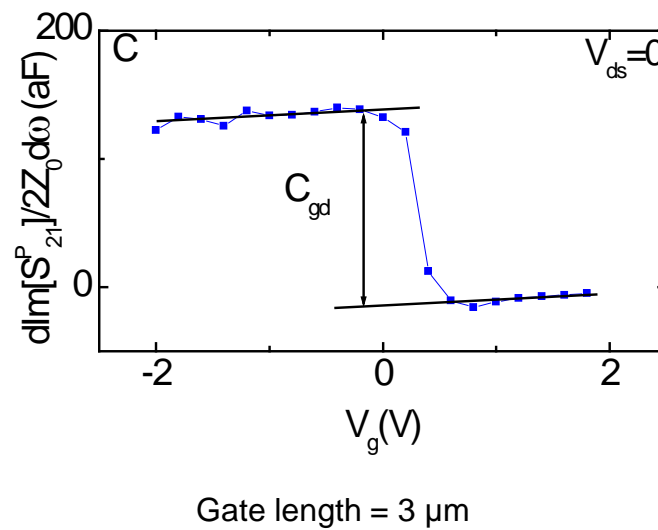
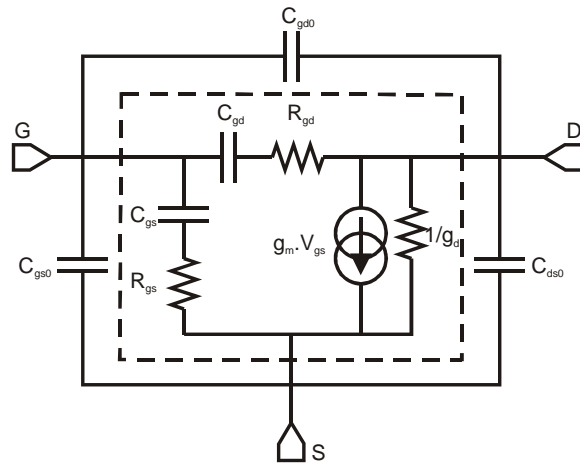
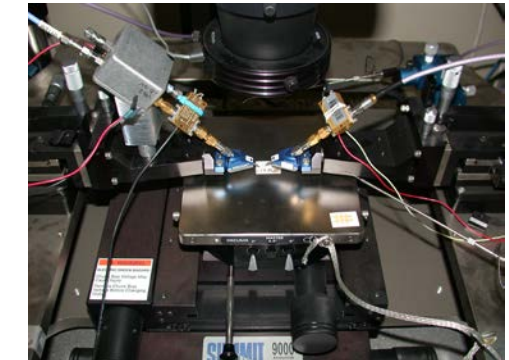
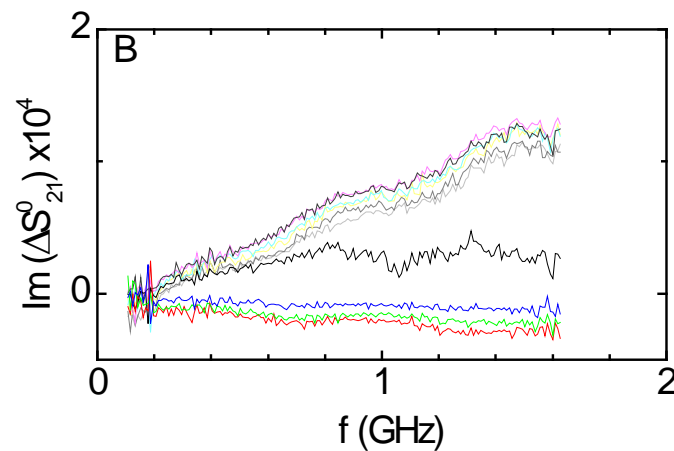
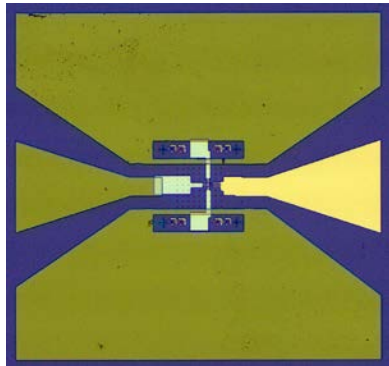


$$E = -C_{\mu g} \frac{(T+n)}{N} - \eta C_{\mu H} \frac{(T+n)^2}{N^2} ; \quad C_{\mu g} = \frac{NC_Q C_g}{C_g + NC_Q} ; \quad C_{\mu H} = \frac{NC_Q C_H}{2C_H + NC_Q} ; \quad \eta = \dots$$

$$(N=4, n=3T \text{ et } C_H \rightarrow \infty) ; \quad \tau = \omega_T^{-1} = \frac{E}{G} \approx \frac{L}{v_F} \times \left[\frac{D/2 + \beta}{1 + \beta} \right]$$

Mesure d'admittance grille-drain et capacité de grille

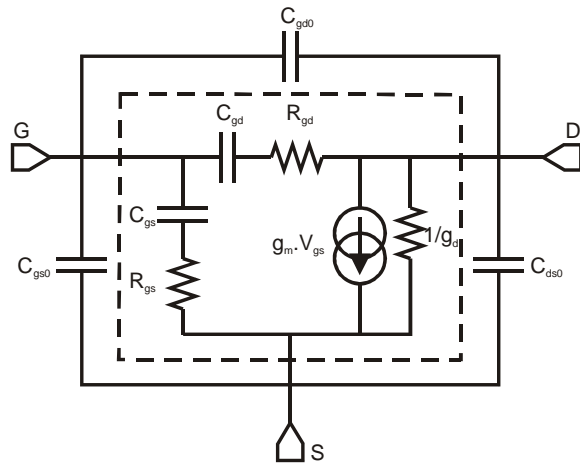
J. Chaste et al MESO, Nanoletters 8 525 (2008)



$$S_{21} \approx \frac{2Z_0 j\omega C_{gd}}{1 + j\omega R_{gd} C_{gd}}$$

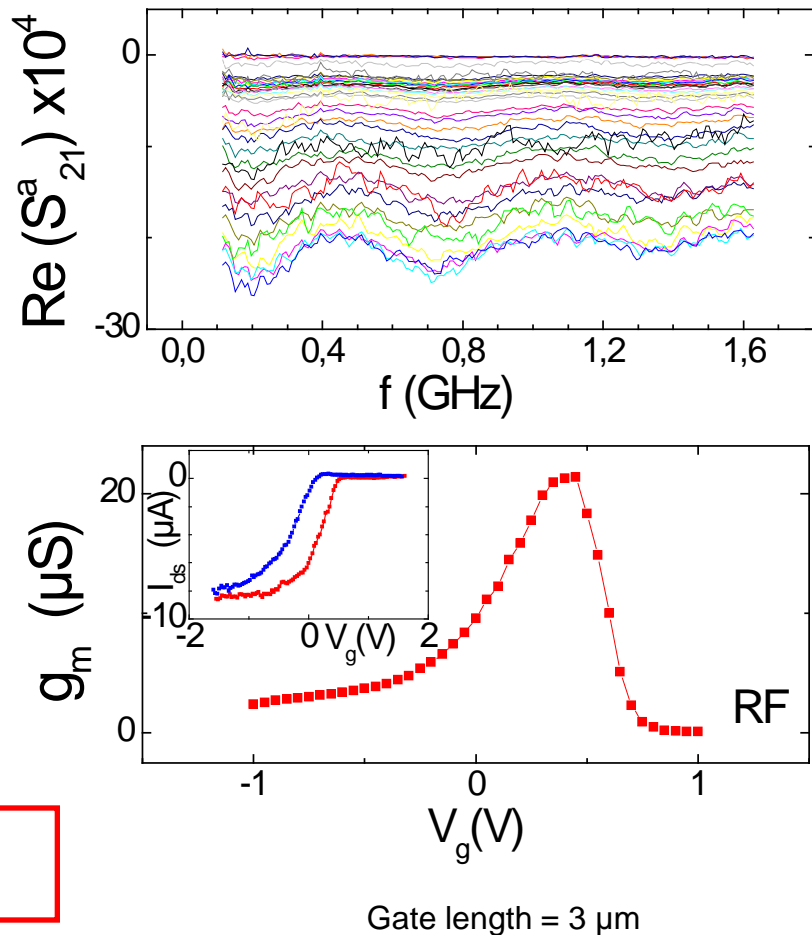
gain du transistor polarisé : transconductance

J. Chaste et al *MESO*, *Nanoletters* 8 525 (2008)



$$S_{21} \approx \frac{2g_m Z_0}{1 + j\omega / \omega_T}$$

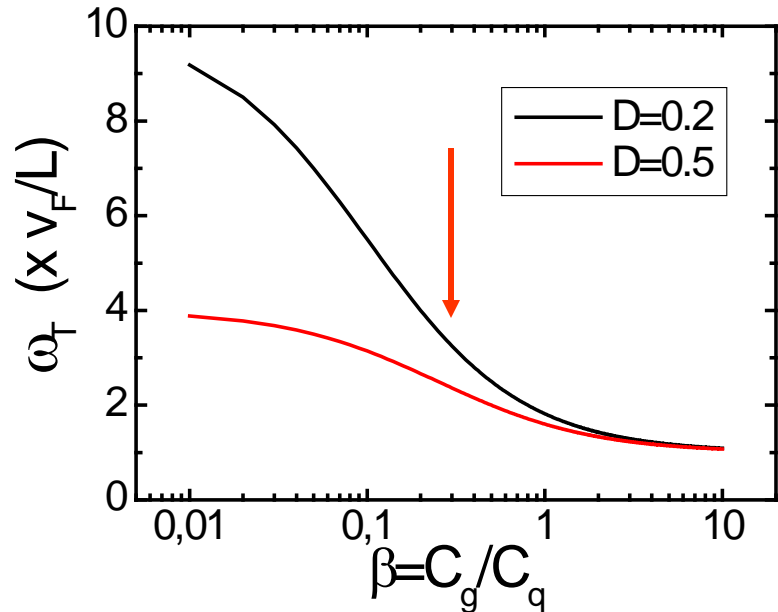
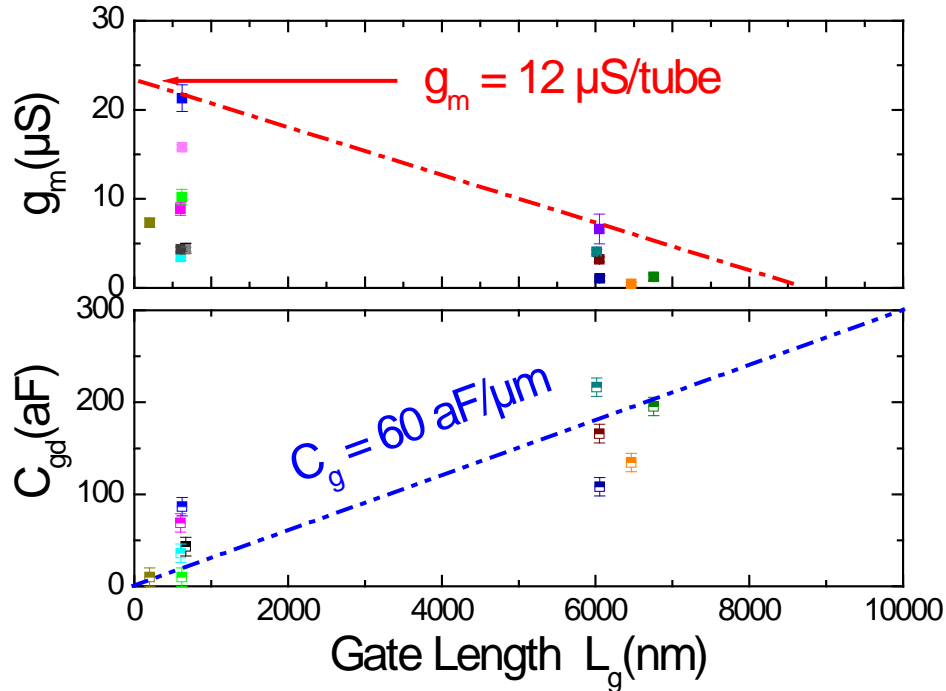
Fréquence de coupure $\gg 1\text{GHz}$



Gate length = 3 μm

Estimation de la fréquence de transit

J. Chaste et al MESO, Nanoletters 8 525 (2008)



$$\beta = \frac{C_g}{C_Q} \approx \frac{60}{200} = 0.3 \quad ; \quad D \approx 0.1$$

$$\omega_T = \frac{g_m}{2C_{gd}} \approx 2\pi \times 50\text{GHz} \quad ; \quad \frac{v_D}{L_g} \approx \frac{qqs10^5}{3 \times 10^{-7}} = qqs \times 2\pi \times 50\text{GHz}$$

Plan du cours

A. Introduction à la dynamique mésoscopique

1. Introduction
2. Apport des hautes fréquences
3. Mesurables

B. Techniques expérimentales

1. Paramètres de diffusion
2. Montages de mesure de signaux rf faibles

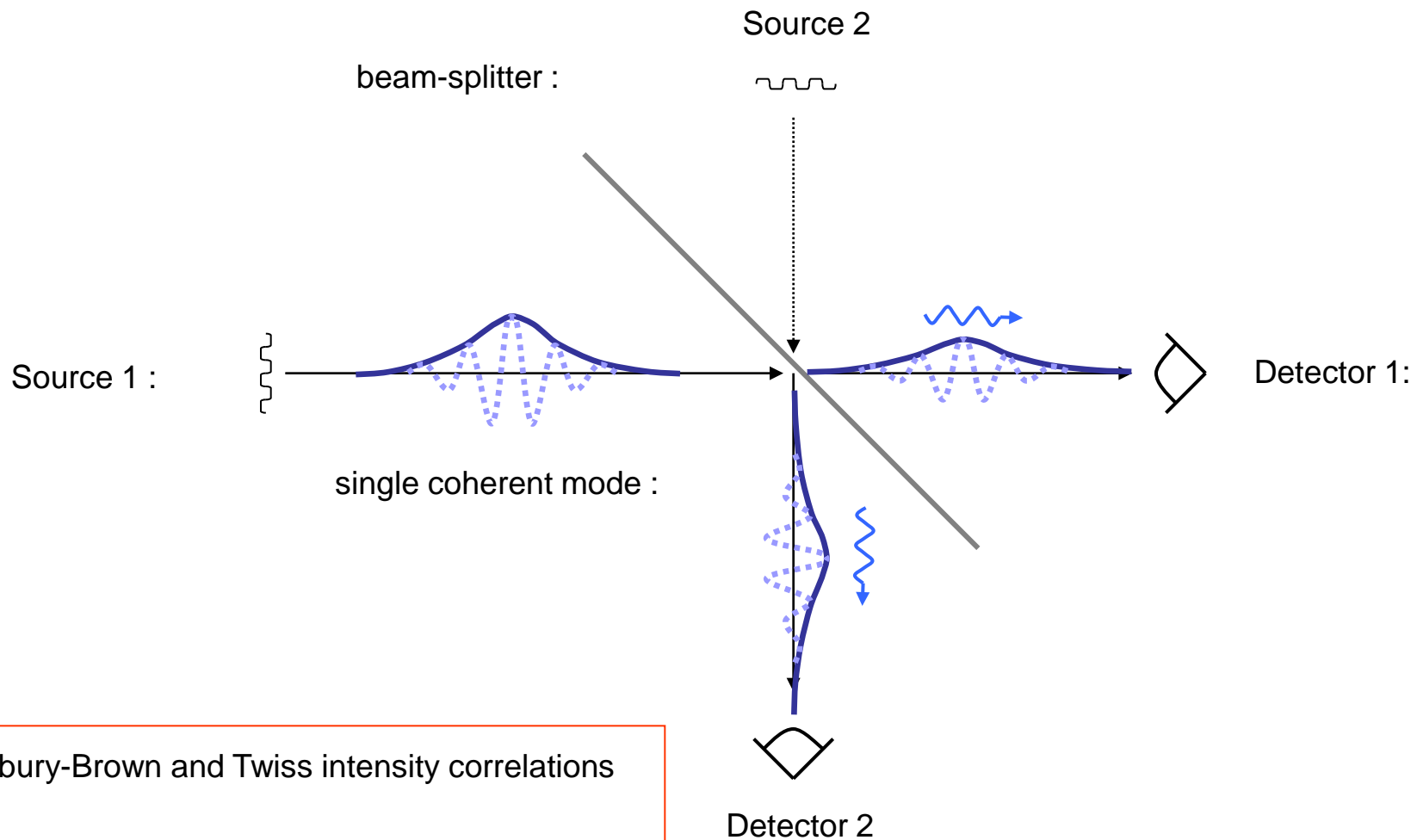
C. Admittance de conducteurs quantiques

1. Relaxation de charge d'une capacité mésoscopiques
2. Inductance mésoscopique d'une barre de Hall
3. Dynamique de transistors à nanotube de carbone

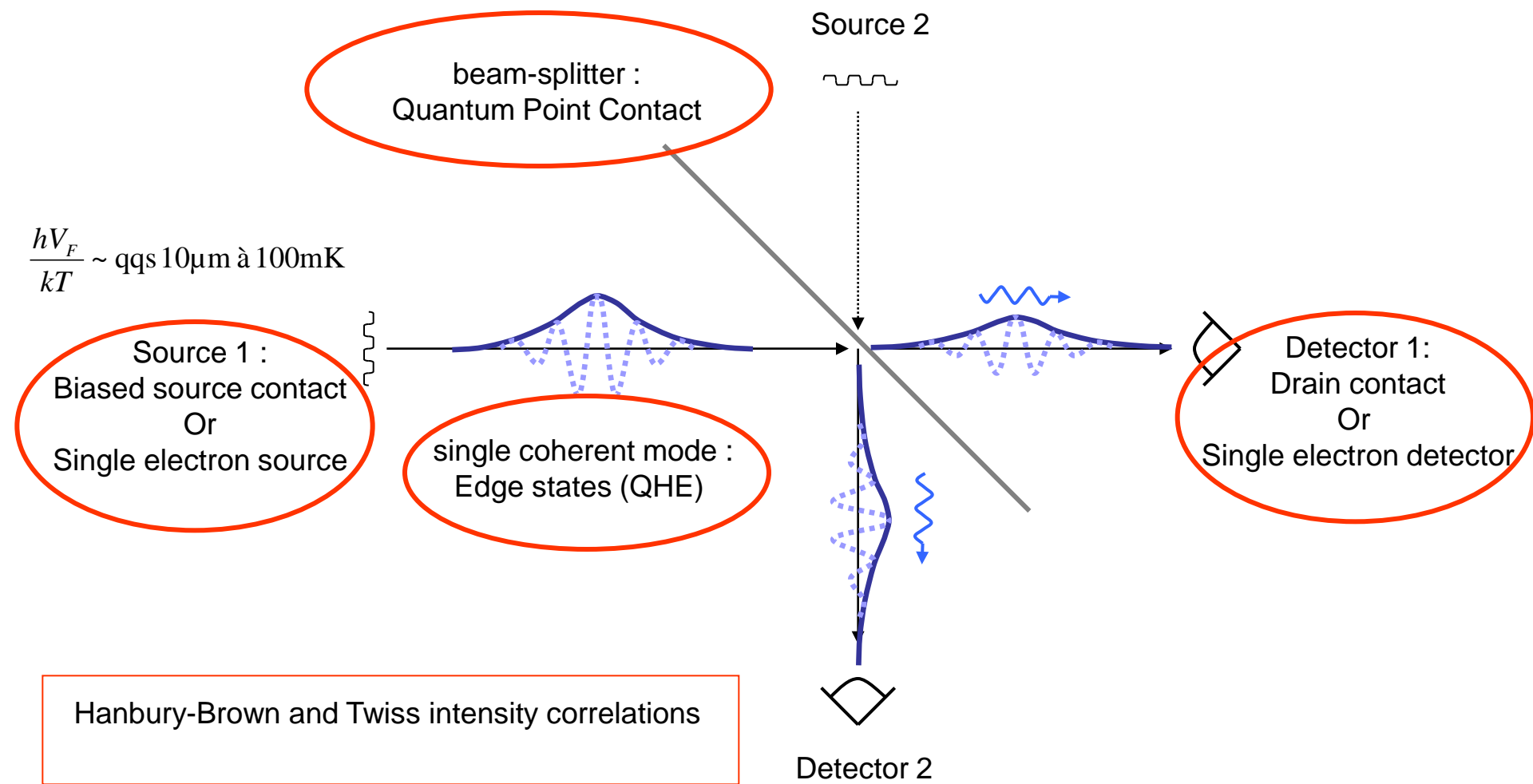
D. Manipuler des électrons uniques

1. Injection d'électrons uniques
2. Vers la détection d'électrons volants

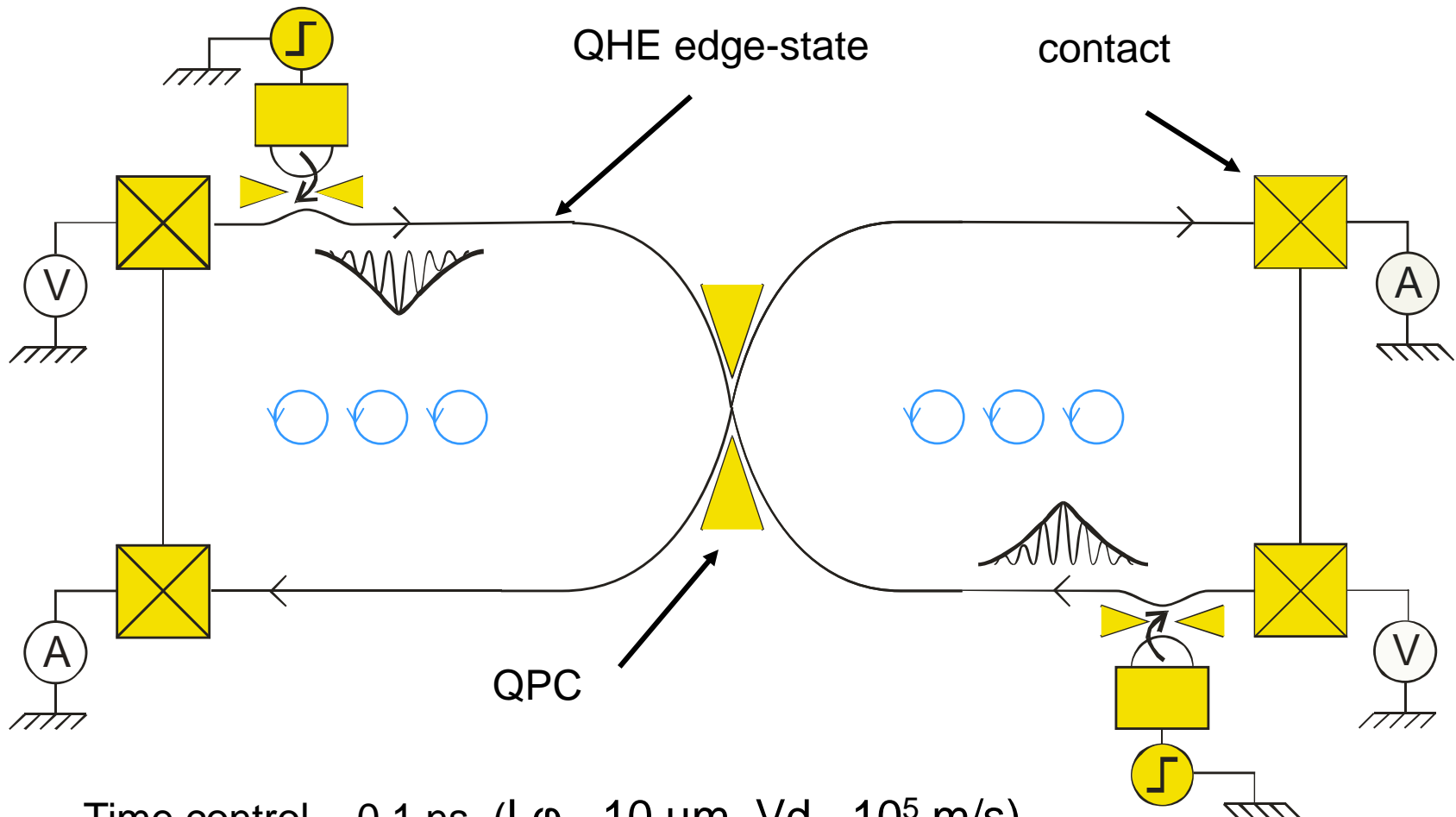
Motivation : electronic analogs of quantum optics



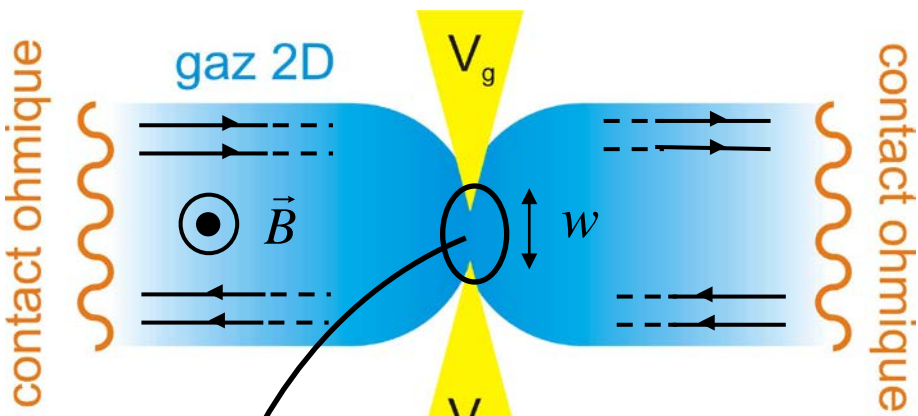
Electronic analog of quantum optics : QHE in 2DEGs



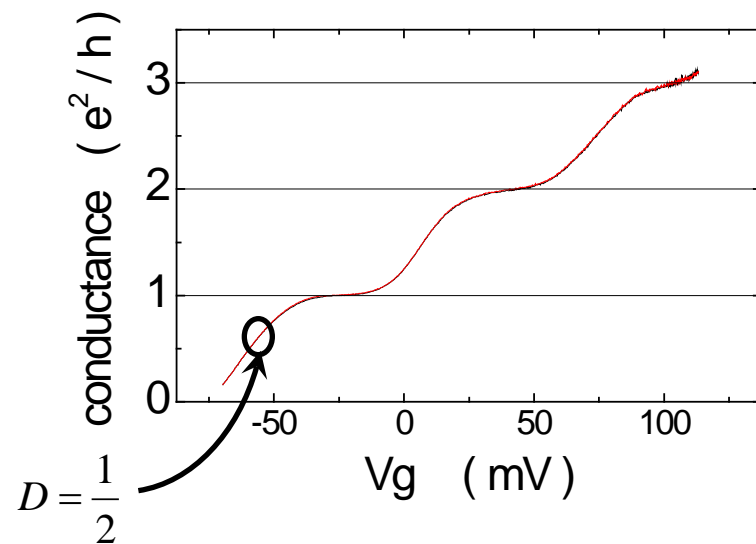
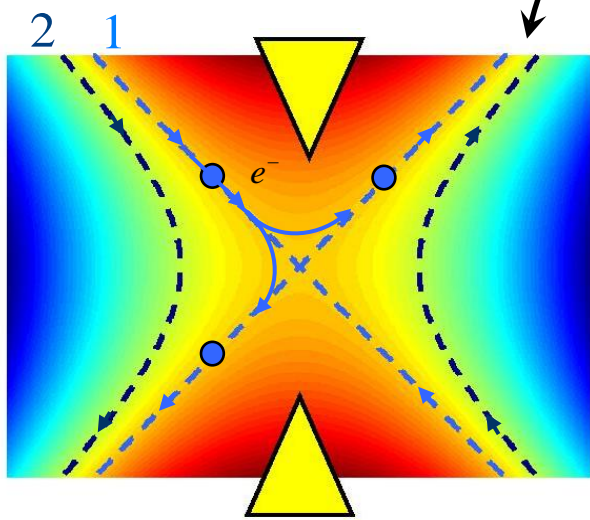
Collisions à deux électrons

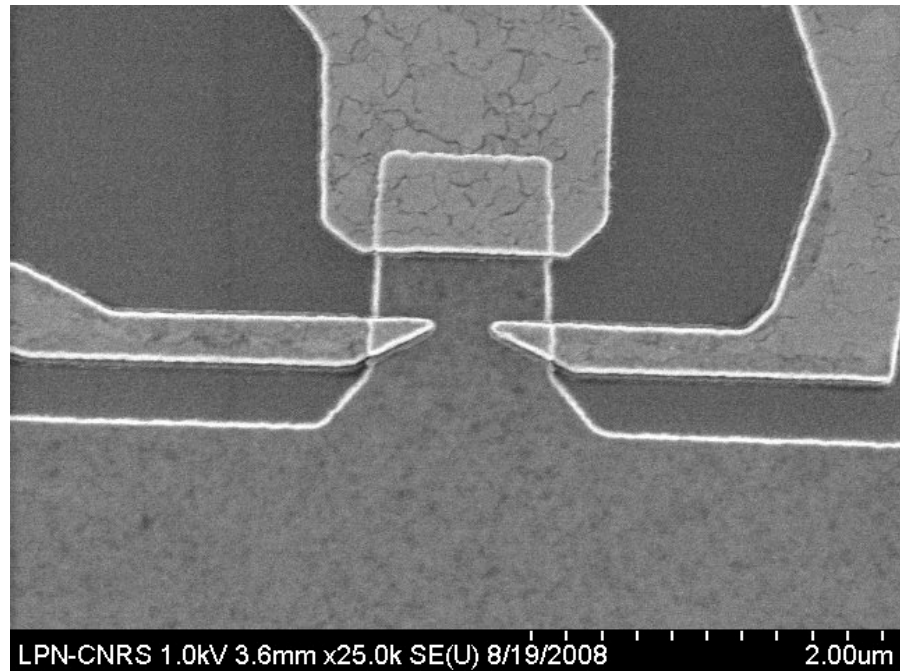


La lame séparatrice (beam splitter)

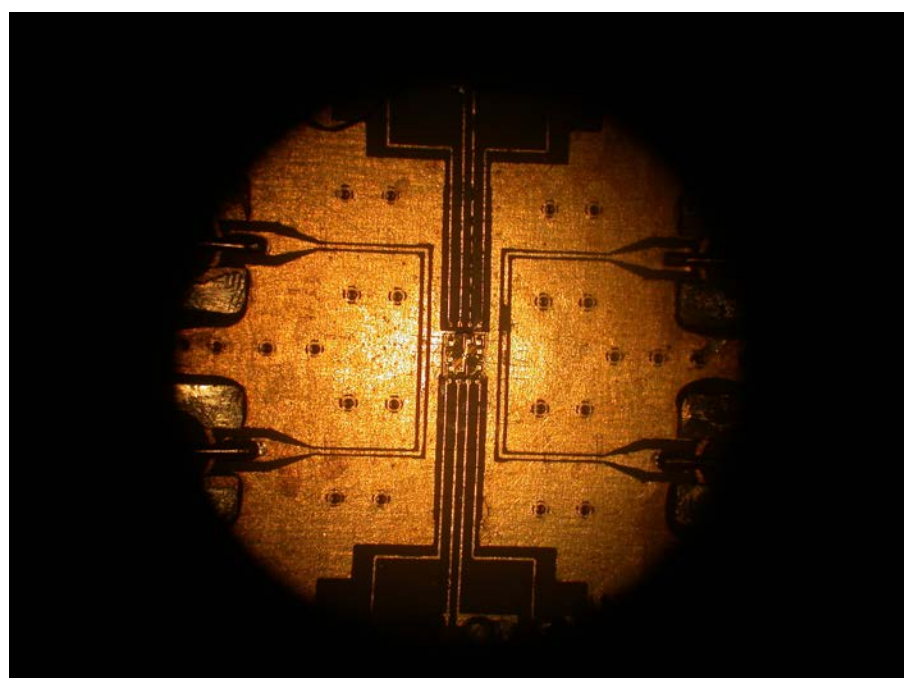
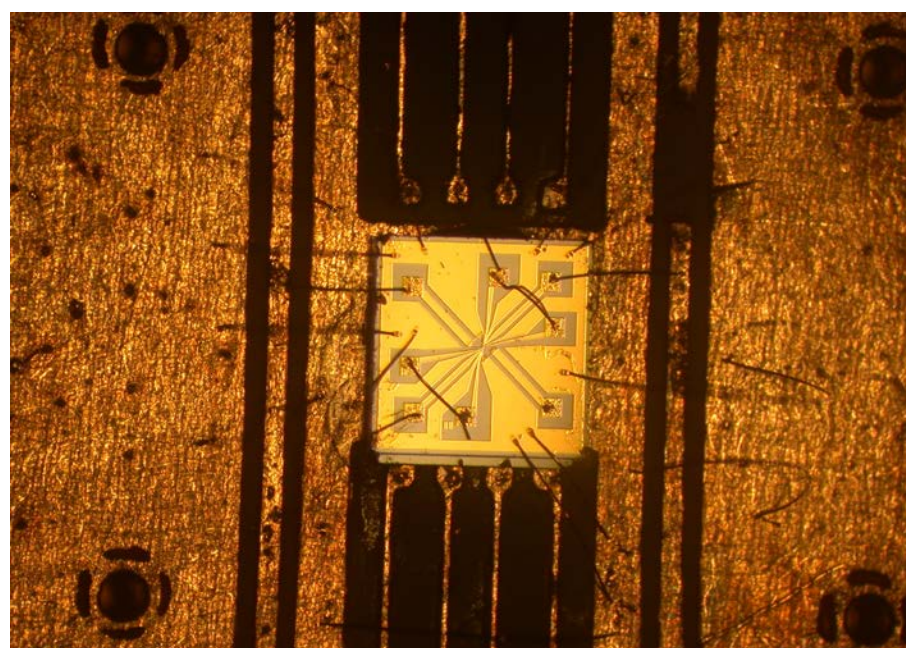
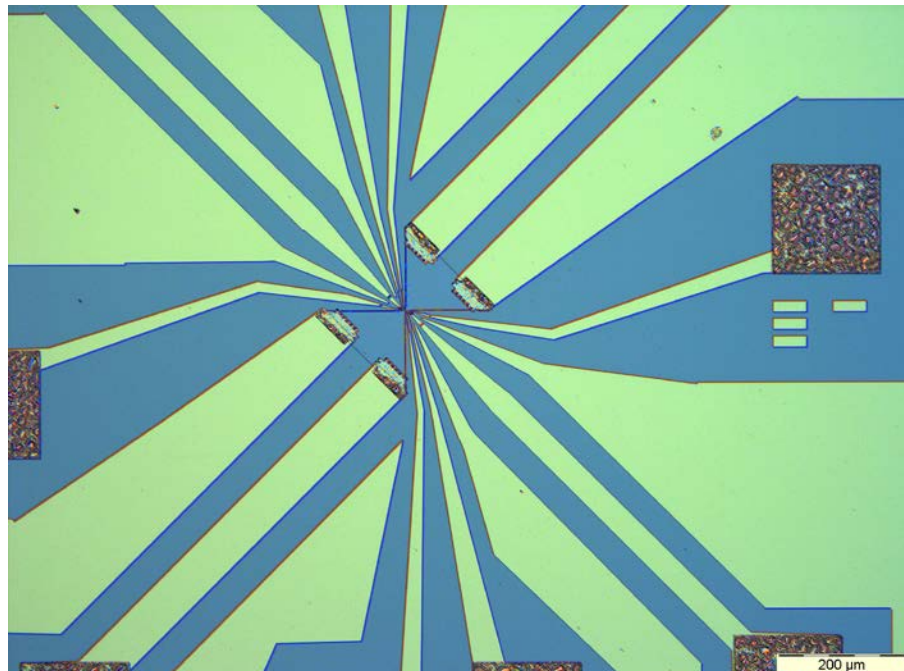


états de bord = équipotentielles





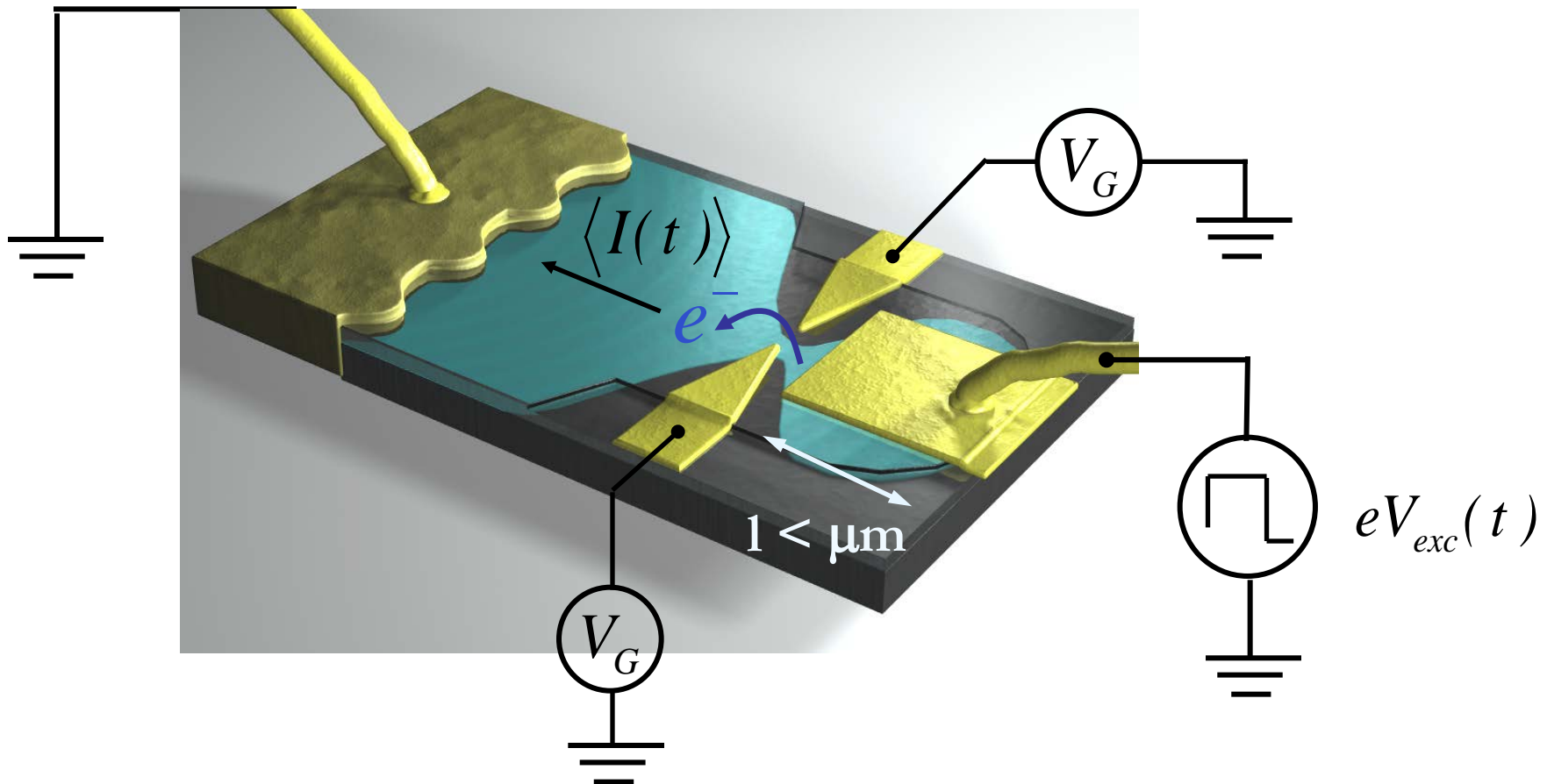
LPN-CNRS 1.0kV 3.6mm x25.0k SE(U) 8/19/2008



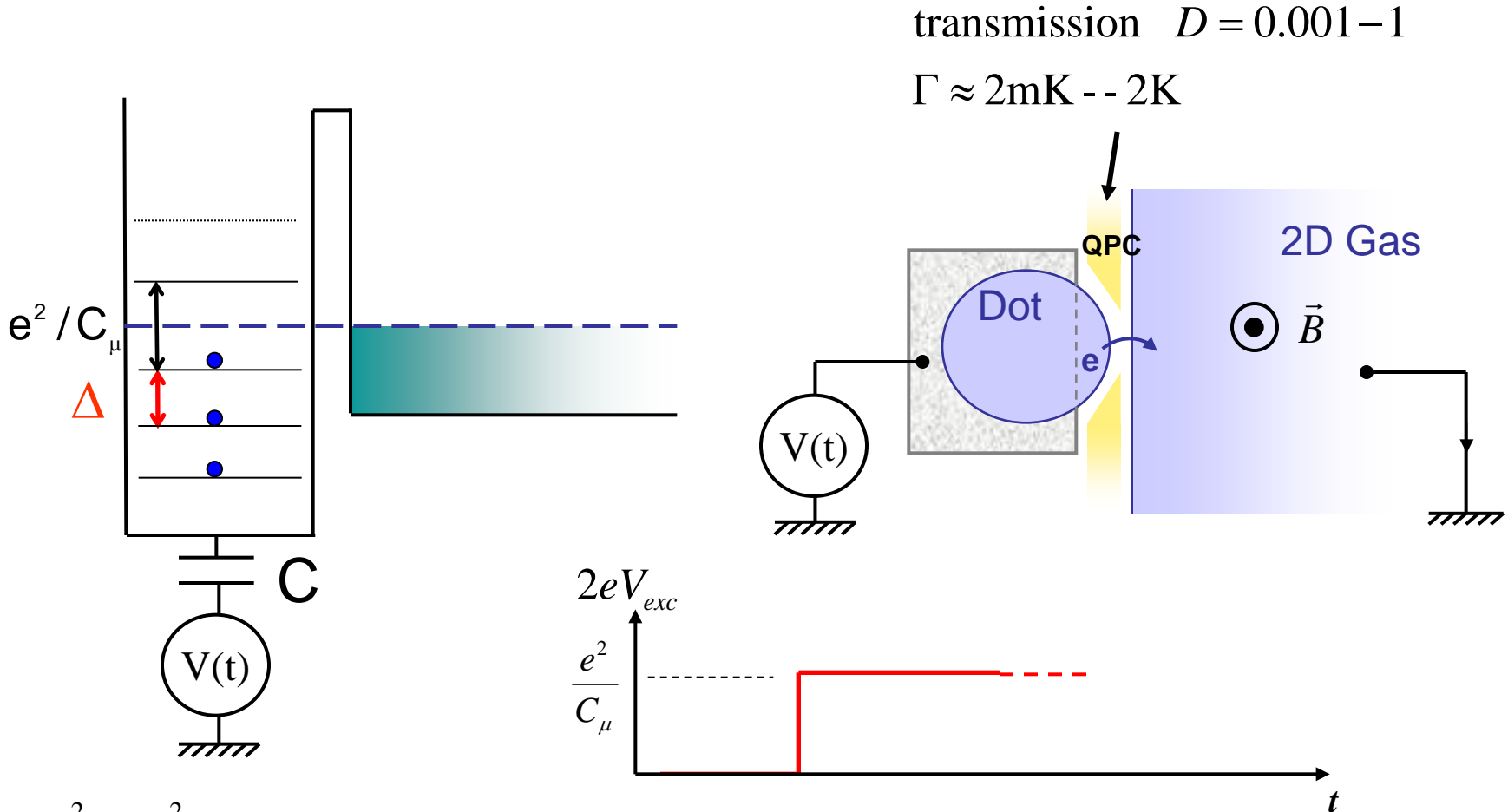
Injection d'électrons uniques

the single electron source

G. Fève thesis, <http://tel.archives-ouvertes.fr/tel-00119589/fr>

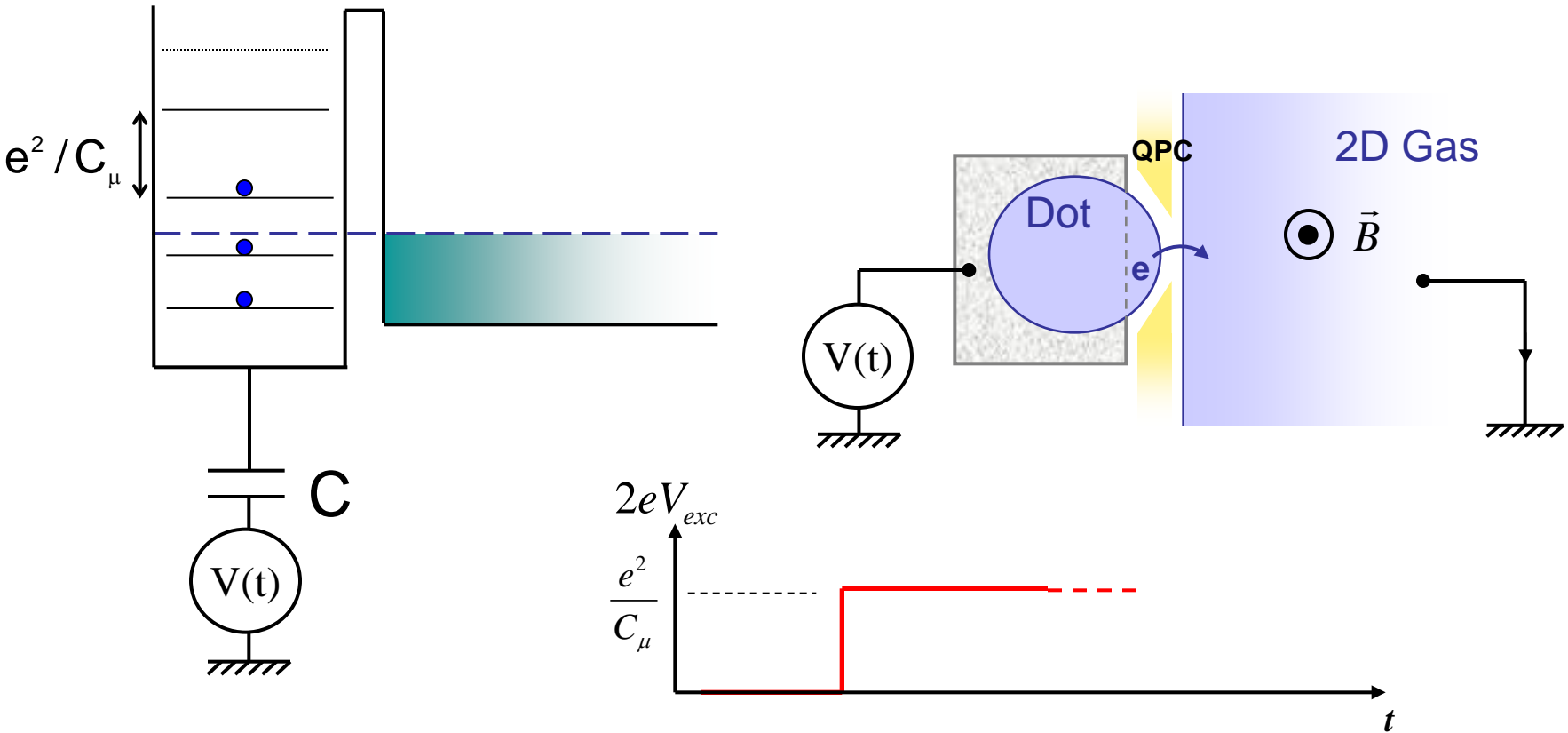


Principle of single electron injection

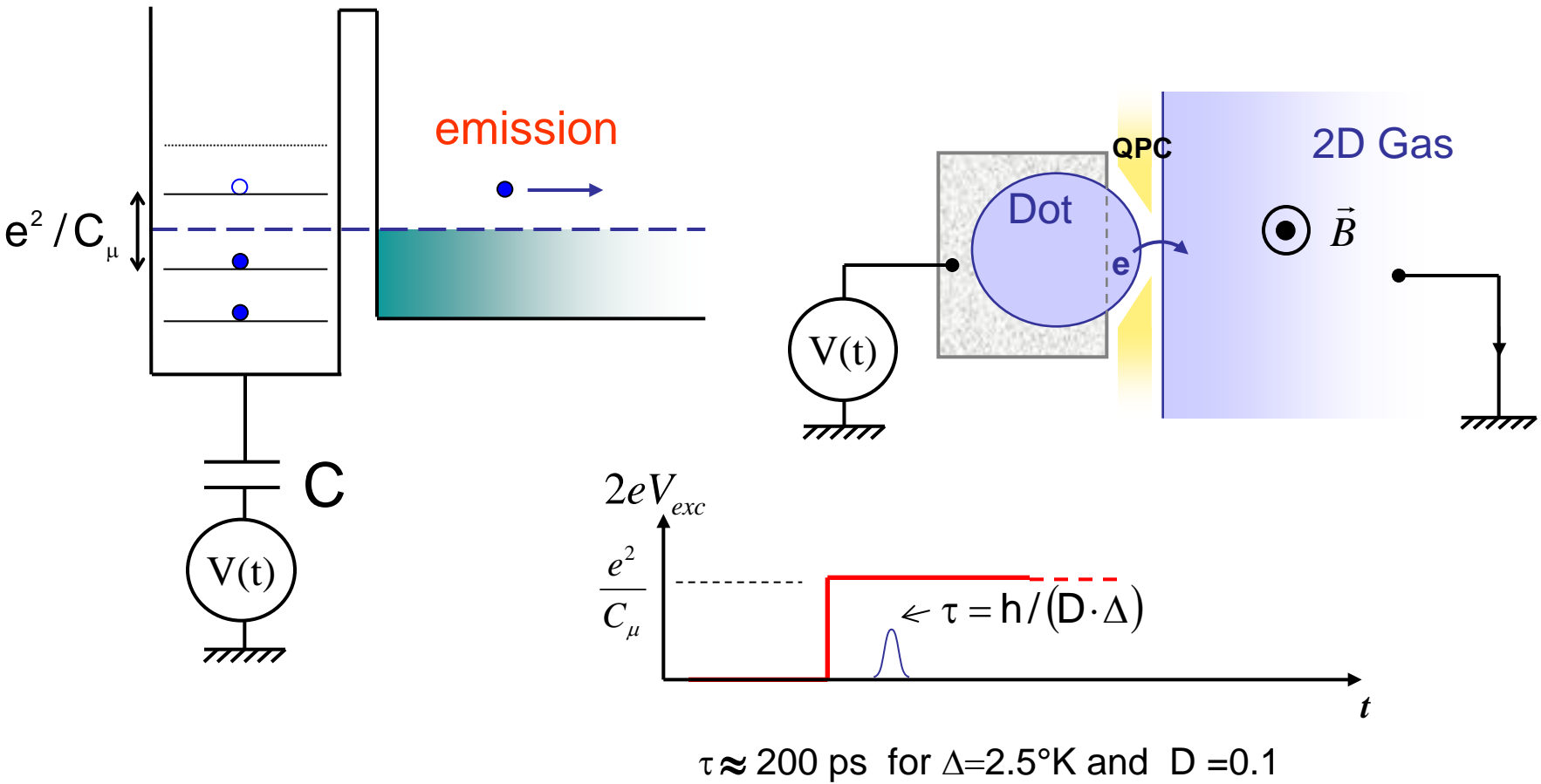


$$\frac{e^2}{C_\mu} = \frac{e^2}{C} + \Delta \quad (\approx 2.5\text{K})$$

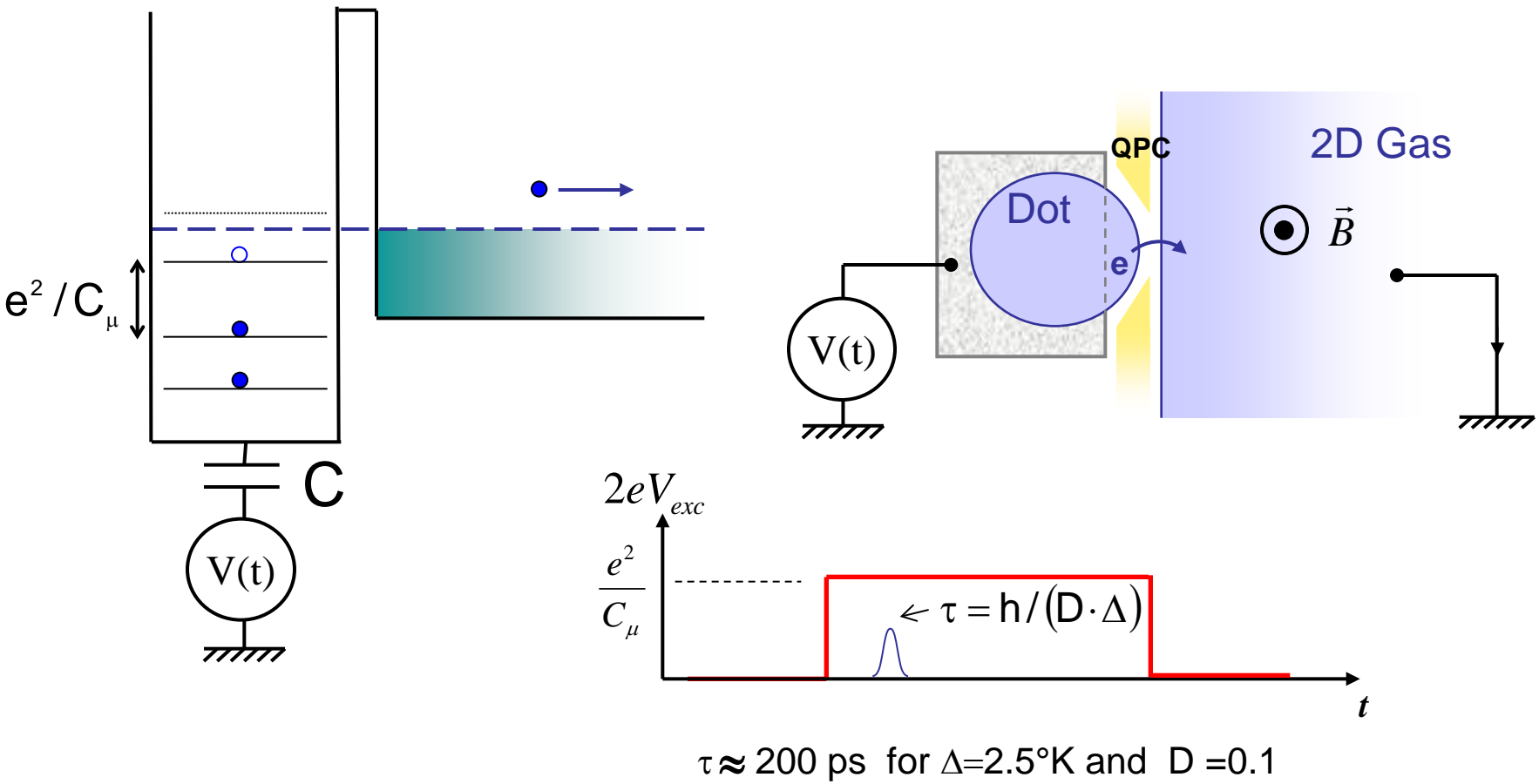
Principle of single electron injection



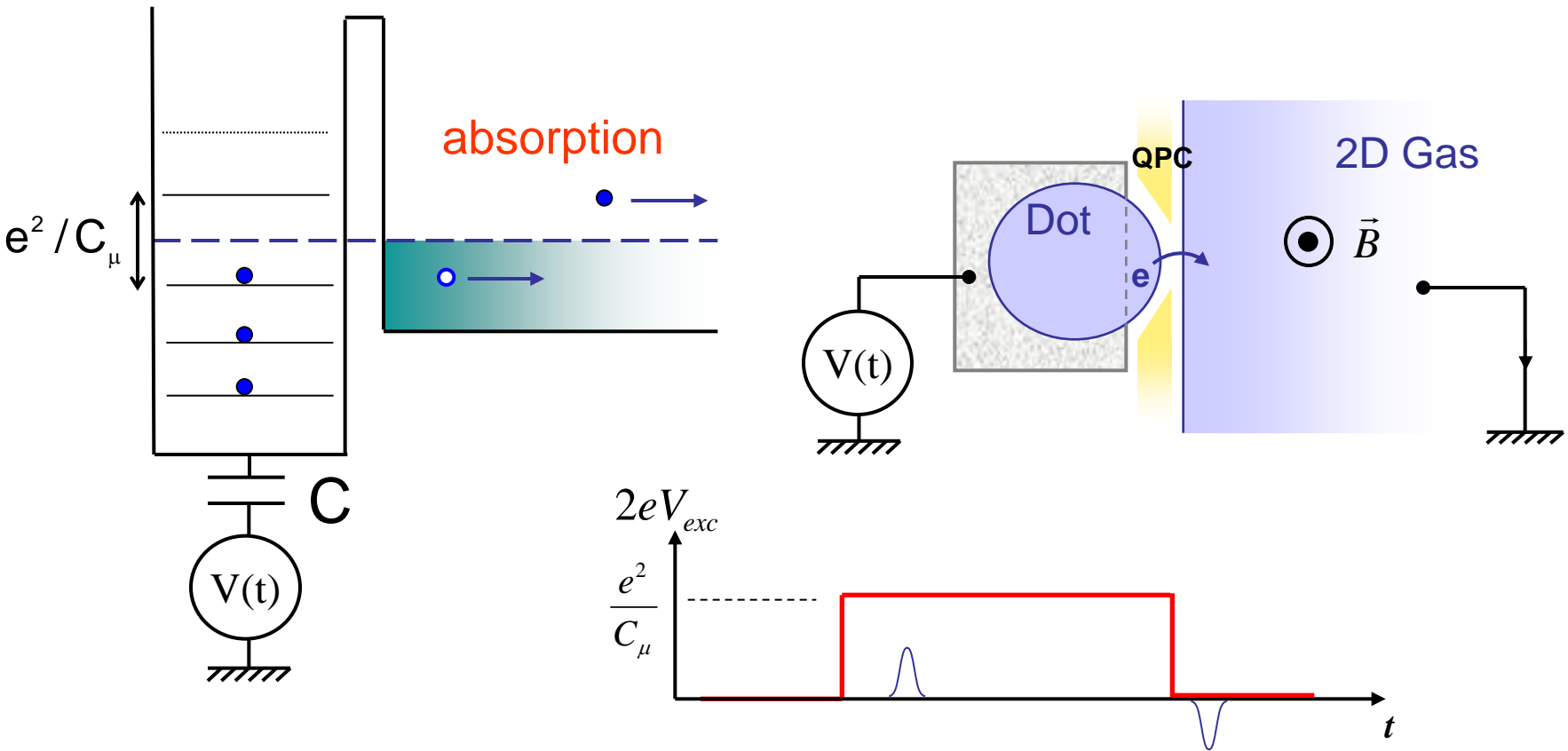
Principle of single electron injection



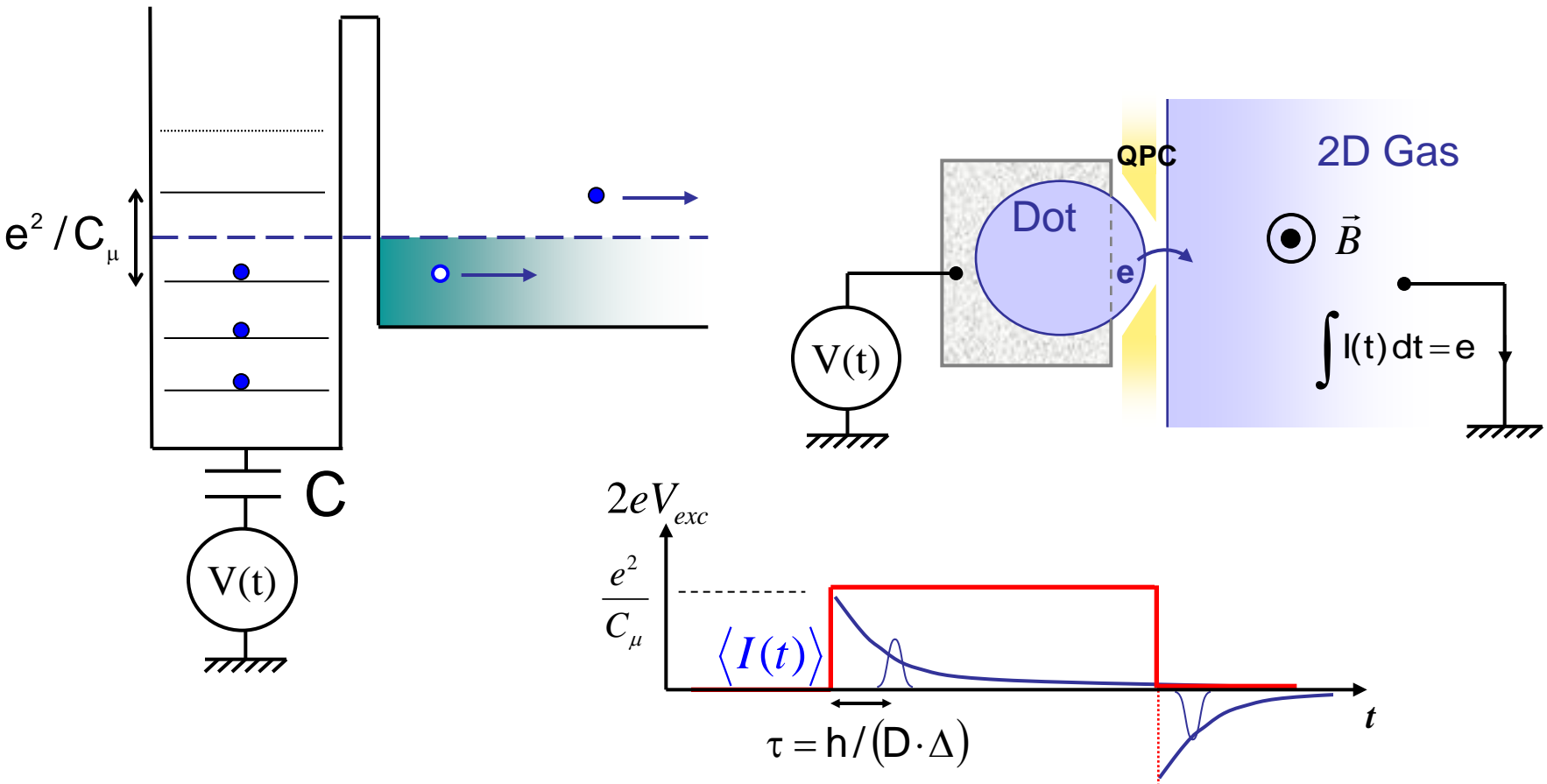
Principle of single electron injection



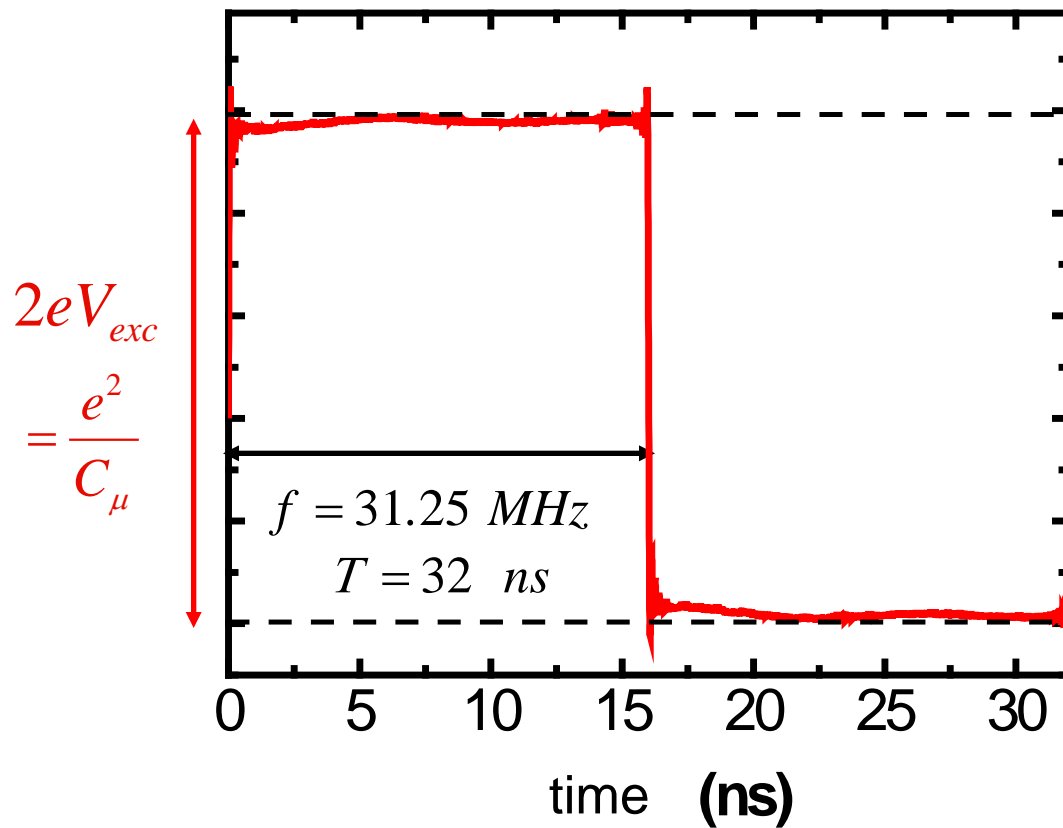
Principle of single electron injection



Principle of single electron injection



Experiment : time domain evolution of current



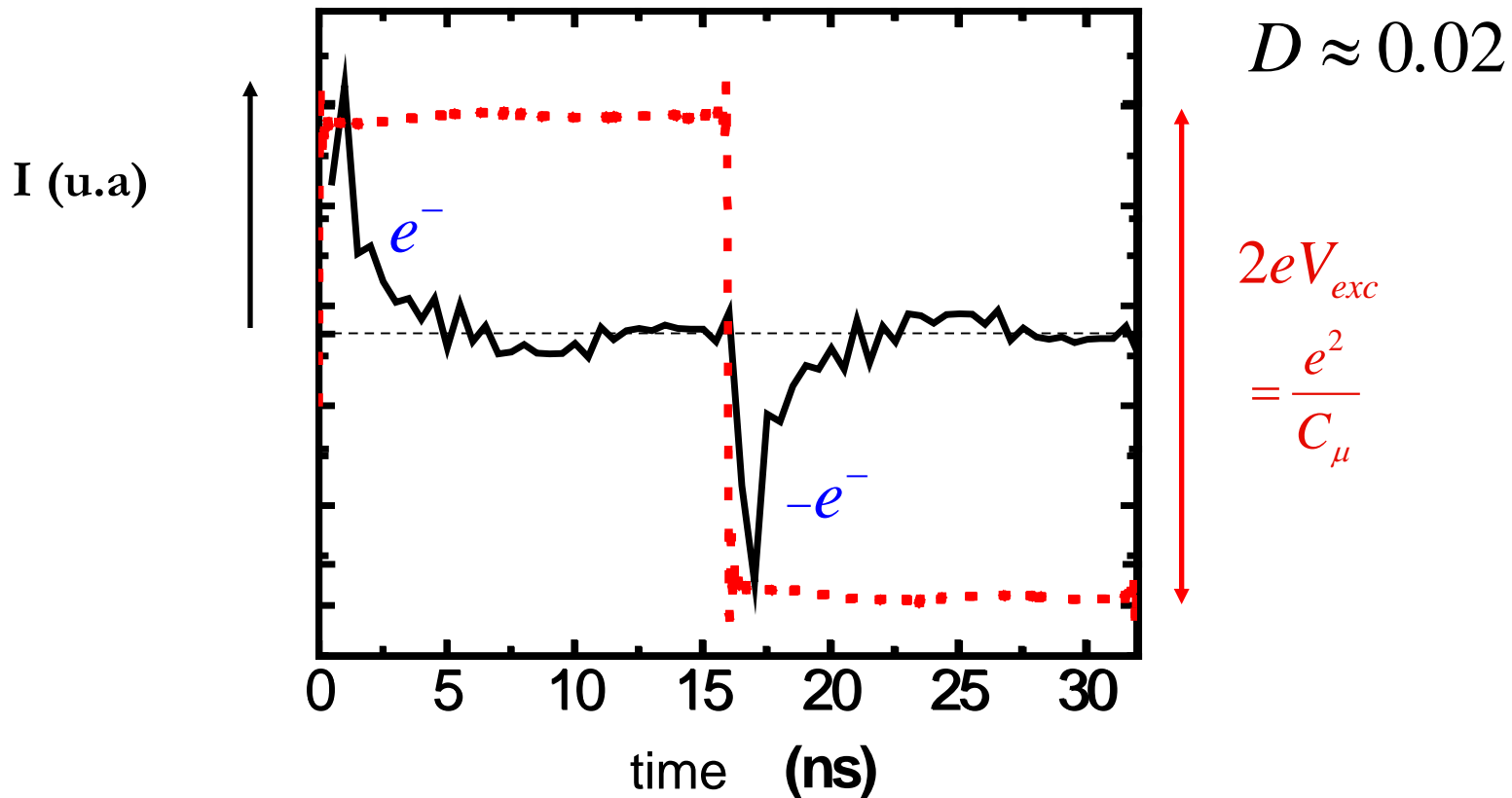
Bandwidth: 1GHz

Sampling time: 500 ps

$$\longrightarrow \tau \geq n\delta$$

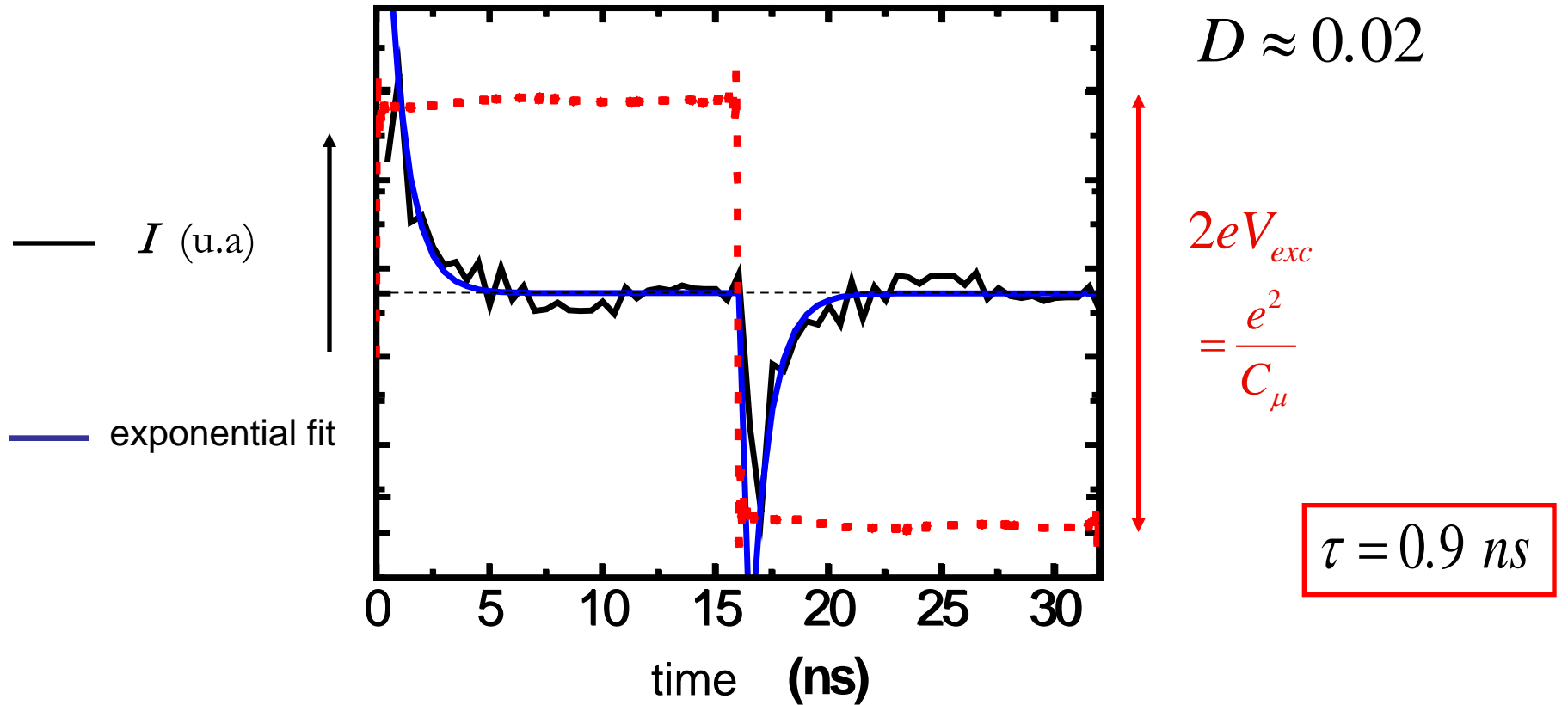
Acquisition time: ~ s

Experiment : time domain evolution of current

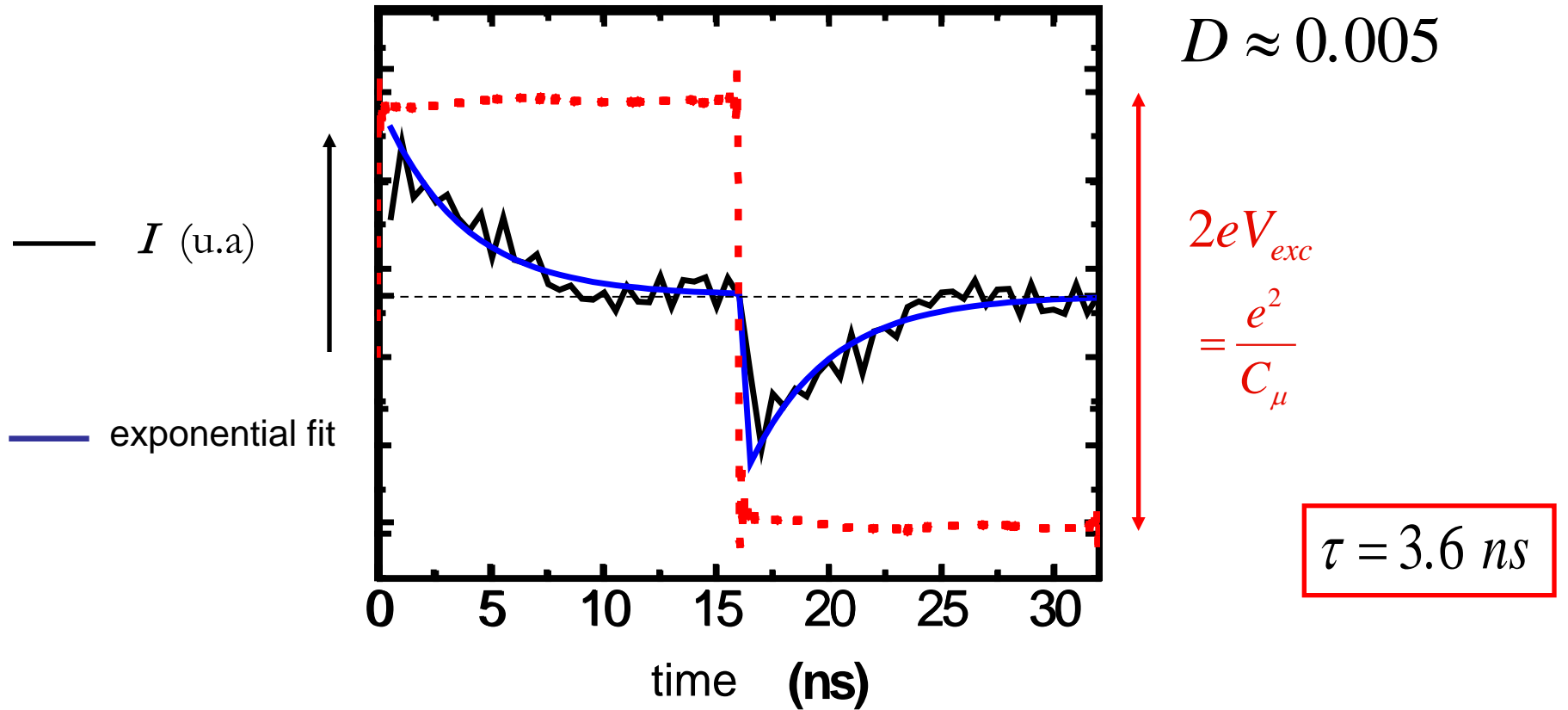


(G. Fève et al., An On-Demand Coherent Single Electron Source, Science 316 1169 (2007)
(A. Mahé et al., Subnanosecond single electron source in the time-domain, submitted to JLTP, 2008)

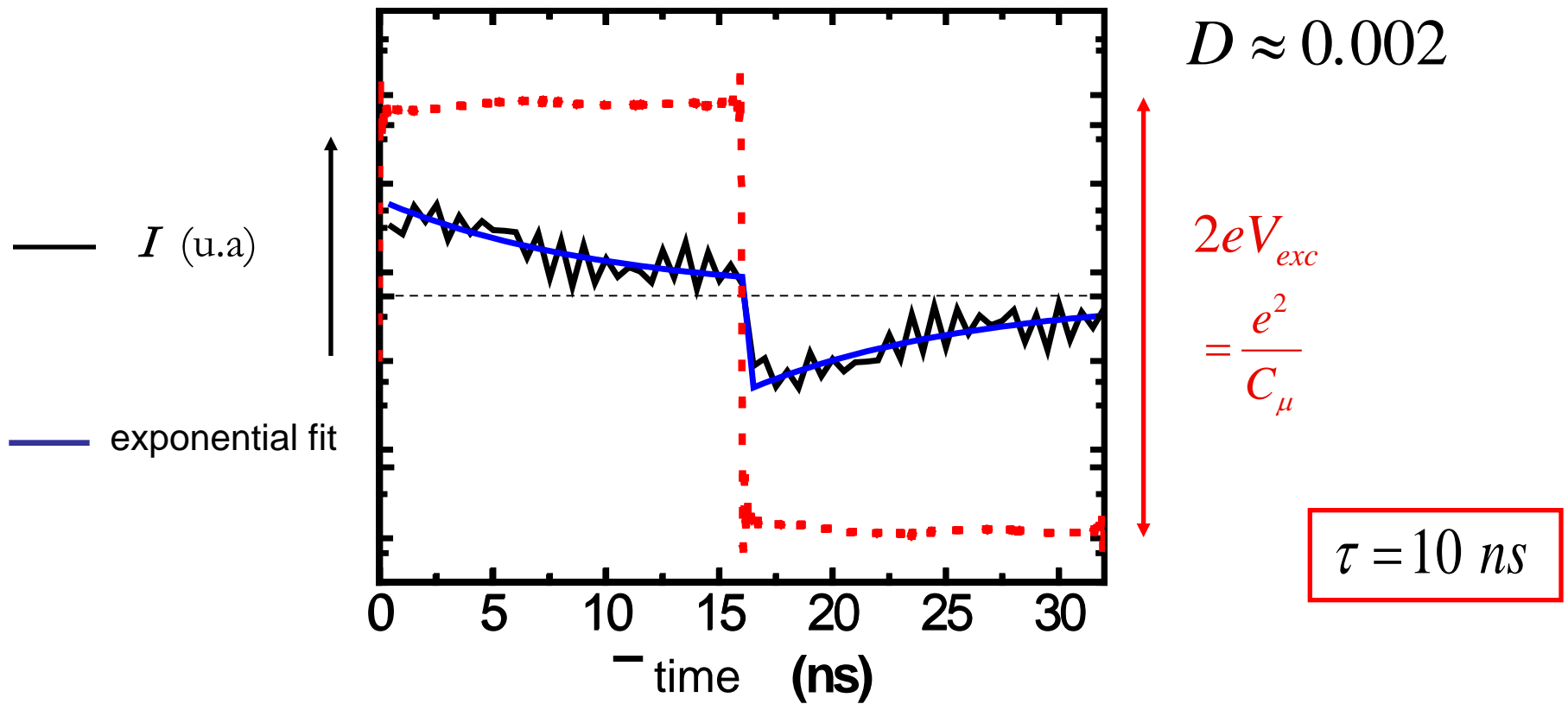
Experiment : time domain evolution of current



Experiment : time domain evolution of current



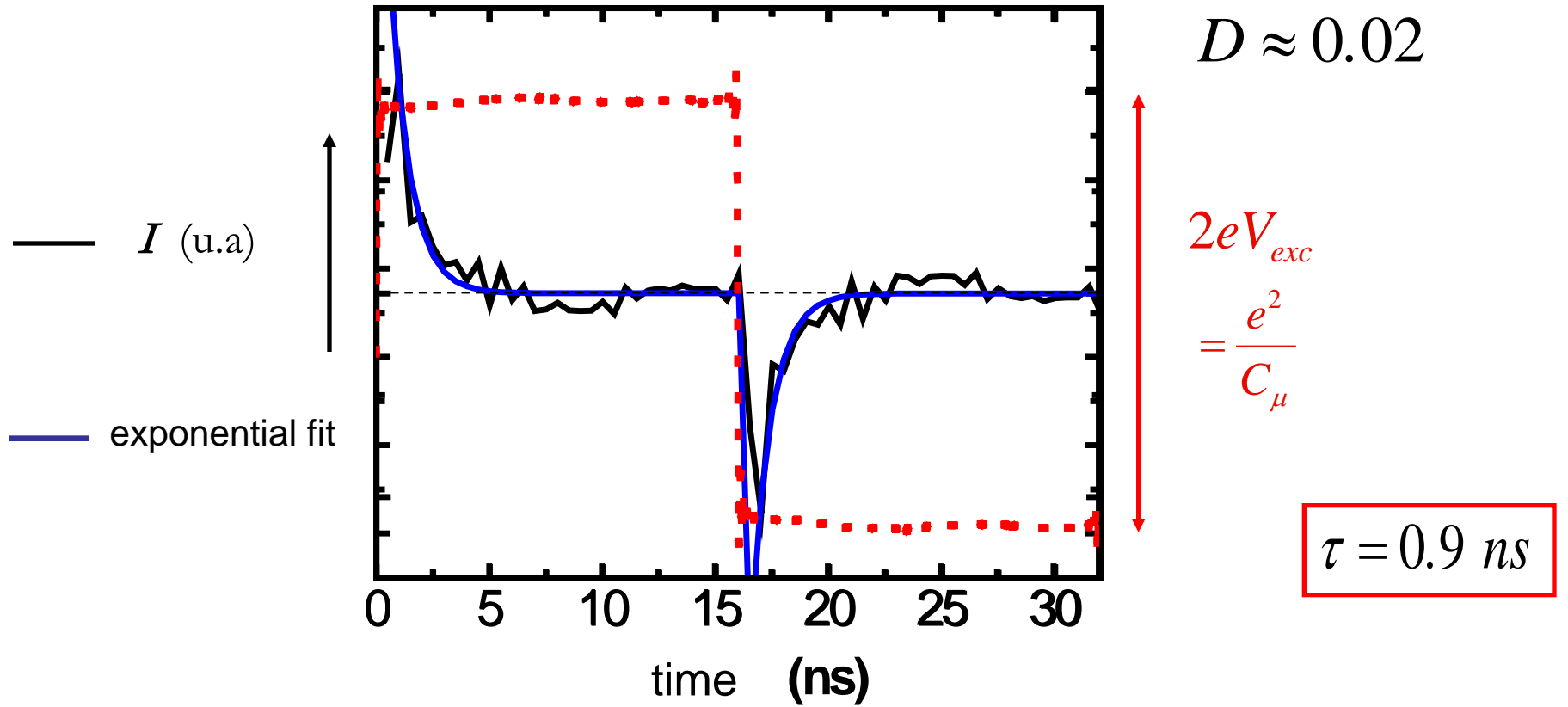
Time domain evolution of current



$$\longrightarrow \boxed{\langle I(t) \rangle = \frac{q}{\tau} e^{-t/\tau}}$$

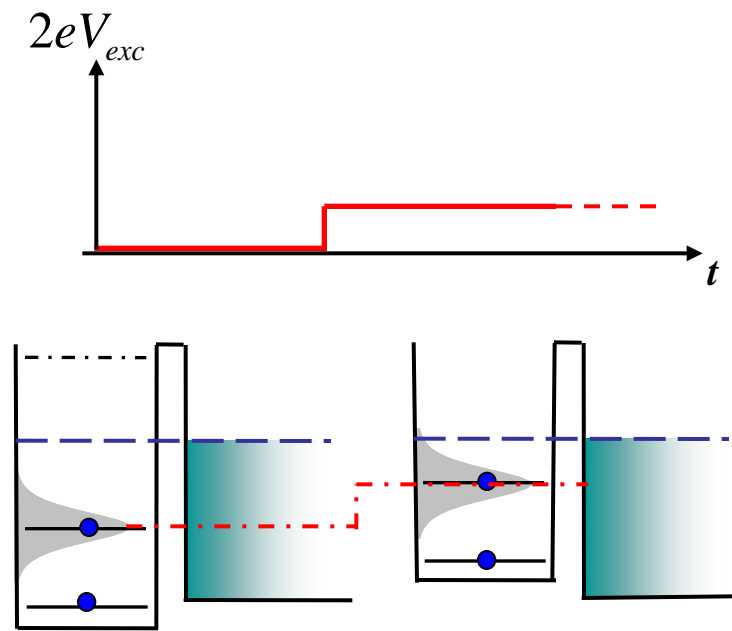
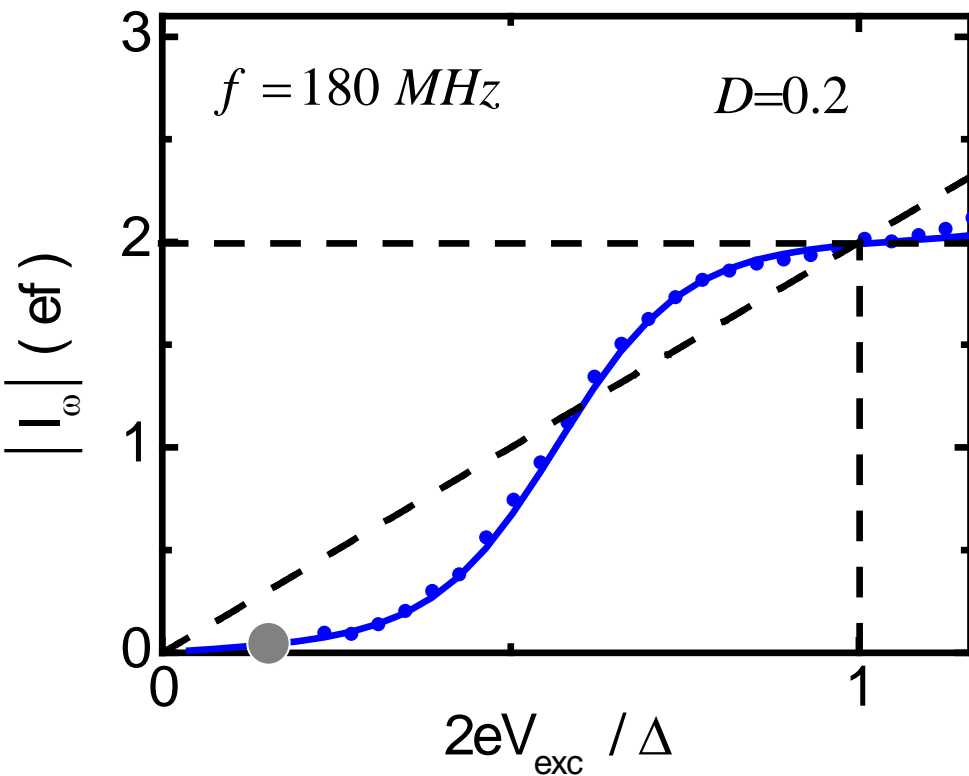
$$\boxed{\tau = \frac{h}{D\Delta}}$$

Experiment : time domain evolution of current

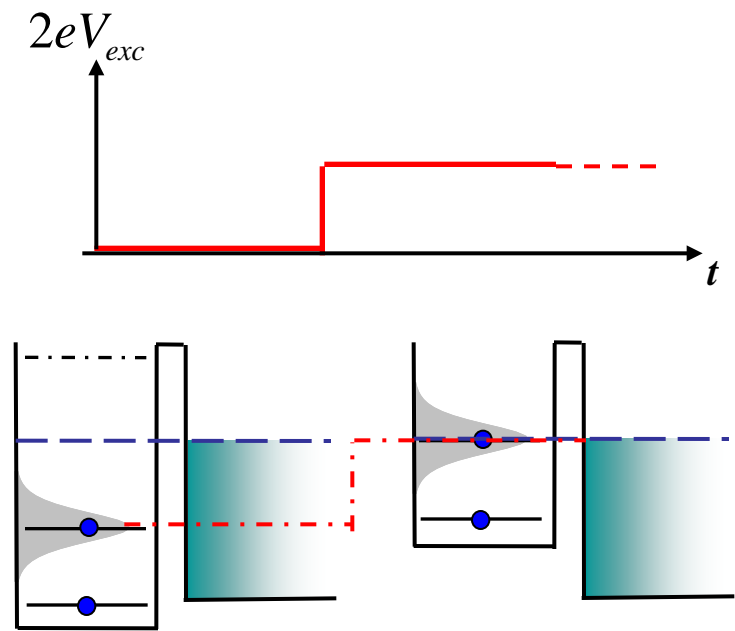
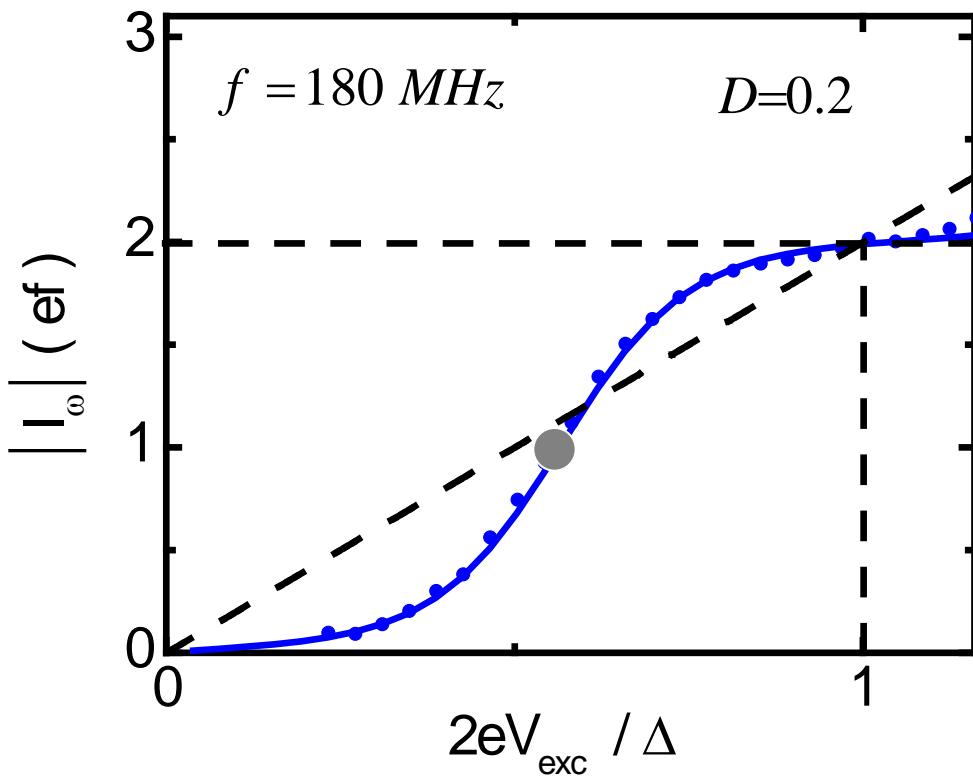


First harmonic of the current

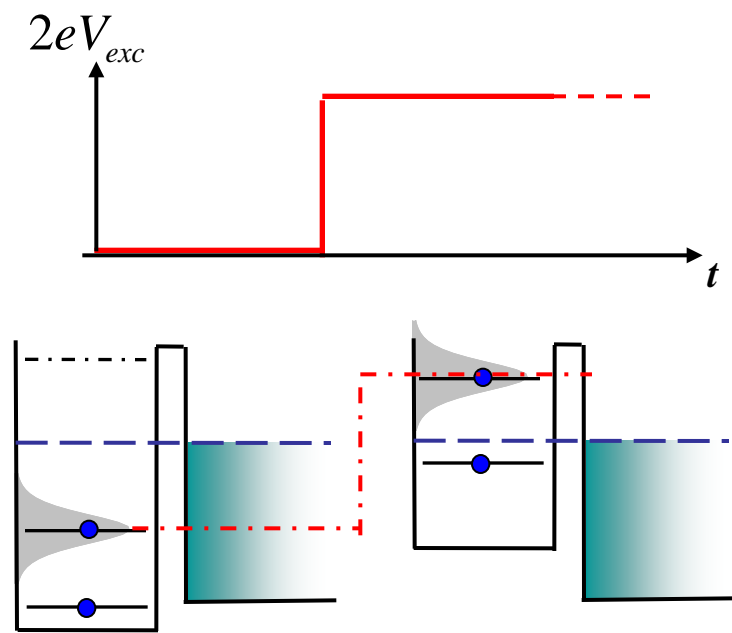
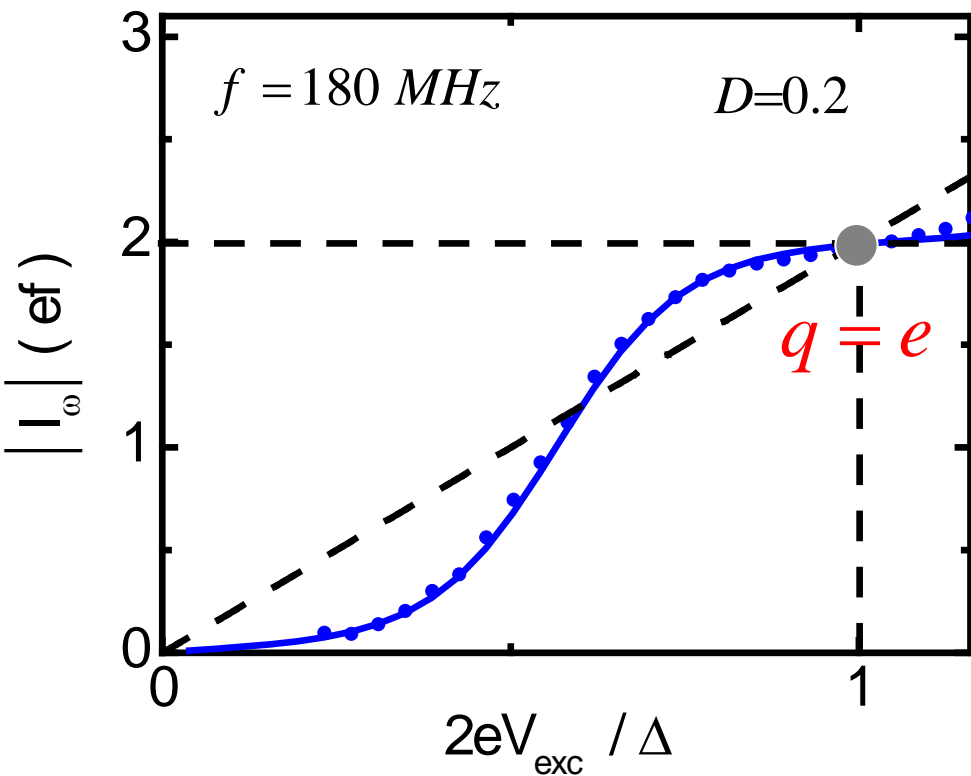
$$\langle I_\omega \rangle = i \frac{2qf}{1 - i\omega\tau} \quad \omega\tau \ll 1 \rightarrow |I_\omega| = 2qf \quad , \quad \varphi \approx \tan\varphi = \omega\tau$$



First harmonic of the current

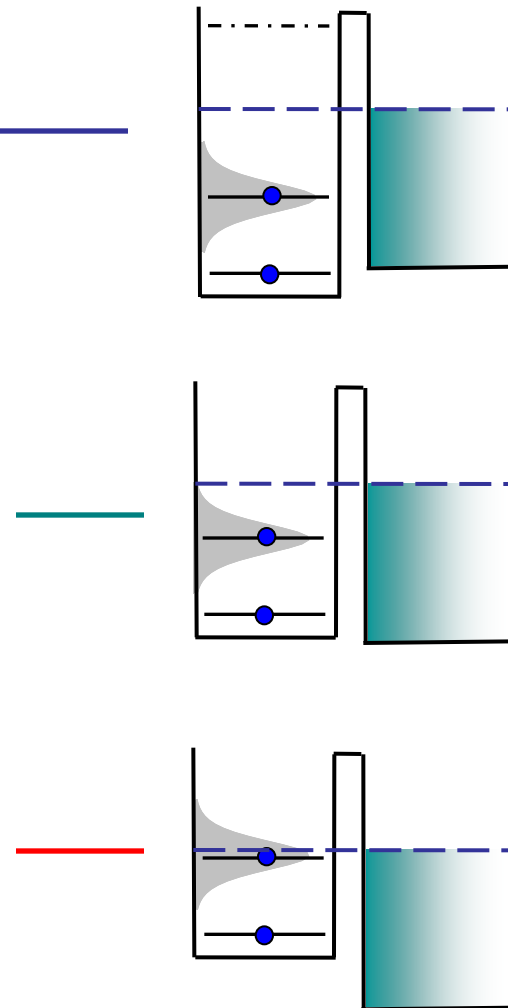
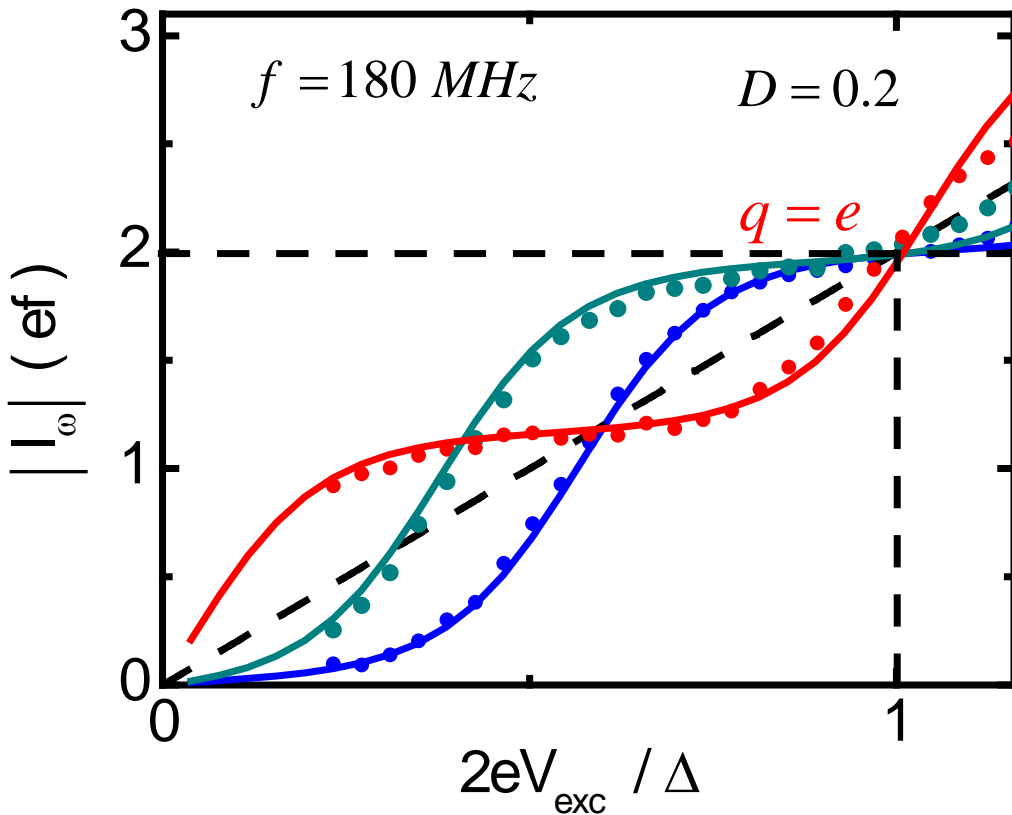


First harmonic of the current



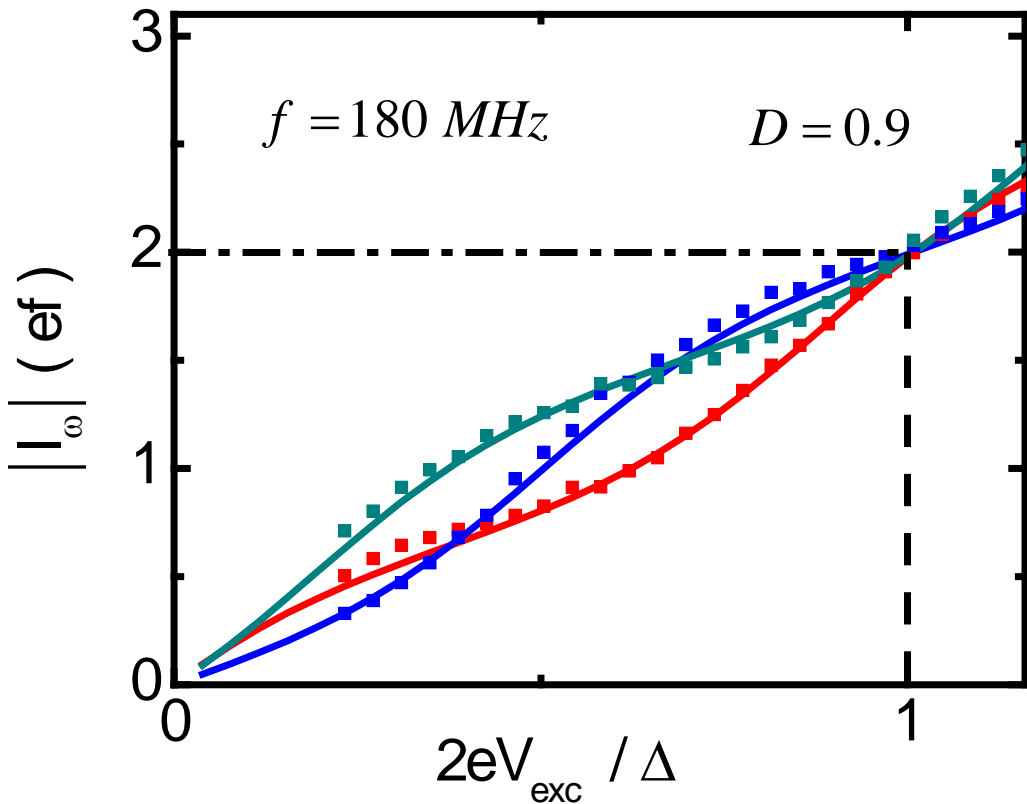
Dot-potential dependence

equilibrium potential :

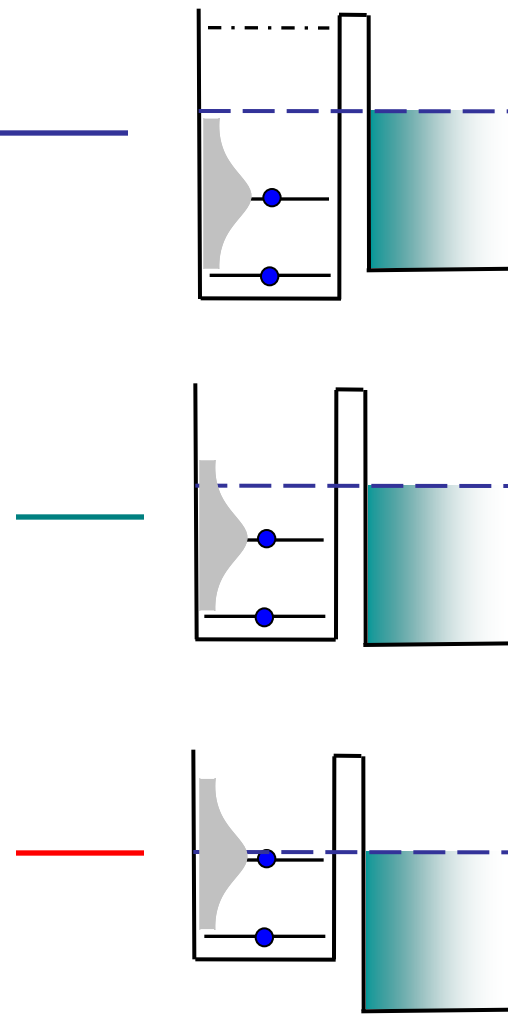


QPC transmission dependence

equilibrium potential :

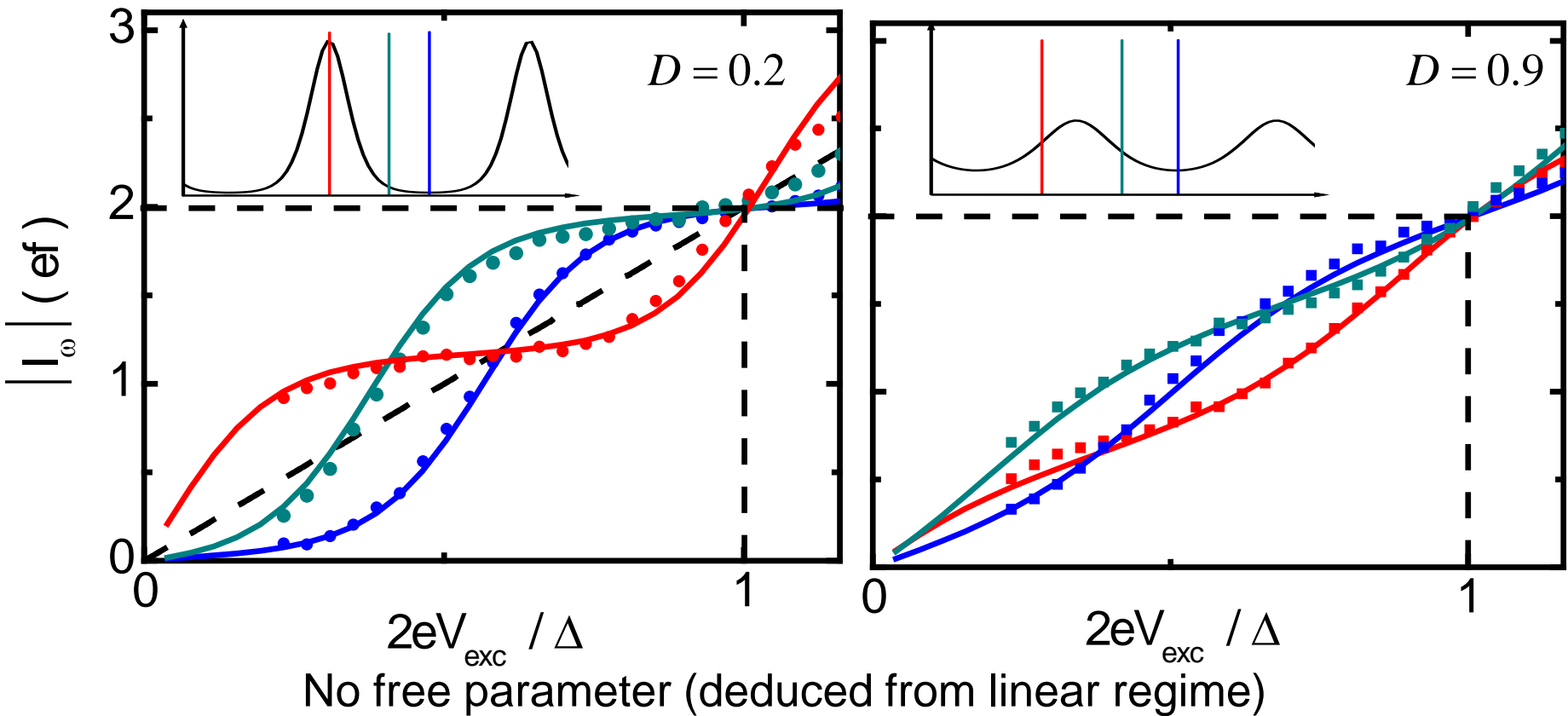


quantization lost by quantum fluctuations



Comparison with 1D-model

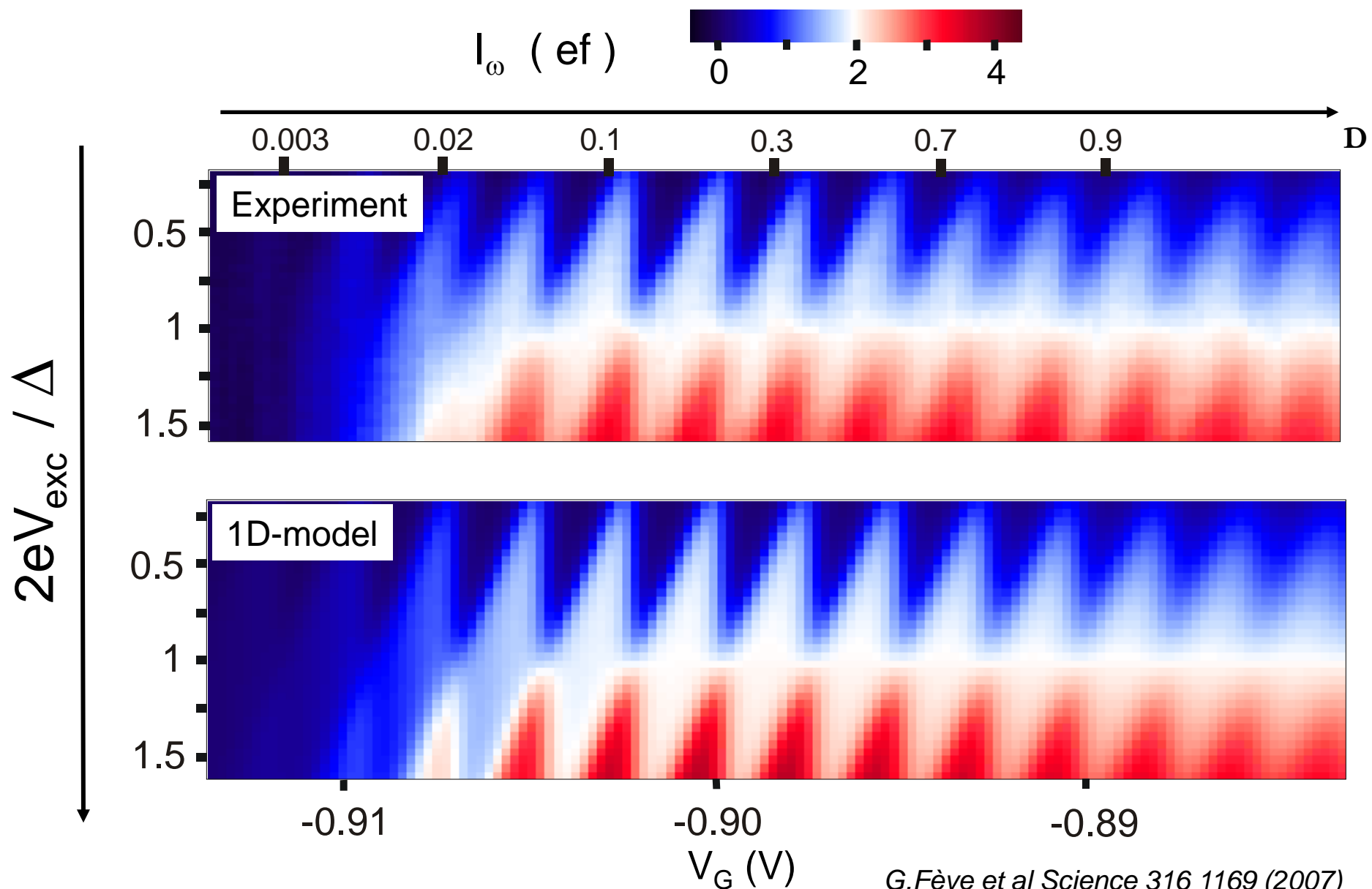
Non linear scattering theory



G.Fèvre et al *Science* 316 1169 (2007)

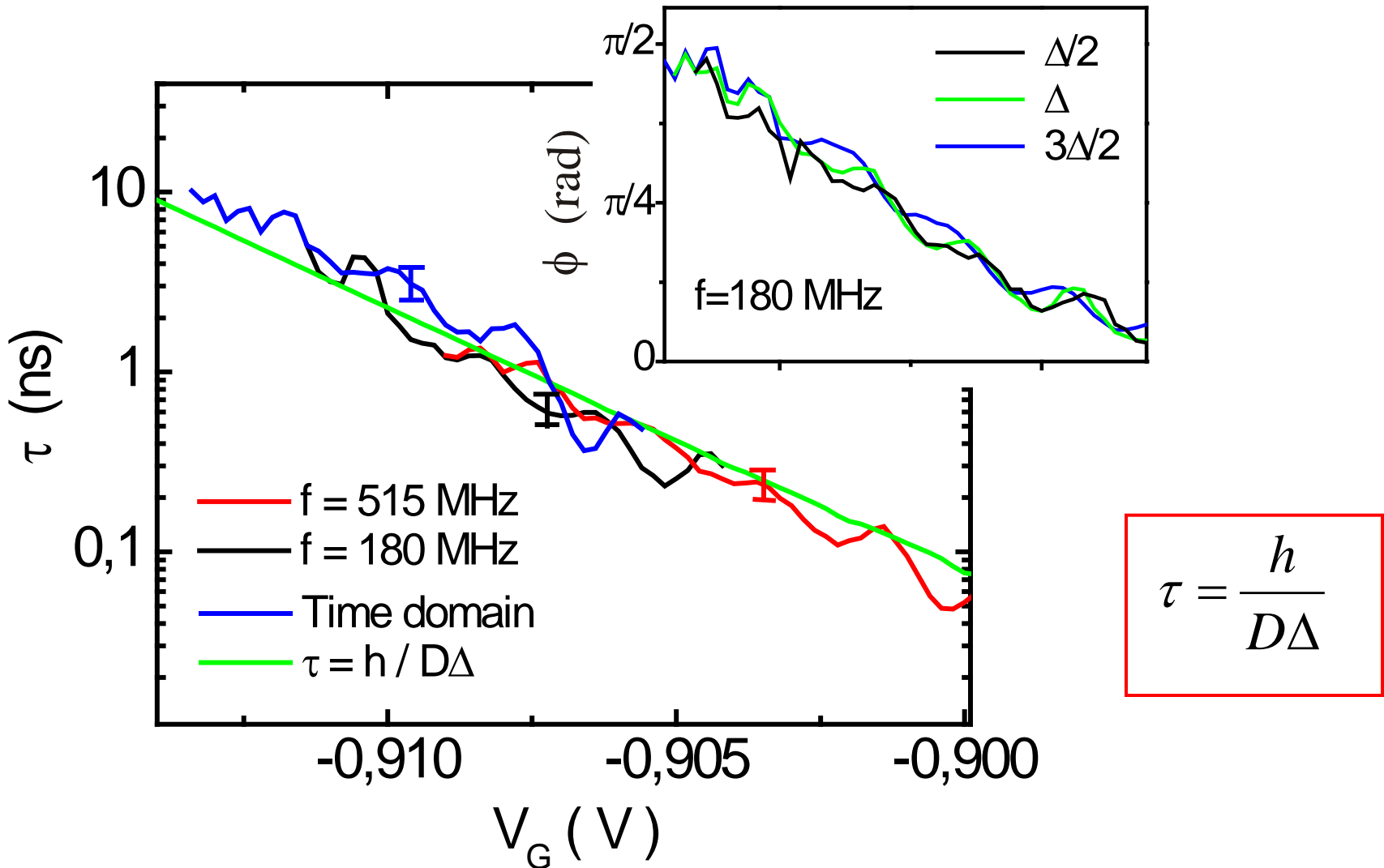
See also : M. Moskalets et al. *Phys. Rev. Lett.* 100 086601 (2008)

AC-current diamonds



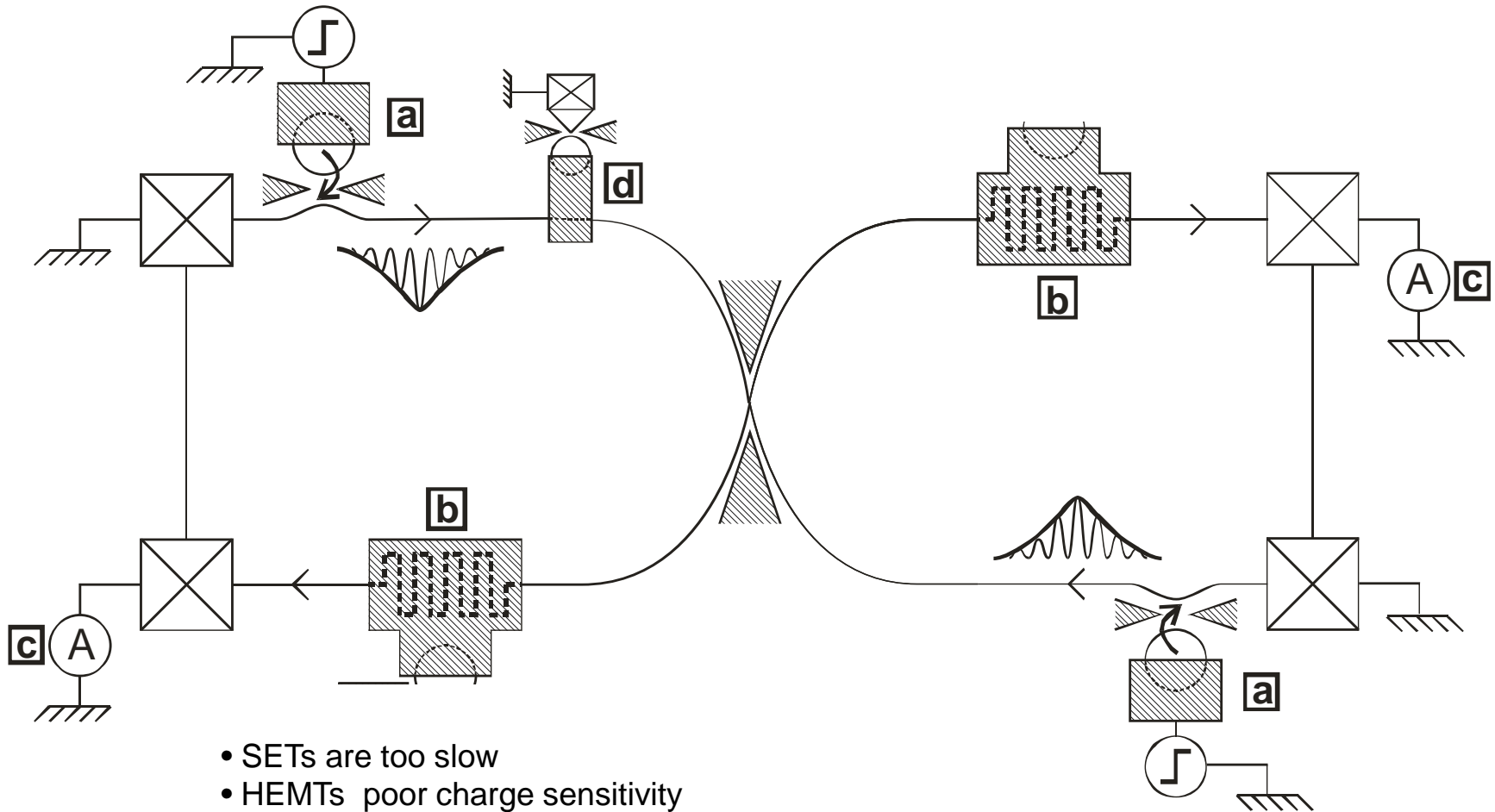
Single electron emission time

The phase is independent of dot potential and excitation amplitude



Vers la détection d'électrons volants

On the fly detection scheme ?

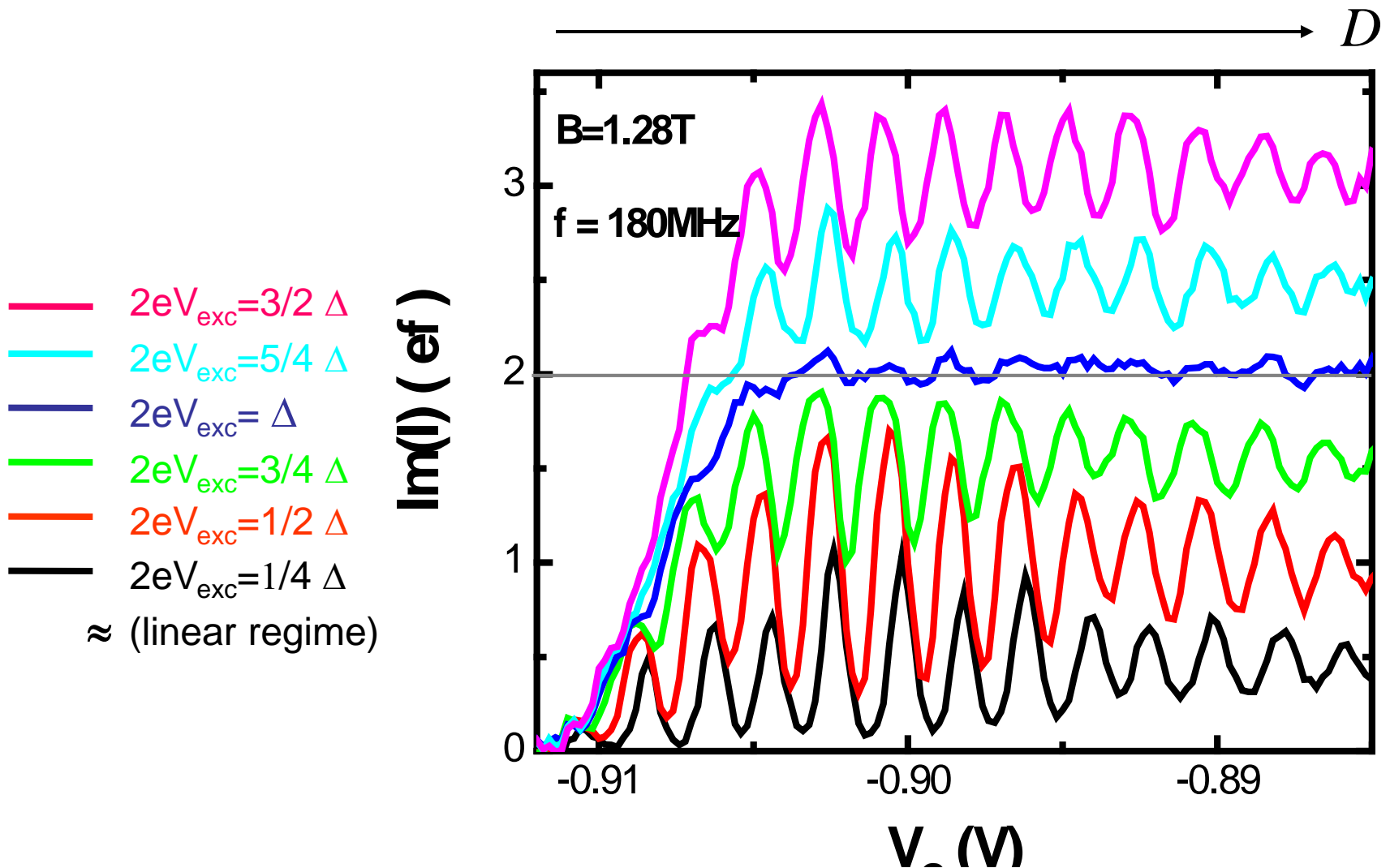


- SETs are too slow
- HEMTs poor charge sensitivity
- QPC-FETs more sensitive
- Nanotube-FETs even more sensitive

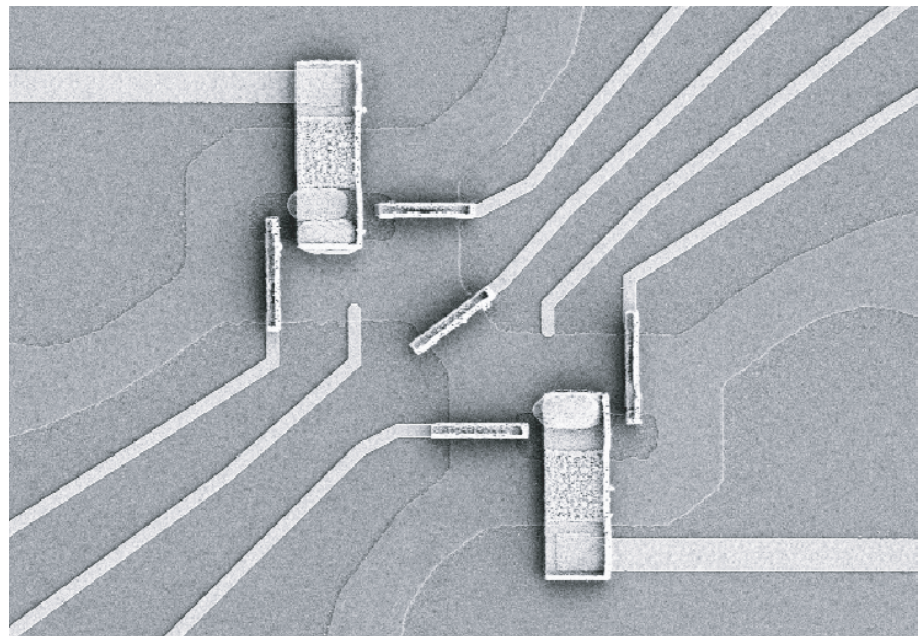
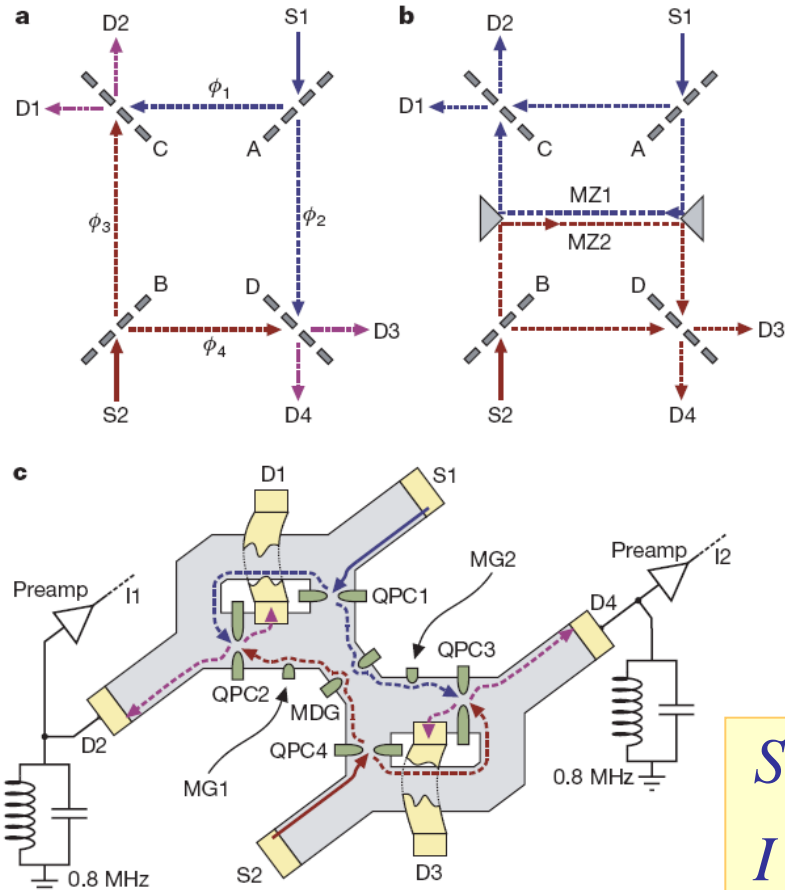
G.Fèvre, Quantum detection of electronic flying qubits, PRB77, 035308, (2008)

fin du cours !!

First harmonic measurement



Corrélations de bruit : états de Bell à deux électrons



$$S_{D2D4} = -0.25eI(1 - \sin \Phi_{tot} / \Phi_0)$$

$$I = I_{D2} = I_{D4} = 0.3 \text{ nA} \quad ; \quad V_{S1} = V_{S2} = 7 \mu\text{V}$$

Two-particle Aharonov-Bohm effect and entanglement in the electronic Hanbury Brown-Twiss setup.

Samuelsson, P., Sukhorukov, E. V. & Buttiker, M. Phys. Rev. Lett. 92, 026805 (2004).

Interference between two indistinguishable electrons from independent sources,

I. Neder, N. Ofek, Y. Chung, M. Heiblum, D. Mahalu and V. Umansky, Nature 448, 333 (2007).